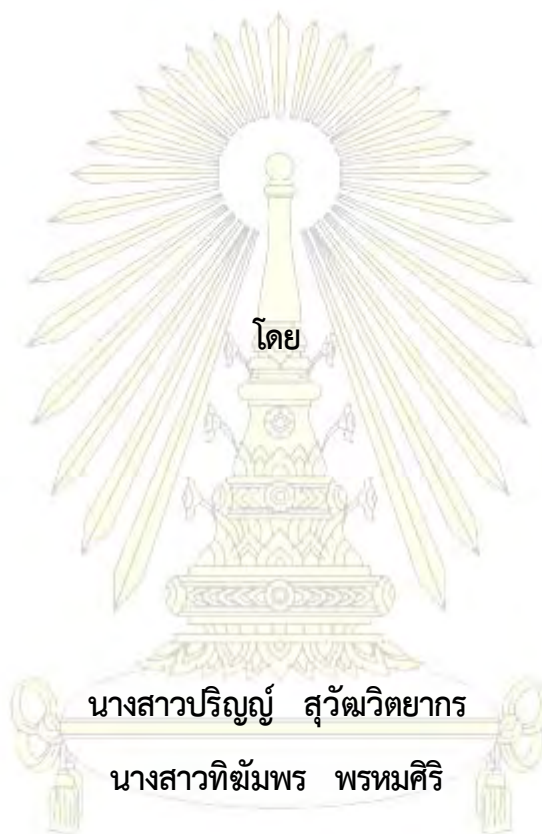


การพัฒนาวิธีการตรวจวัดนิกเกิลด้วยการวิเคราะห์หลายขั้นตอนแบบอัตโนมัติที่ใช้การไหล

ควบคู่กับการตรวจวัดทางเคมีไฟฟ้า

Method Development for Determination of Nickel by Automated Multi-step Flow Analysis

Coupled with Electrochemical Detection



ภาควิชาเคมี
คณะวิทยาศาสตร์
จุฬาลงกรณ์มหาวิทยาลัย

รายงานนี้เป็นส่วนหนึ่งของการศึกษาตามหลักสูตร

ปริญญาวิทยาศาสตรบัณฑิต

ภาควิชาเคมี คณะวิทยาศาสตร์

จุฬาลงกรณ์มหาวิทยาลัย

ปีการศึกษา 2557

เรื่อง การพัฒนาวิธีการตรวจวัดนิกเกิลด้วยการวิเคราะห์หลายขั้นตอนแบบอัตโนมัติที่ใช้การไหล
ควบคู่กับการตรวจวัดทางเคมีไฟฟ้า

โดย นางสาวปริญญา สุวัฒน์วิทยากร และ นางสาวทิฆัมพร พรหมศิริ

ได้รับอนุมัติให้เป็นส่วนหนึ่งของการศึกษา

ตามหลักสูตรปริญญาวิทยาศาสตรบัณฑิต ภาควิชาเคมี

คณะวิทยาศาสตร์ จุฬาลงกรณ์มหาวิทยาลัย

คณะกรรมการสอบโครงการ



รายงานฉบับนี้ได้รับความเห็นชอบและอนุมัติโดยหัวหน้าภาควิชาเคมี

ภาควิชาเคมี
คณะวิทยาศาสตร์
จุฬาลงกรณ์มหาวิทยาลัย

.....
(รองศาสตราจารย์ ดร.วุฒิชัย พาราสุข)

หัวหน้าภาควิชาเคมี

วันที่ 21 เดือน พ.ค. พ.ศ. 2557

คุณภาพของการเขียนรายงานเล่มนี้อยู่ในระดับ ดีมาก ดี พอใช้

ชื่อโครงการ	การพัฒนาวิธีการตรวจวัดนิกเกิลด้วยการวิเคราะห์หลายขั้นตอนแบบอัตโนมัติที่ใช้ การไหลควบคู่กับการตรวจวัดทางเคมีไฟฟ้า		
ชื่อนิสิตในโครงการ	นางสาวปริญญ์ สุวัฒน์วิทยากร	เลขประจำตัว	5433108423
	นางสาวทิฆัมพร พรหมศิริ	เลขประจำตัว	5433093623
ชื่ออาจารย์ที่ปรึกษา	ผู้ช่วยศาสตราจารย์ ดร.สุชาดา จุณนุวัฒน์กุล		
ภาควิชาเคมี คณะวิทยาศาสตร์ จุฬาลงกรณ์มหาวิทยาลัย ปีการศึกษา 2557			

บทคัดย่อ

งานวิจัยนี้ได้พัฒนาวิธีตรวจวัดปริมาณนิกเกิล(II) ด้วยเทคนิคโวลแทมเมตรี ได้แก่ ไซคลิกโวลแทมเมตรี และสแควร์เวฟแอนโนติกสทริปปิงโวลแทมเมตรี ร่วมกับเทคนิคซีเควินซีลอินเจ็กชัน ซึ่งเป็นระบบการไหลอัตโนมัติ และใช้ขั้วไฟฟ้าคาร์บอนพิมพ์สกรีนเป็นขั้วไฟฟ้าใช้งาน โดยในขั้นแรกได้ศึกษาการวิเคราะห์ปริมาณของนิกเกิล(II) โดยใช้ไฮเดียมไฮดรอกไซด์ทำปฏิกิริยากับนิกเกิล(II) เกิดเป็นนิกเกิลไฮดรอกไซด์ ($\text{Ni}(\text{OH})_2$) จากนั้นให้ศักย์ไฟฟ้าเพื่อทำให้นิกเกิลไฮดรอกไซด์เกิดปฏิกิริยาออกซิเดชันกลายเป็นนิกเกิลออกซีไฮดรอกไซด์ (NiOOH) ซึ่งสามารถตรวจวัดสัญญาณกระแสไฟฟ้าได้ จากการทดลองพบว่า วิธีนี้ไม่เหมาะสมสำหรับการวิเคราะห์หาปริมาณนิกเกิล(II) เนื่องจากสารเชิงซ้อนของนิกเกิลไฮดรอกไซด์ที่เกิดขึ้นมีลักษณะเป็นวุ้นติดอยู่บนขั้วไฟฟ้าใช้งาน และเมื่อศึกษาการล้างขั้วไฟฟ้าใช้งานด้วยวิธีต่าง ๆ พบว่า ขั้วไฟฟ้าใช้งานไม่สามารถล้างออกได้โดยการล้างเพียงครั้งเดียว มีผลทำให้ความสามารถในการวัดซ้ำได้ต่ำ ดังนั้นจึงได้ศึกษาการวิเคราะห์ปริมาณของนิกเกิล(II) โดยใช้เทคนิคสแควร์เวฟแอนโนติกสทริปปิงโวลแทมเมตรี ร่วมกับเทคนิคซีเควินซีลอินเจ็กชัน และใช้ขั้วไฟฟ้าคาร์บอนพิมพ์สกรีนเป็นขั้วไฟฟ้าใช้งาน โดยลดขั้นตอนการเกิดนิกเกิลไฮดรอกไซด์ พบว่ามีความสามารถในการทำซ้ำได้ดีกว่าเมื่อเทียบกับการศึกษาในครั้งแรก และผู้วิจัยได้ทดลองหาภาวะที่เหมาะสม ได้แก่ ศักย์ไฟฟ้าตกสะสม ชนิดของสารละลายอิเล็กโทรไลต์ และความเข้มข้นของสารละลายอิเล็กโทรไลต์ เมื่อสร้างกราฟเทียบมาตรฐานพบว่าความสัมพันธ์ระหว่างสัญญาณกระแสไฟฟ้ากับความเข้มข้นของนิกเกิล(II) เป็นเส้นตรงในช่วง 0.1-1.0 มิลลิกรัมต่อลิตร โดยมีความชันเป็น 3.9137 $\mu\text{A L/mg}$ และมี R^2 เท่ากับ 0.9778

คำสำคัญ : นิกเกิล(II), ซีเควินซีลอินเจ็กชัน, สแควร์เวฟโวลแทมเมตรี, สแควร์เวฟแอนโนติกสทริปปิงโวลแทมเมตรี

Title Method Development for Determination of Nickel by Automated Multi-step Flow Analysis Coupled with Electrochemical Detection

Student name (s) Miss Parin Suwatvitayakorn ID 5433108423
Miss Thikhamphon Promsiri ID 5433093623

Advisor Assistant Prof. Dr. Suchada Chuanuwatanakul

Department of Chemistry, Faculty of Science, Chulalongkorn University, Academic year 2014

Abstract

This research project has developed the method for the determination of nickel(II) by voltammetric techniques such as cyclic voltammetry and square wave anodic stripping voltammetry coupled with sequential injection analysis, which is an automated flow system, using a screen-printed carbon electrode as a working electrode. Firstly, nickel(II) was determined by the reaction between nickel(II) and sodium hydroxide that produced nickel(II) hydroxide (Ni(OH)_2). After that, the potential was applied to oxidize nickel(II) hydroxide to be nickel(III) oxyhydroxide (NiOOH). This process can be measured by electrochemical detection. However, from the results, this method was not suitable for determination of nickel(II) because the nickel(II) hydroxide complex formed on the working electrode could not be removed from the electrode surface by any cleaning methods. The repeatability of this method was hence not good. Therefore, another method for determination of nickel(II) by sequential injection-square wave anodic stripping voltammetry using a screen-printed carbon electrode was investigated by performing without the step of nickel(II) hydroxide forming. As the results, the repeatability of this method was better than the previous one. The detection condition such as a deposition potential, a type of supporting electrolyte solution and a concentration of supporting electrolyte solution were optimized. The relationship between the obtained peak currents and the nickel(II) concentrations was linear in the range of 0.1-1.0 mg/L with the slope of $3.9137 \mu\text{A L/mg}$ and R^2 of 0.9778.

Keywords: Nickel(II), Sequential injection, Square wave voltammetry, Square wave anodic stripping voltammetry

กิตติกรรมประกาศ

รายงานฉบับนี้จะไม่สำเร็จลุล่วงไปด้วยดีหากไม่ได้รับความกรุณาอย่างสูงจากผู้ช่วยศาสตราจารย์ ดร.สุชาดา จุณวัฒน์กุล อาจารย์ที่ปรึกษาโครงการ ที่กรุณาให้ความรู้ คำแนะนำ กำลังใจที่ดีเยี่ยม ตลอดจนให้คำปรึกษา การดูแลเอาใจใส่ และสละเวลาช่วยเหลือในด้านต่าง ๆ อย่างดียิ่ง ขอขอบพระคุณ รองศาสตราจารย์ ดร.นาตยา งามโรจนวณิชย์ และอาจารย์ ดร.เจนจิรา ปานชมพู ที่ให้ความกรุณาประเมินและตรวจทานเล่มรายงานโครงการ รวมถึงเป็นคณะกรรมการประเมินโครงการในครั้งนี้

ขอขอบพระคุณ ดร.เอกสิทธิ์ ปันรัตน์ ที่แนะนำและให้ความรู้เกี่ยวกับการใช้เครื่องมือในห้องปฏิบัติการ ให้ความรู้เกี่ยวกับเทคนิค วิธีการทำงานวิจัยในครั้งนี้ ตลอดจนให้คำแนะนำในการแก้ไขปัญหา และดูแลเอาใจใส่ระหว่างการดำเนินโครงการ ขอขอบคุณสมาชิกในหน่วยปฏิบัติการวิจัยเคมีไฟฟ้าและแสง (Electrochemistry and Optical Spectroscopy Research Unit) ที่ช่วยให้คำแนะนำต่าง ๆ และเอื้อเฟื้ออุปกรณ์และสารเคมีในการดำเนินโครงการ

ขอขอบคุณ โครงการการเรียนการสอนเพื่อเสริมประสบการณ์ คณะวิทยาศาสตร์ จุฬาลงกรณ์มหาวิทยาลัย ที่สนับสนุนทุนวิจัยในการดำเนินโครงการครั้งนี้

ขอขอบพระคุณคุณพ่อ คุณแม่ ที่คอยสนับสนุนและให้กำลังใจตลอดระยะเวลาดำเนินโครงการ รวมถึงเพื่อน ๆ พี่ ๆ และคณาจารย์ภาควิชาเคมี ที่คอยช่วยเหลือและให้คำแนะนำ ตลอดจนถ่ายทอดวิชาความรู้ต่าง ๆ ให้ผู้วิจัยสามารถนำไปประยุกต์ใช้ได้ในชีวิต ผู้วิจัยขอระลึกในความกรุณาของบุคคลที่ได้กล่าวมาข้างต้น และบุคคลที่ไม่ได้เอ่ยนามไว้ ณ ที่นี้ด้วย

ผู้วิจัย

ภาควิชาเคมี
คณะวิทยาศาสตร์
จุฬาลงกรณ์มหาวิทยาลัย

สารบัญ

หน้า

บทคัดย่อภาษาไทย.....	ค
บทคัดย่อภาษาอังกฤษ.....	ง
กิตติกรรมประกาศ.....	จ
สารบัญ.....	ฉ
สารบัญตาราง.....	ญ
สารบัญรูปภาพ.....	ฎ
คำอธิบายสัญลักษณ์และคำย่อ.....	ด
บทที่ 1 บทนำ	1
1.1 ความเป็นมาและมูลเหตุจูงใจของโครงการ.....	1
1.2 ทฤษฎีและงานวิจัยที่เกี่ยวข้อง.....	3
บทที่ 2 ทฤษฎี	5
2.1 เคมีวิเคราะห์เชิงไฟฟ้า.....	5
2.2 โวลแทมเมตรี.....	6
2.3 สหรีบปึงโวลแทมเมตรี.....	6
2.4 ไฮคลิกโวลแทมเมตรี.....	8
2.5 ขั้วไฟฟ้า.....	9
2.6 ขั้วไฟฟ้าใช้งาน.....	10
2.7 ขั้วไฟฟ้าคาร์บอนพิมพ์สกรีน.....	10
2.8 การวิเคราะห์แบบโพลวอินเจกชัน.....	11
2.9 การวิเคราะห์แบบซีเควินเซียลอินเจกชัน.....	12
บทที่ 3 การทดลอง	14
3.1 เครื่องมือที่ใช้ในการทดลอง.....	14
3.2 สารเคมี.....	14
3.3 การเตรียมสารละลาย.....	14

3.3.1	สารละลายอิเล็กโทรไลต์โซเดียมคลอไรด์ (NaCl) ความเข้มข้น 0.6 โมลาร์	14
3.3.2	สารละลายโซเดียมไฮดรอกไซด์ ความเข้มข้น 1 โมลาร์.....	15
3.3.3	สารละลายกรดไฮโดรคลอริก ความเข้มข้น 1 โมลาร์.....	15
3.3.4	สารละลายมาตรฐานนิกเกิล(II) ความเข้มข้น 1000 มิลลิกรัมต่อลิตร.....	15
3.3.5	สารละลายมาตรฐานนิกเกิล(II) ความเข้มข้นต่าง ๆ	15
3.4	การสร้างขั้วไฟฟ้าคาร์บอนพิมพ์สกรีน	16
3.4.1	เครื่องมือและอุปกรณ์.....	16
3.4.2	สารเคมี.....	16
3.4.3	การพิมพ์สกรีนขั้วไฟฟ้า.....	16
3.5	การเตรียมเซลล์	16
3.5.1	การเตรียมโพลีเซลล์สำหรับการวิเคราะห์ด้วยเทคนิคโวลแทมเมตรี.....	16
3.5.2	การจัดการเครื่องมือสำหรับการวิเคราะห์ด้วยเทคนิคซีเควินเซียลอินเจกชัน.....	18
3.6	การให้ศักย์ไฟฟ้าและการวัดสัญญาณกระแสไฟฟ้าโดยเทคนิคโวลแทมเมตรี.....	19
3.7	การศึกษาสัญญาณของโวลแทมโมแกรมที่เกิดขึ้น.....	22
3.7.1	การศึกษาสัญญาณไซคลิกโวลแทมโมแกรมที่ให้ค่ากระแสไฟฟ้าได้.....	22
3.7.2	การศึกษาสัญญาณสแควร์เวฟโวลแทมโมแกรมที่ให้ค่ากระแสไฟฟ้าได้	22
3.8	การศึกษาการล้างขั้วไฟฟ้าใช้งานคาร์บอนพิมพ์สกรีนเพื่อให้สามารถตรวจวัดซ้ำได้	22
3.8.1	การศึกษาปริมาตรของสารละลายกรดไฮโดรคลอริกที่ใช้ในการล้างขั้วไฟฟ้า	22
3.8.2	การศึกษาค่าศักย์ไฟฟ้าที่ใช้ในขั้นตอนการล้างขั้วไฟฟ้า.....	23
3.8.3	การทดสอบการล้างขั้วไฟฟ้าโดยใช้กรดไฮโดรคลอริกสลับกับเบสโซเดียมไฮดรอกไซด์	23
3.8.4	การศึกษาระดับความเข้มข้นของสารละลายนิกเกิล(II) ที่ให้โวลแทมโมแกรมได้ชัดเจน.....	23
3.8.5	การศึกษาการดัดแปรขั้วไฟฟ้าคาร์บอนพิมพ์สกรีนด้วยฟิล์มบิสมัท	23
3.9	การศึกษาภาวะที่เหมาะสมในการวิเคราะห์นิกเกิล(II) ด้วยซีเควินเซียลอินเจกชัน-สแควร์เวฟแอนอติกสทริปปิง-โวลแทมเมตรีโดยใช้ขั้วไฟฟ้าใช้งานคาร์บอนพิมพ์สกรีน	24

3.9.1	การศึกษาสัญญาณของโวลแทมโมแกรมที่เกิดขึ้น	25
3.9.2	การศึกษาศักย์ไฟฟ้าตกสะสม (Deposition potential) ที่เหมาะสม	25
3.9.3	การศึกษาการดัดแปรขั้วคาร์บอนพิมพ์สกรีนด้วยฟิล์มบิสมัท	26
3.9.4	การศึกษาชนิดของสารละลายอิเล็กโทรไลต์ที่เหมาะสม	26
3.9.5	การศึกษาความเข้มข้นของสารละลายอิเล็กโทรไลต์โซเดียมคลอไรด์ที่เหมาะสม	26
3.10	การสร้างกราฟเทียบมาตรฐาน (calibration curve)	26
บทที่ 4 ผลการทดลองและอภิปรายผลการทดลอง		27
4.1	การศึกษาสัญญาณของโวลแทมโมแกรมที่เกิดขึ้น	27
4.1.1	การศึกษาสัญญาณไซคลิกโวลแทมโมแกรมที่ให้ค่ากระแสไฟฟ้าได้	27
4.1.2	การศึกษาสัญญาณสแควร์เวฟโวลแทมโมแกรมที่ให้ค่ากระแสไฟฟ้าได้	28
4.2	การศึกษาการล้างขั้วไฟฟ้าใช้งานคาร์บอนพิมพ์สกรีนเพื่อให้อาจตรวจวัดซ้ำได้	29
4.2.1	การศึกษาปริมาตรของสารละลายกรดไฮโดรคลอริกที่ใช้ในการล้างขั้วไฟฟ้า	29
4.3	การศึกษาค่าศักย์ไฟฟ้าที่ใช้ในขั้นตอนการล้างขั้วไฟฟ้าใช้งาน	31
4.4	การทดสอบการล้างขั้วไฟฟ้าโดยใช้กรดไฮโดรคลอริกสลับกับเบสโซเดียมไฮดรอกไซด์	36
4.5	การศึกษาระดับความเข้มข้นของนิกเกิล(II) ที่ให้โวลแทมโมแกรมได้ชัดเจน	37
4.6	การศึกษาการดัดแปรขั้วไฟฟ้าคาร์บอนพิมพ์สกรีนด้วยฟิล์มบิสมัท	39
4.7	การศึกษาภาวะที่เหมาะสมในการวิเคราะห์นิกเกิล(II) ด้วยซีเควินเซียลอินเจกชัน-สแควร์เวฟแอนโอดิกสทริปปิง โวลแทมเมตรีโดยใช้ขั้วไฟฟ้าใช้งานคาร์บอนพิมพ์สกรีน	40
4.7.1	การศึกษาสัญญาณของโวลแทมโมแกรมที่เกิดขึ้น	41
4.7.2	การศึกษาศักย์ไฟฟ้าตกสะสม (Deposition potential) ที่เหมาะสม	41
4.7.3	การศึกษาสัญญาณกระแสไฟฟ้าเมื่อดัดแปรขั้วไฟฟ้าคาร์บอนพิมพ์สกรีนด้วยฟิล์มบิสมัท	45
4.7.4	การศึกษาชนิดของสารละลายอิเล็กโทรไลต์ที่เหมาะสม	47
4.7.5	การศึกษาความเข้มข้นของสารละลายอิเล็กโทรไลต์โซเดียมคลอไรด์ที่เหมาะสม	49
4.8	การสร้างกราฟเทียบมาตรฐาน (calibration curve)	51

บทที่ 5 สรุปผลการทดลอง..... 55

เอกสารอ้างอิง..... 57

ประวัติผู้วิจัย..... 58



สารบัญตาราง

หน้า

ตารางที่ 3.1	การเตรียมสารละลายมาตรฐานนิกเกิล(II) ที่ความเข้มข้นต่าง ๆ	15
ตารางที่ 3.2	พารามิเตอร์ในการวัดสัญญาณกระแสไฟฟ้าโดยใช้ไซคลิกโวลแทมเมตรี	19
ตารางที่ 3.3	พารามิเตอร์ในการวัดสัญญาณกระแสไฟฟ้าโดยใช้สแควร์เวฟโวลแทมเมตรี	20
ตารางที่ 3.4	ลำดับขั้น (Step sequence) สำหรับการหาปริมาณ Ni(II) ด้วยซีเควินเซียลอินเจกชัน- ไซคลิกโวลแทมเมตรี (sequential injection analysis-cyclic voltammetry, SIA-CV)	20
ตารางที่ 3.5	ลำดับขั้น (Step sequence) สำหรับการหาปริมาณ Ni(II) ด้วยซีเควินเซียลอินเจกชัน- สแควร์เวฟโวลแทมเมตรี (sequential injection analysis-square wave voltammetry, SIA-SWV)	21
ตารางที่ 3.6	ลำดับขั้น (Step sequence) สำหรับการหาปริมาณนิกเกิล(II) ด้วยซีเควินเซียลอินเจกชัน- สแควร์เวฟแอนอดิกสทริปปิงโวลแทมเมตรี (sequential injection analysis-square wave anodic stripping voltammetry, SIA-SWASV)	25
ตารางที่ 4.1	ความสูงของพีคนิกเกิล(II) จากสแควร์เวฟแอนอดิกสทริปปิงโวลแทมโมแกรมจากการตรวจวัดสารละลาย มาตรฐานนิกเกิล(II) เข้มข้น 1 มิลลิกรัมต่อลิตร ในสารละลายไซเตียมคลอไรด์เข้มข้น 0.6 โมลาร์ โดยใช้ ศักย์ไฟฟ้าตกสะสม (deposition potential) ต่าง ๆ กัน	44
ตารางที่ 4.2	ความสูงของพีคนิกเกิล(II) จากสแควร์เวฟแอนอดิกสทริปปิงโวลแทมโมแกรมที่ได้จากการตรวจวัดสารละลาย มาตรฐานนิกเกิล(II) เข้มข้น 1 มิลลิกรัมต่อลิตร ในสารละลายอิเล็กโทรไลต์ไซเตียมคลอไรด์ ความเข้มข้นต่าง ๆ	50
ตารางที่ 4.3	ความสูงของพีคนิกเกิล(II) จากโวลแทมโมแกรมที่ได้จากการตรวจวัดสารละลายมาตรฐานนิกเกิล(II) ที่ความ เข้มข้น 0.1–5.0 มิลลิกรัมต่อลิตร ด้วยซีเควินเซียลอินเจกชัน-สแควร์เวฟแอนอดิกสทริปปิงโวลแทมเมตรี โดยใช้ขั้วไฟฟ้าใช้งานคาร์บอนพิมพ์สกรีนที่เหมาะสม	51
ตารางที่ 4.4	ความสูงของพีคนิกเกิล(II) จากโวลแทมโมแกรมที่ได้จากการตรวจวัดสารละลายมาตรฐานนิกเกิล(II) ที่ความ เข้มข้น 0.1–1.0 มิลลิกรัมต่อลิตร ด้วยซีเควินเซียลอินเจกชัน-สแควร์เวฟแอนอดิกสทริปปิงโวลแทมเมตรี โดยใช้ขั้วไฟฟ้าใช้งานคาร์บอนพิมพ์สกรีนที่เหมาะสม	53
ตารางที่ 5.1	ภาวะที่เหมาะสมในการวิเคราะห์นิกเกิล(II) ด้วยซีเควินเซียลอินเจกชัน-สแควร์เวฟแอนอดิกสทริปปิง โวลแทมเมตรีโดยใช้ขั้วไฟฟ้าคาร์บอนพิมพ์สกรีน	55

สารบัญรูปภาพ

หน้า

รูปที่ 2.1	รูปแบบสัญญาณกระตุ้นด้วยวิธีสทริปปิงโวลแทมเมตรี (stripping voltammetry).....	7
รูปที่ 2.2	โวลแทมโมแกรมที่ได้จากวิธีสทริปปิงโวลแทมเมตรี.....	7
รูปที่ 2.3	รูปแบบของศักย์ไฟฟ้าที่ให้ในไซคลิกโวลแทมเมตรี.....	8
รูปที่ 2.4	ไซคลิกโวลแทมโมแกรม.....	9
รูปที่ 2.5	โครงสร้างของคาร์บอนลักษณะต่าง ๆ.....	11
รูปที่ 2.6	ระบบการวิเคราะห์แบบฟลิวอินเจกชัน (flow injection analysis, FIA).....	12
รูปที่ 2.7	ระบบการวิเคราะห์แบบซีเควินเซียลอินเจกชัน (sequential injection analysis, SIA).....	13
รูปที่ 3.1 (ก)	อุปกรณ์ที่ใช้ในการเตรียมโพลีเมอร์เซลล์สำหรับการวิเคราะห์ด้วยเทคนิคโวลแทมเมตรี.....	17
รูปที่ 3.1 (ข)	ขั้วไฟฟ้าคาร์บอนพิมพ์สกรีน (Screen-printed carbon electrode, SPCE).....	17
รูปที่ 3.1 (ค)	ขั้วไฟฟ้าทั้งสามชนิดที่ใช้ในการวิเคราะห์ด้วยเทคนิคโวลแทมเมตรี.....	17
รูปที่ 3.2	ขั้นตอนการประกอบโพลีเมอร์เซลล์.....	18
รูปที่ 3.3	แผนภาพระบบการวิเคราะห์ซีเควินเซียลอินเจกชัน (sequential injection analysis, SIA).....	18
รูปที่ 3.4	การเชื่อมต่อขั้วไฟฟ้าทั้งสามชนิดกับเครื่อง Potentiostat.....	19
รูปที่ 4.1	ไซคลิกโวลแทมโมแกรมของสารละลายมาตรฐานนิกเกิล(II) เข้มข้น 1 มิลลิโมลาร์ ในสารละลายโซเดียมคลอไรด์เข้มข้น 0.6 โมลาร์ ด้วยซีเควินเซียลอินเจกชัน-ไซคลิกโวลแทมเมตรีโดยใช้ขั้วไฟฟ้าคาร์บอนพิมพ์สกรีน.....	27
รูปที่ 4.2	ความสูงของพีคนิกเกิล(II) จากไซคลิกโวลแทมโมแกรมที่ได้จากการตรวจวัดสารละลายมาตรฐานนิกเกิล(II) เข้มข้น 1 มิลลิโมลาร์ ในสารละลายโซเดียมคลอไรด์เข้มข้น 0.6 โมลาร์ ด้วยซีเควินเซียลอินเจกชัน-ไซคลิกโวลแทมเมตรีโดยใช้ขั้วไฟฟ้าคาร์บอนพิมพ์สกรีน ซ้ำ 20 ครั้ง.....	28
รูปที่ 4.3	สแควร์เวฟโวลแทมโมแกรมจากการตรวจวัดสารละลายมาตรฐานนิกเกิล(II) เข้มข้น 10 มิลลิกรัมต่อลิตร ในสารละลายโซเดียมคลอไรด์เข้มข้น 0.6 โมลาร์ ด้วยซีเควินเซียลอินเจกชัน-สแควร์เวฟโวลแทมเมตรีโดยใช้ขั้วไฟฟ้าคาร์บอนพิมพ์สกรีน และสแควร์เวฟโวลแทมโมแกรมจากการตรวจวัดสารละลายโซเดียมคลอไรด์เข้มข้น 0.6 โมลาร์ หรือสารละลายแบลنگก์.....	29
รูปที่ 4.4(ก)	ไซคลิกโวลแทมโมแกรมจากการตรวจวัดสารละลายมาตรฐานนิกเกิล(II) เข้มข้น 1 มิลลิโมลาร์ ในสารละลายโซเดียมคลอไรด์เข้มข้น 0.6 โมลาร์ ด้วยซีเควินเซียลอินเจกชัน-ไซคลิกโวลแทมเมตรีโดยใช้ขั้วไฟฟ้าคาร์บอนพิมพ์สกรีน แล้วล้างขั้วไฟฟ้าด้วยสารละลายกรดไฮโดรคลอริกเข้มข้น 1 โมลาร์ ปริมาตร 2.5 มิลลิลิตร และไซคลิกโวลแทมโมแกรมจากการตรวจวัดสารละลายแบลنگก์.....	30

- รูปที่ 4.6(ก)** ความสูงของพีคกิกเกิล(II) จากสแควร์เวฟโวลแทมโม่แกรมจากการตรวจวัดสารละลายมาตรฐานนิกเกิล(II) เข้มข้น 10 มิลลิกรัมต่อลิตร ในสารละลายโซเดียมคลอไรด์เข้มข้น 0.6 โมลาร์ ด้วยซีเควินเซียลอินเจ็กชัน-สแควร์เวฟโวลแทมเมตรีโดยใช้ขั้วไฟฟ้าคาร์บอนพิมพ์สกกรีน ล้างขั้วไฟฟ้าด้วยสารละลายกรดไฮโดรคลอริก พร้อมทั้งให้ศักย์ไฟฟ้า +2.0 โวลต์ จากการทดลองซ้ำ 20 ครั้ง ได้ค่าเฉลี่ย 0.401 ไมโครแอมแปร์ ค่าเบี่ยงเบนมาตรฐาน (SD) 0.066 ไมโครแอมแปร์ และค่าเบี่ยงเบนมาตรฐานสัมพัทธ์ (RSD) 16.4% 35
- รูปที่ 4.6(ข)** ความสูงของพีคกิกเกิล(II) จากสแควร์เวฟโวลแทมโม่แกรมจากการตรวจวัดสารละลายมาตรฐานนิกเกิล(II) เข้มข้น 10 มิลลิกรัมต่อลิตร ในสารละลายโซเดียมคลอไรด์เข้มข้น 0.6 โมลาร์ ด้วยซีเควินเซียลอินเจ็กชัน-สแควร์เวฟโวลแทมเมตรีโดยใช้ขั้วไฟฟ้าคาร์บอนพิมพ์สกกรีน ล้างขั้วไฟฟ้าด้วยสารละลายกรดไฮโดรคลอริก พร้อมทั้งให้ศักย์ไฟฟ้า +2.5 โวลต์ จากการทดลองซ้ำ 20 ครั้ง ได้ค่าเฉลี่ย 0.596 ไมโครแอมแปร์ ค่าเบี่ยงเบนมาตรฐาน (SD) 0.120 ไมโครแอมแปร์ และค่าเบี่ยงเบนมาตรฐานสัมพัทธ์ (RSD) 20.1% 36
- รูปที่ 4.7** สแควร์เวฟโวลแทมโม่แกรมจากการตรวจวัดสารละลายมาตรฐานนิกเกิล(II) เข้มข้น 10 มิลลิกรัมต่อลิตร ในสารละลายโซเดียมคลอไรด์เข้มข้น 0.6 โมลาร์ ด้วยซีเควินเซียลอินเจ็กชัน-สแควร์เวฟโวลแทมเมตรี และล้างขั้วไฟฟ้าโดยฉีดสารละลายกรดไฮโดรคลอริกเข้มข้น 1 โมลาร์ กับสารละลายเบสโซเดียมไฮดรอกไซด์เข้มข้น 1 โมลาร์ อย่างละ 500 ไมโครลิตร สลับกัน 37
- รูปที่ 4.8(ก)** ความสูงของพีคกิกเกิล(II) จากสแควร์เวฟโวลแทมโม่แกรมจากการตรวจวัดสารละลายมาตรฐานนิกเกิล(II) เข้มข้น 5.0 มิลลิกรัมต่อลิตร ในสารละลายโซเดียมคลอไรด์เข้มข้น 0.6 โมลาร์ ด้วยซีเควินเซียลอินเจ็กชัน-สแควร์เวฟโวลแทมเมตรีโดยใช้ขั้วไฟฟ้าคาร์บอนพิมพ์สกกรีน ล้างขั้วไฟฟ้าด้วยสารละลายกรดไฮโดรคลอริก พร้อมทั้งให้ศักย์ไฟฟ้า +2.0 V ได้ค่าเฉลี่ย 0.374 ไมโครแอมแปร์ ค่าเบี่ยงเบนมาตรฐาน (SD) 0.122 ไมโครแอมแปร์ และค่าเบี่ยงเบนมาตรฐานสัมพัทธ์ (RSD) 32.7%..... 38
- รูปที่ 4.8(ข)** ความสูงของพีคกิกเกิล(II) จากสแควร์เวฟโวลแทมโม่แกรมจากการตรวจวัดสารละลายมาตรฐานนิกเกิล(II) เข้มข้น 10 มิลลิกรัมต่อลิตร ในสารละลายโซเดียมคลอไรด์เข้มข้น 0.6 โมลาร์ ด้วยซีเควินเซียลอินเจ็กชัน-สแควร์เวฟโวลแทมเมตรีโดยใช้ขั้วไฟฟ้าคาร์บอนพิมพ์สกกรีน ล้างขั้วไฟฟ้าด้วยสารละลายกรดไฮโดรคลอริก พร้อมทั้งให้ศักย์ไฟฟ้า +2.0 V ได้ค่าเฉลี่ย 0.400 ไมโครแอมแปร์ ค่าเบี่ยงเบนมาตรฐาน (SD) 0.066 ไมโครแอมแปร์ และค่าเบี่ยงเบนมาตรฐานสัมพัทธ์ (RSD) 16.4%..... 38

- รูปที่ 4.8(ค)** ความสูงของพีคกิกเกิล(II) จากสแควร์เวฟโวลแทมโม่แกรมจากการตรวจวัดสารละลายมาตรฐานนิกเกิล(II) เข้มข้น 50 มิลลิกรัมต่อลิตร ในสารละลายโซเดียมคลอไรด์เข้มข้น 0.6 โมลาร์ ด้วยซีควีนเซียลอินเจ็กชัน-สแควร์เวฟโวลแทมเมตรีโดยใช้ขั้วไฟฟ้าคาร์บอนพิมพ์สกรีน ล้างขั้วไฟฟ้าด้วยสารละลายกรดไฮโดรคลอริก พร้อมทั้งให้ศักย์ไฟฟ้า +2.0 V ได้ค่าเฉลี่ย 2.420 ไมโครแอมแปร์ ค่าเบี่ยงเบนมาตรฐาน (SD) 0.955 ไมโครแอมแปร์ และค่าเบี่ยงเบนมาตรฐานสัมพัทธ์ (RSD) 39.5%..... 39
- รูปที่ 4.9** ความสูงของพีคกิกเกิล(II) จากสแควร์เวฟแอนโอดิกสทริปปิงโวลแทมโม่แกรมจากการตรวจวัดสารละลายมาตรฐานนิกเกิล(II) เข้มข้น 10 มิลลิกรัมต่อลิตร ในสารละลายโซเดียมคลอไรด์เข้มข้น 0.6 โมลาร์ ด้วยซีควีนเซียลอินเจ็กชัน-สแควร์เวฟแอนโอดิกสทริปปิงโวลแทมเมตรีโดยใช้ขั้วไฟฟ้าคาร์บอนพิมพ์สกรีน ดัดแปรด้วยฟิล์มบิสมาท ได้ค่าเฉลี่ย 0.211 ไมโครแอมแปร์ ค่าเบี่ยงเบนมาตรฐาน (SD) 0.062 ไมโครแอมแปร์ และค่าเบี่ยงเบนมาตรฐานสัมพัทธ์ (RSD) 29.4%..... 40
- รูปที่ 4.10** สแควร์เวฟแอนโอดิกสทริปปิงโวลแทมโม่แกรมจากการตรวจวัดสารละลายมาตรฐานนิกเกิล(II) เข้มข้น 1 มิลลิกรัมต่อลิตร ในสารละลายโซเดียมคลอไรด์เข้มข้น 0.6 โมลาร์ ด้วยซีควีนเซียลอินเจ็กชัน-สแควร์เวฟแอนโอดิกสทริปปิงโวลแทมเมตรีโดยใช้ขั้วไฟฟ้าคาร์บอนพิมพ์สกรีน..... 41
- รูปที่ 4.11(ก)** สแควร์เวฟแอนโอดิกสทริปปิงโวลแทมโม่แกรมจากการตรวจวัดสารละลายมาตรฐานนิกเกิล(II) เข้มข้น 1 มิลลิกรัมต่อลิตร ในสารละลายโซเดียมคลอไรด์เข้มข้น 0.6 โมลาร์ ด้วยซีควีนเซียลอินเจ็กชัน-สแควร์เวฟแอนโอดิกสทริปปิงโวลแทมเมตรีโดยใช้ขั้วไฟฟ้าคาร์บอนพิมพ์สกรีน เมื่อใช้ศักย์ไฟฟ้า ตกสะสม -1.5 โวลต์ 42
- รูปที่ 4.11(ข)** สแควร์เวฟแอนโอดิกสทริปปิงโวลแทมโม่แกรมจากการตรวจวัดสารละลายมาตรฐานนิกเกิล(II) เข้มข้น 1 มิลลิกรัมต่อลิตร ในสารละลายโซเดียมคลอไรด์เข้มข้น 0.6 โมลาร์ ด้วยซีควีนเซียลอินเจ็กชัน-สแควร์เวฟแอนโอดิกสทริปปิงโวลแทมเมตรีโดยใช้ขั้วไฟฟ้าคาร์บอนพิมพ์สกรีน เมื่อใช้ศักย์ไฟฟ้า ตกสะสม -1.4 โวลต์ 42
- รูปที่ 4.12(ก)** ความสูงของพีคกิกเกิล(II) จากสแควร์เวฟแอนโอดิกสทริปปิงโวลแทมโม่แกรมจากการตรวจวัดสารละลายมาตรฐานนิกเกิล(II) เข้มข้น 1 มิลลิกรัมต่อลิตร ในสารละลายโซเดียมคลอไรด์เข้มข้น 0.6 โมลาร์ ด้วยซีควีนเซียลอินเจ็กชัน-สแควร์เวฟแอนโอดิกสทริปปิงโวลแทมเมตรีโดยใช้ขั้วไฟฟ้าคาร์บอนพิมพ์สกรีน และใช้ศักย์ไฟฟ้าตกสะสม -1.5 โวลต์ ได้ค่าเฉลี่ย 2.248 ไมโครแอมแปร์ ค่าเบี่ยงเบนมาตรฐาน (SD) 0.403 ไมโครแอมแปร์ และค่าเบี่ยงเบนมาตรฐานสัมพัทธ์ (RSD) 17.9%..... 43

รูปที่ 4.12(ข)	<p>ความสูงของฟิสิกเกิล(II) จากสแควร์เวฟแอโนดิกสทริบปีงโวลแทมโมแกรมจากการตรวจวัดสารละลายมาตรฐานนิกเกิล(II) เข้มข้น 1 มิลลิกรัมต่อลิตร ในสารละลายโซเดียมคลอไรด์เข้มข้น 0.6 โมลาร์ ด้วยซีเควินเซียลอินเจ็กชัน-สแควร์เวฟแอโนดิกสทริบปีงโวลแทมเมตรีโดยใช้ขั้วไฟฟ้าคาร์บอนพิมพ์สกรีน และใช้ศักย์ไฟฟ้าตกสะสม -1.4 โวลต์ ได้ค่าเฉลี่ย 2.284 ไมโครแอมแปร์ ค่าเบี่ยงเบนมาตรฐาน (SD) 0.195 ไมโครแอมแปร์ และค่าเบี่ยงเบนมาตรฐานสัมพัทธ์ (RSD) 8.55%.....</p>	43
รูปที่ 4.13	<p>ผลของศักย์ไฟฟ้าตกสะสม (deposition potential) ต่อความสูงของฟิสิกเกิล(II) ที่ตรวจวัดได้ ด้วยซีเควินเซียลอินเจ็กชัน-สแควร์เวฟแอโนดิกสทริบปีงโวลแทมเมตรีโดยใช้ศักย์ไฟฟ้าตกสะสม (deposition potential) ต่าง ๆ.....</p>	45
รูปที่ 4.14(ก)	<p>สแควร์เวฟแอโนดิกสทริบปีงโวลแทมโมแกรมจากการตรวจวัดสารละลายมาตรฐานนิกเกิล(II) เข้มข้น 1 มิลลิกรัมต่อลิตร ในสารละลายโซเดียมคลอไรด์เข้มข้น 0.6 โมลาร์ ด้วยซีเควินเซียลอินเจ็กชัน-สแควร์เวฟแอโนดิกสทริบปีงโวลแทมเมตรีโดยใช้ขั้วไฟฟ้าคาร์บอนพิมพ์สกรีนที่ไม่ได้ดัดแปร</p>	45
รูปที่ 4.14(ข)	<p>สแควร์เวฟแอโนดิกสทริบปีงโวลแทมโมแกรมจากการตรวจวัดสารละลายมาตรฐานนิกเกิล(II) เข้มข้น 1 มิลลิกรัมต่อลิตร ในสารละลายโซเดียมคลอไรด์เข้มข้น 0.6 โมลาร์ ด้วยซีเควินเซียลอินเจ็กชัน-สแควร์เวฟแอโนดิกสทริบปีงโวลแทมเมตรีโดยใช้ขั้วไฟฟ้าคาร์บอนพิมพ์สกรีนดัดแปรด้วยฟิล์มบิสมัท</p>	46
รูปที่ 4.14(ค)	<p>สแควร์เวฟแอโนดิกสทริบปีงโวลแทมโมแกรมจากการตรวจวัดสารละลายมาตรฐานนิกเกิล(II) เข้มข้น 1 มิลลิกรัมต่อลิตร ในสารละลายโซเดียมคลอไรด์เข้มข้น 0.6 โมลาร์ ด้วยซีเควินเซียลอินเจ็กชัน-สแควร์เวฟแอโนดิกสทริบปีงโวลแทมเมตรีโดยใช้ขั้วไฟฟ้าคาร์บอนพิมพ์สกรีน เปรียบเทียบกับขั้วไฟฟ้าคาร์บอนพิมพ์สกรีนดัดแปรด้วยฟิล์มบิสมัท</p>	46
รูปที่ 4.15(ก)	<p>สแควร์เวฟแอโนดิกสทริบปีงโวลแทมโมแกรมจากการตรวจวัดสารละลายมาตรฐานนิกเกิล(II) เข้มข้น 1 มิลลิกรัมต่อลิตร ในสารละลายโซเดียมคลอไรด์ (NaCl) 1 โมลาร์ ด้วยซีเควินเซียลอินเจ็กชัน-สแควร์เวฟแอโนดิกสทริบปีงโวลแทมเมตรีโดยใช้ขั้วไฟฟ้าคาร์บอนพิมพ์สกรีน.....</p>	47
รูปที่ 4.15(ข)	<p>สแควร์เวฟแอโนดิกสทริบปีงโวลแทมโมแกรมจากการตรวจวัดสารละลายมาตรฐานนิกเกิล(II) เข้มข้น 1 มิลลิกรัมต่อลิตร ในสารละลายกรดไฮโดรคลอริก (HCl) เข้มข้น 1 โมลาร์ ด้วยซีเควินเซียลอินเจ็กชัน-สแควร์เวฟแอโนดิกสทริบปีงโวลแทมเมตรีโดยใช้ขั้วไฟฟ้าคาร์บอนพิมพ์สกรีน.....</p>	48
รูปที่ 4.15(ค)	<p>สแควร์เวฟแอโนดิกสทริบปีงโวลแทมโมแกรมจากการตรวจวัดสารละลายมาตรฐานนิกเกิล(II) เข้มข้น 1 มิลลิกรัมต่อลิตร ในสารละลายกรดไนตริก (HNO₃) เข้มข้น 1 โมลาร์ ด้วยซีเควินเซียลอินเจ็กชัน-สแควร์เวฟแอโนดิกสทริบปีงโวลแทมเมตรีโดยใช้ขั้วไฟฟ้าคาร์บอนพิมพ์สกรีน.....</p>	48

- รูปที่ 4.15(ง) สแควร์เวฟแอนดิกสทริบปีงโวลแทมโม่แกรมจากการตรวจวัดสารละลายมาตรฐานนิกเกิล(II) เข้มข้น 1 มิลลิกรัมต่อลิตร ในสารละลายกรดซัลฟิวริก (H_2SO_4) เข้มข้น 1 โมลาร์ ด้วยซีเควินซีลอินเจ็กชัน-สแควร์เวฟแอนดิกสทริบปีงโวลแทมเมตรีโดยใช้ขั้วไฟฟ้าคาร์บอนพิมพ์สกรีน..... 49
- รูปที่ 4.16 ความสูงของพีคนิกเกิล(II) จากสแควร์เวฟแอนดิกสทริบปีงโวลแทมโม่แกรมที่ได้จากการตรวจวัดสารละลายมาตรฐานนิกเกิล(II) เข้มข้น 1 มิลลิกรัมต่อลิตร ในสารละลายโซเดียมคลอไรด์ ความเข้มข้นต่าง ๆ กัน ด้วยซีเควินซีลอินเจ็กชัน-สแควร์เวฟแอนดิกสทริบปีงโวลแทมเมตรีโดยใช้ขั้วไฟฟ้าคาร์บอนพิมพ์สกรีน ... 50
- รูปที่ 4.17 กราฟเทียบมาตรฐานสำหรับการวิเคราะห์ปริมาณนิกเกิล(II) ในช่วงความเข้มข้น 0.1-5.0 มิลลิกรัมต่อลิตร ด้วยซีเควินซีลอินเจ็กชัน-สแควร์เวฟแอนดิกสทริบปีงโวลแทมเมตรีโดยใช้ขั้วไฟฟ้าคาร์บอนพิมพ์สกรีน ที่ภาวะเหมาะสม 52
- รูปที่ 4.18 แนวโน้มความเป็นเส้นตรงสำหรับการวิเคราะห์ปริมาณนิกเกิล(II) ในช่วงความเข้มข้น 0.1-1.0 มิลลิกรัมต่อลิตร ด้วยซีเควินซีลอินเจ็กชัน-สแควร์เวฟแอนดิกสทริบปีงโวลแทมเมตรีโดยใช้ขั้วไฟฟ้าคาร์บอนพิมพ์สกรีน ที่ภาวะเหมาะสม 52
- รูปที่ 4.19 กราฟเทียบมาตรฐานสำหรับการวิเคราะห์ปริมาณนิกเกิล(II) ในช่วงความเข้มข้น 0.1-1.0 มิลลิกรัมต่อลิตร ด้วยซีเควินซีลอินเจ็กชัน-สแควร์เวฟแอนดิกสทริบปีงโวลแทมเมตรีโดยใช้ขั้วไฟฟ้าคาร์บอนพิมพ์สกรีน ที่ภาวะเหมาะสม 54

คำอธิบายสัญลักษณ์และคำย่อ

Ag/AgCl	ขั้วไฟฟ้าซิลเวอร์/ซิลเวอร์คลอไรด์ (Silver/Silver Chloride electrode)
CE	ขั้วไฟฟ้าร่วม (Counter Electrode)
CV	ไซคลิกโวลแทมเมตรี (Cyclic Voltammetry)
FIA	การวิเคราะห์แบบฟลูอิดอินเจกชัน (Flow Injection Analysis)
g/cm^3	กรัมต่อลูกบาศก์เซนติเมตร
g/mol	กรัมต่อโมล
Hz	เฮิรตซ์ (Hertz)
M	โมลาร์ (Molar)
MW	มวลโมเลกุล (Molecular Weight)
mg/L	มิลลิกรัมต่อลิตร
mV	มิลลิโวลต์ (Millivolt)
ppm	หนึ่งในล้านส่วน (part per million)
PVC	แผ่นพลาสติกพอลิไวนิลคลอไรด์ (Polyvinylchloride)
RE	ขั้วไฟฟ้าอ้างอิง (Reference Electrode)
RSD	ค่าเบี่ยงเบนมาตรฐานสัมพัทธ์ (Relative Standard Deviation)
S	วินาที (Second)
SCE	ขั้วไฟฟ้าคาโลเมลอิ่มตัว (Saturated Calomel Electrode)
SD	ค่าเบี่ยงเบนมาตรฐาน (Standard Deviation)
SIA	การวิเคราะห์แบบซีเควินเซียลอินเจกชัน (Sequential Injection Analysis)
SIA-CV	ซีเควินเซียลอินเจกชัน-ไซคลิกโวลแทมเมตรี (Sequential Injection Analysis-Cyclic Voltammetry)
SIA-SWV	ซีเควินเซียลอินเจกชัน-สแควร์เวฟโวลแทมเมตรี (Sequential Injection Analysis-Square Wave Voltammetry)
SPCE	ขั้วไฟฟ้าคาร์บอนพิมพ์สกรีน (Screen-Printed Carbon Electrode)
WE	ขั้วไฟฟ้าใช้งาน (Working Electrode)
V	โวลต์ (Volt)
V s^{-1}	โวลต์ต่อวินาที

μA	ไมโครแอมป์ (Microampere)
μL	ไมโครลิตร (Microliter)
$\mu\text{L/s}$	ไมโครลิตรต่อวินาที



ภาควิชาเคมี
 คณะวิทยาศาสตร์
 จุฬาลงกรณ์มหาวิทยาลัย

บทที่ 1

บทนำ

1.1 ความเป็นมาและมูลเหตุจูงใจของโครงการ

สภาพสังคมในปัจจุบันส่งผลให้การดำเนินชีวิตของผู้คนในสังคมเปลี่ยนแปลงไป การดำเนินชีวิตที่เต็มไปด้วยความเร่งรีบ รวมถึงสภาพอากาศที่เปลี่ยนแปลงไปทำให้เกิดปัจจัยเสี่ยงทางด้านสุขภาพมากขึ้น โดยปัญหาสุขภาพนั้นอาจเกิดจากการรับประทานอาหารที่ไม่ถูกต้องลักษณะ ความไม่ใส่ใจในคุณค่าทางสารอาหารหรือความปลอดภัยของอาหาร โดยเฉพาะอย่างยิ่งอาหารที่ขายริมทาง ซึ่งอาจมีการปนเปื้อนของสารพิษที่ตกค้างอยู่ในวัตถุดิบและภาชนะบรรจุ เช่น ยาปราบศัตรูพืช สารเคมีจากบรรจุภัณฑ์ โลหะหนักที่ปนเปื้อนจากแหล่งน้ำ เป็นต้น

การปนเปื้อนของโลหะหนักในอาหารและน้ำดื่มเกิดจากกระบวนการผลิต ตัวอย่างเช่น การใช้ยาฆ่าแมลงที่มีองค์ประกอบของโลหะหนักในการเกษตร ส่งผลให้เกิดการตกค้างของโลหะหนักในดินหรือในแหล่งน้ำ ทำให้โลหะหนักสะสมและถ่ายทอดในห่วงโซ่อาหาร หากตกค้างในดิน พืชผลทางการเกษตรก็จะได้รับสารพิษเหล่านั้น หากตกค้างในแหล่งน้ำ สัตว์น้ำก็จะได้รับสารพิษเหล่านั้น และสารพิษเหล่านั้นก็จะถูกถ่ายทอดไปยังผู้บริโภคถัดไป ในห่วงโซ่อาหาร นอกจากนี้ ยังมีการใช้โลหะหนักในอุตสาหกรรมหลายชนิด เช่น อุตสาหกรรมปิโตรเคมี อุตสาหกรรมการผลิตพลาสติกและยาง อุตสาหกรรมขึ้นส่วนอิเล็กทรอนิกส์ และอุตสาหกรรมการผลิต เคลือบ หรือชุบโลหะ เป็นต้น กระบวนการผลิตเหล่านั้นมักก่อให้เกิดของเสียที่มีโลหะหนักปนเปื้อน หากบริเวณโรงงานใดที่ขาดแผนการป้องกันหรือแผนรับมือทางด้านสิ่งแวดล้อม ของเสียที่เกิดขึ้นจะถูกนำไปกำจัดอย่างผิดวิธี เช่น ลักลอบทิ้งของเสียลงในดินหรือแหล่งน้ำ เป็นต้น ซึ่งการกระทำเหล่านี้ทำให้เกิดการสะสมของโลหะหนักในสิ่งแวดล้อม และเมื่อมีการสะสมในปริมาณมาก ๆ สิ่งแวดล้อมโดยรอบก็จะเสียหาย ส่งผลกระทบต่อสิ่งมีชีวิตทั้งทางตรงและทางอ้อม ทั้งนี้ โลหะหนักสามารถเข้าสู่ร่างกายได้ผ่านทางระบบทางเดินอาหาร ระบบหายใจ ระบบผิวหนัง เป็นต้น

นิกเกิล (Nickel, Ni) เป็นโลหะหนักชนิดหนึ่งที่ถูกนำมาใช้ในอุตสาหกรรมอย่างแพร่หลาย ในธรรมชาติ นิกเกิลเป็นโลหะที่มักอยู่ในรูปของซัลไฟด์ โดยปะปนมากับโลหะชนิดอื่น เช่น ทองแดง โคบอลต์ และแร่โลหะมีค่าในกลุ่มแพลทินัม นิกเกิลผลิตได้จากกระบวนการสกัดแร่ นิกเกิล เรียกว่า Mond's Process ซึ่งจากกระบวนการนี้จะได้สารประกอบนิกเกิลคาร์บอนิล ($\text{Ni}(\text{CO})_4$) เมื่อเป็นโลหะบริสุทธิ์แล้วจะมีสมบัติต้านทานการกัดกร่อนสูง มีความเหนียวและอ่อนตัวสูง สามารถนำมาใช้ขึ้นรูปในอุณหภูมิต่ำได้ นอกจากนี้ นิกเกิลยังสามารถหลอมรวมกับโลหะอื่นได้ง่าย นิกเกิลจึงถูกนำมาใช้ในอุตสาหกรรมหลากหลายประเภท เช่น การผลิตสแตนเลสสตีลและอัลลอยด์กันสนิม การผลิตเหรียญกษาปณ์ การผลิตถ่านไฟฉายและแบตเตอรี่รถยนต์ การชุบโลหะเพื่อป้องกันการเกิดสนิม การผลิตอุปกรณ์ไฟฟ้าต่าง ๆ รวมถึง การนำนิกเกิลมาผสมกับทองแดงเพื่อป้องกันการผุกร่อน นอกจากนี้ยังมีการใช้นิกเกิลในรูปเหล็กกล้าไร้สนิมในการก่อสร้างอาคาร หรือทำอุปกรณ์ประดับอาคาร เพราะนอกจากนิกเกิลจะมีความต้านทานการกัดกร่อนและแข็งแรงแล้ว นิกเกิลยังมีความสวยงามอีกด้วย จะเห็นได้ว่า โลหะนิกเกิลถูกนำมาใช้

ประโยชน์มากมาย อย่างไรก็ตาม หากผู้ใช้ขาดความรับผิดชอบก็อาจก่อให้เกิดผลกระทบต่อสิ่งแวดล้อมและสุขภาพได้ นิกเกิลสามารถเข้าสู่ร่างกายได้โดยผ่านทางหายใจ ทางอาหาร และการสัมผัส [1] แต่ภาวะความเป็นพิษมักเกิดจากการหายใจเป็นหลัก การดูดซึมของนิกเกิลเข้าสู่ร่างกายนั้นเกิดจากสมบัติการละลายน้ำของนิกเกิล โดยสารประกอบนิกเกิลคาร์บอเนตเป็นสารประกอบที่ละลายน้ำได้ง่าย จึงทำให้ถูกดูดซึมเข้าสู่ร่างกายได้ดี และก่อให้เกิดอันตรายจากนิกเกิลได้ อันตรายของนิกเกิลได้แก่

- 1) ภาวะความเป็นพิษของนิกเกิลจากการหายใจทำให้เกิดอาการไอ เจ็บหน้าอก ปวดศีรษะ หายใจลำบาก ซึ่งต่อมาอาจทำให้เกิดภาวะปอดอักเสบเฉียบพลัน และทำให้เสียชีวิตจากการหายใจล้มเหลวในที่สุด
- 2) การสัมผัสนิกเกิลทางผิวหนัง เช่น การสวมใส่เครื่องประดับซึ่งมีโลหะนิกเกิลเป็นส่วนประกอบ จะเกิดอาการแพ้ได้
- 3) การดื่มน้ำที่มีการปนเปื้อนนิกเกิลในปริมาณมากจะทำให้เกิดอาการคลื่นไส้ อาเจียน ปวดมวนท้อง และท้องเสีย โดยองค์การอนามัยโลกได้กำหนดค่าคุณภาพมาตรฐานน้ำดื่มให้มีปริมาณนิกเกิลไม่เกิน 0.02 มิลลิกรัมต่อลิตร และตามประกาศกรมควบคุมมลพิษ กระทรวงทรัพยากรธรรมชาติและสิ่งแวดล้อมได้กำหนดมาตรฐานคุณภาพน้ำทิ้งจากโรงงานอุตสาหกรรมและนิคมอุตสาหกรรมให้มีปริมาณนิกเกิลไม่เกิน 1.0 มิลลิกรัมต่อลิตร

เนื่องจากนิกเกิลเป็นโลหะที่ก่อให้เกิดปัญหาทางด้านสุขภาพและเป็นอันตรายหากมีปริมาณที่มากเกินไป จึงต้องมีการตรวจวัดปริมาณนิกเกิล ในปัจจุบัน วิธีที่ใช้ในการตรวจวัดปริมาณนิกเกิลนั้นมีหลายวิธี ได้แก่ อินดักทีฟพลาสมาแมสสเปกโตรเมตรี (inductively coupled plasma-mass spectrometry, ICP-MS) อะตอมมิคแอบซอร์บชันสเปกโตรสโกปี (atomic absorption spectroscopy, AAS) และวิธีทางเคมีไฟฟ้า (electrochemical method)

วิธีทางเคมีไฟฟ้าเป็นวิธีหนึ่งที่ยิยมใช้ในการตรวจวัดกันอย่างแพร่หลาย โดยเทคนิคแอนอดิกสทริปปิงโวลแทมเมตรี (anodic stripping voltammetry, ASV) [2] ถือเป็นเทคนิคทางเคมีไฟฟ้าที่ยิยมใช้ตรวจวัดโลหะ เนื่องจากให้ผลที่แม่นยำ รวดเร็ว มีขีดจำกัดการตรวจวัดต่ำ จึงสามารถตรวจวัดได้ในระดับความเข้มข้นต่ำ ให้ช่วงความเป็นเส้นตรงที่กว้าง รวมทั้งเครื่องมือที่ใช้มีราคาไม่แพง มีขนาดเล็ก สามารถใช้ในการตรวจวัดนอกสถานที่ได้เมื่อเทียบกับวิธีอื่น ๆ นอกจากนี้เทคนิค ASV นั้นยังเหมาะสมสำหรับการทำเป็นระบบอัตโนมัติอีกด้วย

การนำเทคนิค ASV มาใช้งานร่วมกับระบบการไหล (flow system) มีข้อดีหลายประการ ได้แก่ เพิ่มความสะดวกรวดเร็วในการตรวจวัด ลดการสัมผัสสารพิษของผู้ทดลอง ลดความเสี่ยงในการปนเปื้อนของสาร รวมถึงมีความแม่นยำและความเที่ยงในการตรวจวัดมากขึ้น

ระบบการวิเคราะห์โฟลว์อินเจกชัน (flow injection analysis, FIA) เป็นเทคนิคที่ใช้วิเคราะห์หาปริมาณโดยการฉีดสารตัวอย่างปริมาณน้อย ๆ ในระดับไมโครลิตรเข้าสู่กระแสตัวพา เช่น รีเอเจนต์ สารละลายบัฟเฟอร์ หรือตัวทำละลาย สารตัวพาจะไหลอย่างต่อเนื่องในท่อที่มีเส้นผ่านศูนย์กลางขนาดเล็ก โดยที่อัตราการไหลจะต้องเหมาะสมและคงที่ จากนั้นสารตัวอย่างกับรีเอเจนต์จะทำปฏิกิริยาเคมีที่ mixing reactor และไหลเข้าสู่ flow through cell ของเครื่องตรวจวัดชนิดต่าง ๆ ซึ่งเทคนิค

นี้นิยมใช้ในการวิเคราะห์หลายสาขา เนื่องจากให้ความแม่นยำและความเที่ยงสูง ประหยัดต้นทุน และนำมาทำเป็นระบบอัตโนมัติได้ง่าย

เทคนิคการวิเคราะห์ซีเควินเซียลอินเจกชัน (sequential injection analysis, SIA) เป็นเทคนิคที่เกี่ยวข้องกับการไหล โดย SIA มีสมบัติเด่นที่เพิ่มเติมจาก FIA เพื่อเพิ่มประสิทธิภาพของระบบคือ มีการไหลในสองทิศทางที่ไม่ต่อเนื่องกัน (bi-direction discontinuous flow) การใช้เทคนิคนี้สามารถทำให้เป็นระบบอัตโนมัติควบคุมด้วยคอมพิวเตอร์ จึงช่วยให้การปฏิบัติงานง่ายขึ้น การใช้ระบบอัตโนมัตินี้จะทำให้สารที่เข้าทำปฏิกิริยามีปริมาณคงที่ การวิเคราะห์จึงมีความแม่นยำและความเที่ยงสูง นอกจากนี้ SIA ยังสามารถใช้ในการขนถ่ายสารสำหรับการวิเคราะห์ที่ต้องทำหลายขั้นตอน ข้อดีของเทคนิค SIA คือ ความสะดวกรวดเร็ว เครื่องมือมีขนาดเล็ก ประหยัดสารเคมี จึงมีการใช้เทคนิค SIA อย่างแพร่หลาย

งานวิจัยนี้จะพัฒนาวิธีตรวจวัดปริมาณนิกเกิลด้วยเทคนิคทางเคมีไฟฟ้าโดยใช้ขั้วไฟฟ้าคาร์บอนพิมพ์สกรีน (screen-printed carbon electrode) ซึ่งเป็นขั้วไฟฟ้าที่สามารถเตรียมได้ง่าย มีราคาถูก โดยนำมาใช้เป็นขั้วไฟฟ้าใช้งาน (working electrode) เพื่อพัฒนาประสิทธิภาพการตรวจวัดปริมาณนิกเกิลให้มีความรวดเร็ว มีสภาพไว ความแม่นยำ และความเที่ยงสูง

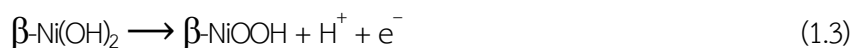
1.2 ทฤษฎีและงานวิจัยที่เกี่ยวข้อง

ในปี ค.ศ. 2008 A. Crew และคณะ [3] ได้รายงานการตรวจวัดสังกะสีในเหงื่อของมนุษย์โดยใช้ขั้วไฟฟ้าคาร์บอนพิมพ์สกรีนควบคู่กับแอนดิกสทริปปิงโวลแทมเมตรี โดยการตกสะสม (deposition) ของสังกะสีที่ศักย์ไฟฟ้า -1.6 V เป็นเวลา 60 วินาที แล้วตรวจวัดด้วยเทคนิคดิฟเฟอเรนเชียลพัลส์โวลแทมเมตรี (differential pulse voltammetry) พบว่า ความสัมพันธ์ระหว่างสัญญาณไฟฟ้ากับความเข้มข้นของโลหะเป็นเส้นตรงในช่วง $0.01-5$ μM และมีขีดจำกัดการตรวจวัดเท่ากับ 6.67×10^{-3} μM และเมื่อนำมาตรวจวัดหาปริมาณสังกะสีในกลุ่มอาสาสมัครจำนวน 10 คน พบว่าความเข้มข้นของสังกะสีที่วัดได้อยู่ในช่วงความเป็นเส้นตรง วิธีการตรวจวัดนี้มีความเที่ยงและสามารถใช้ขั้วไฟฟ้าคาร์บอนพิมพ์สกรีนทดแทนการใช้ขั้วไฟฟ้าปรอทซึ่งทำลายสิ่งแวดล้อมได้

ในปี ค.ศ. 2011 Uthaitip Injang และคณะ [4] ได้ทดลองตรวจวัดปริมาณโลหะหนักในสมุนไพรโดยใช้แอนดิกสทริปปิงโวลแทมเมตรีร่วมกับซีเควินเซียลอินเจกชัน โดยใช้ขั้วไฟฟ้าคาร์บอนนาโนทิวบ์พิมพ์สกรีน พบว่าความสัมพันธ์ระหว่างสัญญาณไฟฟ้ากับความเข้มข้นของโลหะเป็นเส้นตรงในช่วง $2-100$ $\mu\text{g L}^{-1}$ สำหรับตะกั่วและแคดเมียม และ $12-100$ $\mu\text{g L}^{-1}$ สำหรับสังกะสี และมีขีดจำกัดการตรวจวัด ($S_{90}/S = 3$) เท่ากับ 0.2, 0.8 และ 11 $\mu\text{g L}^{-1}$ สำหรับตะกั่ว แคดเมียม และสังกะสีตามลำดับ วิธีนี้สามารถตรวจวัดปริมาณโลหะหนักในสมุนไพรได้ ให้ผลที่เที่ยง และการนำระบบอัตโนมัติมาใช้ทำให้ประหยัดค่าใช้จ่ายได้

ในปี ค.ศ. 2012 S. Neodo และคณะ [5] ได้รายงานการวิเคราะห์นิกเกิลด้วยดิฟเฟอเรนเชียลพัลส์แอนดิกโวลแทมเมตรี โดยใช้ขั้วไฟฟ้าโบรอนโดปโดมอนด์เป็นขั้วไฟฟ้าใช้งาน ซึ่งสามารถนำไปประยุกต์ใช้ในการวิเคราะห์นิกเกิลได้ในสถานะที่

เป็นกรด โดยการตรวจวัดสามารถทำได้ในช่วง pH 8–4 ชีตจำกัดการตรวจวัดมีค่า 26.1 μM งานวิจัยนี้เป็นอีกทางเลือกหนึ่งที่ใช้ขั้วไฟฟ้าโบรอนโดปโดมอนด์แทนขั้วไฟฟ้าปรอทซึ่งมีความเป็นพิษต่อสิ่งแวดล้อม สมการที่เกี่ยวข้องในงานวิจัยมีดังนี้



หลังจากทำให้โลหะนิกเกิลที่เกาะติดอยู่ที่ผิวหน้าขั้วไฟฟ้าหลุดออกกลายเป็น Ni(II) แล้ว ไฮดรอกไซด์จะเข้าไปทำปฏิกิริยากับ Ni(II) เกิดเป็น Ni(OH)₂ ซึ่งมีลักษณะเป็นชั้นบาง ๆ เคลือบที่ผิวหน้าขั้วไฟฟ้า จากนั้นจะกลายเป็น NiOOH ซึ่งนิกเกิลในสารเชิงซ้อนนี้คือ Ni(III) และสามารถตรวจวัดอิเล็กตรอนที่หลุดออกมาได้

ในปี ค.ศ. 2014 Andrzej Bobrowski และคณะ [6] ได้รายงานการใช้ขั้วไฟฟ้าฟิล์มตะกั่วควบคู่กับเทคนิคแอดซอร์พทีฟสทริปปิงโวลแทมเมตรี (adsorptive stripping voltammetry) ในการตรวจวัดปริมาณโคบอลต์และนิกเกิลที่อยู่ในรูปของสารประกอบไดเมทิลไดออกซิม (dimethyldioxim) โดยใช้สารละลายแอมโมเนียเข้มข้น 0.2 M มีค่า pH เท่ากับ 8.2 เป็นสารละลายบัฟเฟอร์ พบว่าสามารถตรวจวัดปริมาณโคบอลต์และนิกเกิลเข้าได้ดีและมีขีดจำกัดการตรวจวัดต่ำ โดยขีดจำกัดการตรวจวัดของนิกเกิลและโคบอลต์ในช่วงเวลา 90 วินาที เท่ากับ 0.2 และ 0.3 $\mu\text{g L}^{-1}$ ตามลำดับ

ในงานวิจัยนี้ ผู้วิจัยสนใจพัฒนาวิธีตรวจวัดนิกเกิลด้วยวิธีทางเคมีไฟฟ้าโดยใช้ขั้วไฟฟ้าคาร์บอนพิมพ์สกรีน วิธีตรวจวัดนิกเกิลด้วยวิธีทางเคมีไฟฟ้านี้มีหลายขั้นตอน จึงได้นำมาใช้ควบคู่กับการวิเคราะห์ด้วยระบบที่มีการไหลแบบซีเคิร์นเซียล-อินเจ็ชันซึ่งเป็นเทคนิคที่สามารถควบคุมการวิเคราะห์หลายขั้นตอนแบบอัตโนมัติ เพื่อให้การตรวจวัดมีประสิทธิภาพดีขึ้น มีความแม่นยำและความเที่ยงสูง ทำได้สะดวกรวดเร็ว และทำให้ผู้วิเคราะห์ไม่ต้องสัมผัสกับนิกเกิลในตัวอย่างและสารเคมีอื่น ๆ

บทที่ 2

ทฤษฎี

เคมีไฟฟ้าเป็นวิธีตรวจวัดทางเคมีวิธีหนึ่งที่ใช้ในหลากหลายสาขา โดยเป็นศาสตร์แขนงหนึ่งที่ศึกษาการถ่ายโอนประจุ (charge transfer) ระหว่างสารละลายกับผิวหน้าของขั้วไฟฟ้า โดยอาศัยความสัมพันธ์ทางไฟฟ้ากับการเปลี่ยนแปลงทางเคมี การตรวจวัดทางเคมีไฟฟ้าสามารถนำไปประยุกต์ใช้ในทางเคมี เช่น การศึกษากลไกปฏิกิริยาเคมี รวมถึงการวิเคราะห์ทางเคมี โดยการวิเคราะห์ด้วยวิธีเคมีไฟฟ้านั้นสามารถควบคุมทิศทางการเกิดปฏิกิริยาได้ซึ่งแตกต่างจากการวิเคราะห์ทางเคมีวิธีอื่น

2.1 เคมีวิเคราะห์เชิงไฟฟ้า

เป็นการนำหลักการทางเคมีไฟฟ้ามาใช้ในการวิเคราะห์เชิงคุณภาพและปริมาณโดยอาศัยการตอบสนองทางไฟฟ้าของสารตัวอย่างจากการเปลี่ยนแปลงทางปฏิกิริยาเคมี ซึ่งการวิเคราะห์ด้วยวิธีนี้สามารถควบคุมทิศทางการเกิดปฏิกิริยาได้

เซลล์ไฟฟ้าเคมี คือวงจรที่ประกอบด้วยขั้วไฟฟ้า (electrode) สองขั้วจุ่มในสารละลายอิเล็กโทรไลต์ โดยขั้วไฟฟ้าด้านหนึ่งซึ่งเรียกว่า ขั้วแอโนด (anode) หรือครึ่งเซลล์แอโนดิก (anodic half-cell) ทำหน้าที่ให้อิเล็กตรอน และขั้วไฟฟ้าอีกด้านหนึ่งซึ่งเรียกว่า ขั้วแคโทด (cathode) หรือครึ่งเซลล์แคโทดิก (cathodic half-cell) ทำหน้าที่รับอิเล็กตรอน เซลล์ไฟฟ้าเคมีประกอบด้วย

- 1) สารละลายตัวอย่างหรือสารละลายที่ต้องการวิเคราะห์ จะต้องอยู่ในสารละลายอิเล็กโทรไลต์ซึ่งสามารถนำไฟฟ้าได้
- 2) ขั้วไฟฟ้า (electrode) ทำหน้าที่เป็นขั้วให้กระแสผ่านเข้าและออกจากเซลล์ไฟฟ้าเคมี ซึ่งประกอบด้วยสองส่วน คือ ตัวนำไฟฟ้าอิเล็กทรอนิกส์ (electronic conductor) ได้แก่ ขั้วโลหะนำไฟฟ้า และตัวนำไฟฟ้าอิเล็กโทรไลต์ (electrolyte conductor) ได้แก่ สารละลายอิเล็กโทรไลต์
- 3) อุปกรณ์ตรวจวัดสัญญาณไฟฟ้า

เซลล์ไฟฟ้าเคมี มี 2 ชนิด ได้แก่

- 1) เซลล์กัลวานิก (galvanic cell) คือ เซลล์ไฟฟ้าเคมีที่เปลี่ยนปฏิกิริยาเคมีให้เป็นพลังงานไฟฟ้าโดยปฏิกิริยาเกิดขึ้นได้เอง กระแสที่เกิดขึ้นเป็นผลจากปฏิกิริยารีดอกซ์ (redox reaction) และคงอยู่ตลอดเท่าที่องค์ประกอบทั้งหมดยังคงมีอยู่
- 2) เซลล์อิเล็กโทรไลต์ (electrolyte cell) คือ เซลล์ไฟฟ้าเคมีที่เกิดปฏิกิริยาเคมีได้ เมื่อมีการให้ศักย์ไฟฟ้าหรือกระแสไฟฟ้าจากภายนอก

เคมีวิเคราะห์เชิงไฟฟ้า แบ่งเป็น 2 เทคนิคหลัก คือ

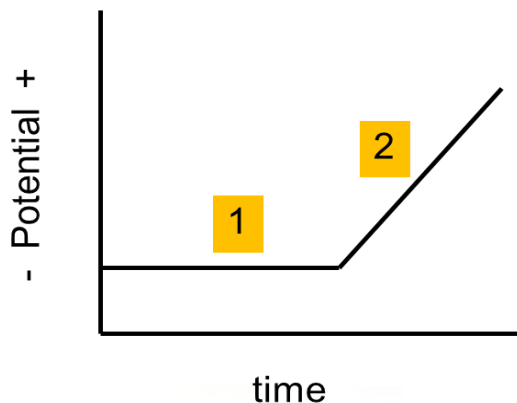
- 1) โพลเทนซีอเมตรี (potentiometry) เป็นเทคนิคการวิเคราะห์ทางเคมีเชิงไฟฟ้าวิธีหนึ่งที่น่าสนใจมาประยุกต์ใช้สำหรับการทำปริมาณวิเคราะห์ เกี่ยวข้องกับการวัดค่าศักย์ไฟฟ้าของสารละลายตัวอย่างภายใต้เงื่อนไขที่ไม่มีกระแสไฟฟ้าไหลผ่าน เซลล์เคมีไฟฟ้าของเทคนิคโพลเทนซีอเมตรีจัดเป็นเซลล์กัลวานิก ซึ่งสามารถเกิดปฏิกิริยาทางเคมีขึ้นได้เองที่ผิวหน้าของขั้วไฟฟ้า เซลล์ไฟฟ้าเคมีประกอบด้วยขั้วไฟฟ้าแอโนดต่ออยู่กับขั้วลบ และขั้วไฟฟ้าแคโทดเป็นขั้วบวก ค่าความต่างศักย์ที่เกิดขึ้นระหว่างขั้วแอโนดและขั้วแคโทดเรียกว่า ศักย์ไฟฟ้าของเซลล์ (E_{cell})
- 2) โวลแทมเมตรี (voltammetry) เป็นเทคนิคการวิเคราะห์ทางเคมีที่ต้องให้ศักย์ไฟฟ้าที่คงที่เข้าไปในวงจรและวัดกระแสที่เกิดขึ้น เซลล์เคมีไฟฟ้าของเทคนิคโวลแทมเมตรีจัดเป็นเซลล์อิเล็กโทรไลต์ ขั้วไฟฟ้าที่ใช้สำหรับเทคนิคนี้จะต่างจากเทคนิคโพลเทนซีอเมตรีคือมีการใช้ขั้วไฟฟ้าช่วย (auxiliary electrode) เช่น ขั้วไฟฟ้าช่วยแพลทินัม (platinum wire auxiliary electrode) นอกจากนี้ ขั้วไฟฟ้าใช้งานสำหรับเทคนิคนี้มักเป็นขั้วไฟฟ้าจุลภาค (microelectrode) ทั้งนี้เพื่อให้เกิดโพลาไรเซชันที่ขั้วไฟฟ้าใช้งาน เทคนิคที่สำคัญสำหรับการวิเคราะห์โดยโวลแทมเมตรี ได้แก่ โพลาริกราฟี แอมเพอโรเมตรี พัลส์โวลแทมเมตรี สทริปปิงโวลแทมเมตรี

2.2 โวลแทมเมตรี

โวลแทมเมตรีเป็นวิธีการวิเคราะห์ทางเคมีไฟฟ้า ข้อมูลของการวิเคราะห์ที่ได้จากการวัดกระแส ณ ศักย์ไฟฟ้าที่ให้กับวงจรภายใต้สภาวะการทดลองที่เกิดโพลาไรเซชันที่ขั้วไฟฟ้าใช้งาน ขั้วไฟฟ้าต้องมีขนาดเล็ก มีผิวสัมผัสน้อยมาก โวลแทมเมตรีเกี่ยวข้องกับการให้ศักย์ไฟฟ้าที่ควบคุมได้จากวงจรภายนอกแก่ขั้วไฟฟ้าของเซลล์ไฟฟ้าเคมี ศักย์ไฟฟ้านี้ทำให้ขั้วไฟฟ้าใช้งานมีศักย์ไฟฟ้าเปลี่ยนแปลงไป ซึ่งจะทำการสารบางชนิดที่อยู่ในสารละลายรอบขั้วไฟฟ้าใช้งานสามารถเกิดปฏิกิริยาถ่ายเทอิเล็กตรอน (electron transfer reaction) บนผิวของขั้วไฟฟ้าได้ นั่นคือ มีการให้หรือรับอิเล็กตรอนที่ขั้วไฟฟ้าใช้งาน ทำให้เกิดกระแสไฟฟ้าไหลผ่าน กระแสไฟฟ้าที่เกิดขึ้นนี้จะถูกตรวจวัดโดยวงจรภายนอก ซึ่งค่ากระแสไฟฟ้าที่ได้สัมพันธ์กับความเข้มข้นของสารที่เกิดปฏิกิริยา

2.3 สทริปปิงโวลแทมเมตรี

เทคนิคสทริปปิงโวลแทมเมตรีเป็นเทคนิคที่ใช้วิเคราะห์หาปริมาณของโลหะหนักซึ่งเป็นที่นิยมอย่างแพร่หลายเพราะสามารถทำได้อย่างรวดเร็ว และเมื่อเทียบกับเทคนิคอื่น ๆ แล้ว เทคนิคนี้ใช้ปริมาณสารตัวอย่างน้อย และมีความไวในการวิเคราะห์สูงสุด สทริปปิงโวลแทมเมตรีประกอบด้วยขั้นตอนที่เรียกว่า การตกสะสม (accumulation หรือ deposition) ซึ่งทำให้โลหะที่เจือจางเกิดการยึดเกาะที่ผิวหน้าขั้วไฟฟ้าใช้งาน ทำให้มีความเข้มข้นมากขึ้น



รูปที่ 2.1 รูปแบบสัญญาณกระตุ้นด้วยวิธีสทริปปิงโวลแทมเมตรี (stripping voltammetry)

เทคนิคสทริปปิงโวลแทมเมตรี ประกอบด้วย 2 ขั้นตอนหลักคือ

- 1) ขั้นตอนการเพิ่มความเข้มข้น (preconcentration step) ขั้นตอนนี้สารที่ต้องการวิเคราะห์จะเข้าไปยึดเกาะที่ผิวหน้าขั้วไฟฟ้า (electrodeposition) ปฏิกิริยาที่เกิดขึ้นเป็นดังสมการ

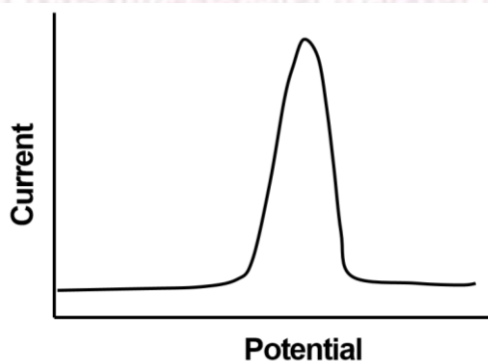


- 2) ขั้นตอนการวัด (stripping step) ขั้นตอนนี้จะให้ศักย์ไฟฟ้าเพื่อทำให้สารที่เกาะอยู่ที่ผิวหน้าขั้วไฟฟ้าหลุดออกมาสู่สารละลาย ปฏิกิริยาที่เกิดขึ้นเป็นดังสมการ



กราฟระหว่างศักย์ไฟฟ้าที่ให้แก่ขั้วไฟฟ้า (E_{applied}) กับกระแสไฟฟ้าที่วัดได้ เรียกว่า สทริปปิงโวลแทมโมแกรม การวัดความสูงของพีกทำได้หลายแบบ เช่น การวัดแบบลากเส้นตรงผ่านฐานหน้า (linear front base line) วัดแบบฐานหน้าถึงฐานหลัง (whole base line) หรือวัดแบบการลากเส้นตรงฐานหลัง (linear rear base line)

สทริปปิงโวลแทมโมแกรมที่ได้สามารถใช้ในคุณภาพวิเคราะห์ (qualitative analysis) และปริมาณวิเคราะห์ (quantitative analysis) โดยคุณภาพวิเคราะห์สามารถดูได้จากตำแหน่งศักย์ไฟฟ้าของพีกที่เกิดปฏิกิริยาเคมีไฟฟ้า ส่วนปริมาณวิเคราะห์ทำได้โดยการวัดความสูงกระแสไฟฟ้าของพีก แล้วนำกระแสไฟฟ้าที่ได้ไปแปรผลเพื่อหาความเข้มข้นของสารตัวอย่าง

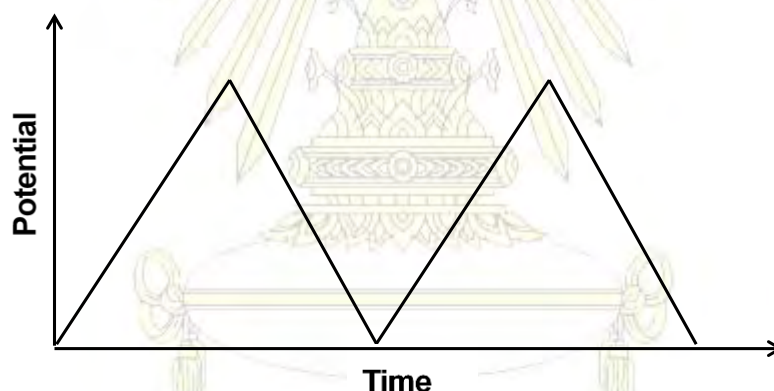


รูปที่ 2.2 โวลแทมโมแกรมที่ได้จากวิธีสทริปปิงโวลแทมเมตรี

2.4 ไชคลิกโวลแทมเมตรี

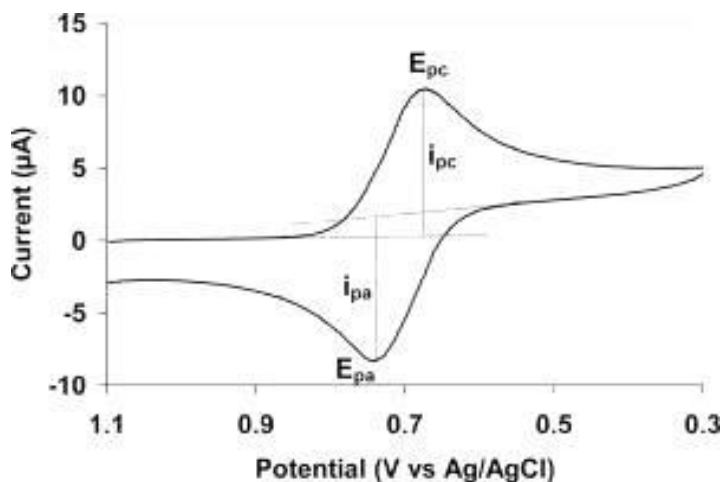
ไชคลิกโวลแทมเมตรี (cyclic voltammetry) เรียกย่อ ๆ ว่า CV เป็นเทคนิคหนึ่งที่น่ามาใช้กันอย่างแพร่หลายในการวิเคราะห์เชิงปริมาณ (quantitative analysis) ทางสาขาเคมีและสาขาอื่น ๆ ที่เกี่ยวข้อง นอกจากนี้ยังมีการนำมาศึกษาในด้านที่เกี่ยวข้องกับกระบวนการรีดอกซ์ (redox process) การเกิดสารตัวกลาง (intermediates) และความคงตัวของสารผลิตภัณฑ์ เป็นต้น

ไชคลิกโวลแทมเมตรีมีการให้ศักย์ไฟฟ้าเป็นไซเคิลที่มีลักษณะเป็นสามเหลี่ยมไปยังขั้วไฟฟ้าที่จุ่มอยู่ในสารละลายที่อยู่นิ่งแล้ววัดกระแสที่เกิดขึ้น ศักย์ที่ขั้วไฟฟ้าใช้งานจะถูกควบคุมเมื่อเทียบกับขั้วไฟฟ้าอ้างอิง ได้แก่ ขั้วไฟฟ้าคาโลเมลอิ่มตัว (saturated calomel electrode: SCE) หรือขั้วไฟฟ้าซิลเวอร์/ซิลเวอร์คลอไรด์ (silver/silver chloride) เมื่อพล็อตกราฟระหว่างศักย์ไฟฟ้า (แกนตั้ง) และเวลาเมื่อมีการให้ศักย์ไฟฟ้าเข้าไปในเซลล์ (แกนนอน) เมื่อเวลาผ่านไปศักย์ที่ให้จะเพิ่มขึ้นเรื่อย ๆ เรียกศักย์ไฟฟ้านี้ว่า การสแกนไปข้างหน้า (forward scan) เมื่อสแกนไปถึงจุดหนึ่งที่กำหนดไว้ แล้วศักย์ไฟฟ้าก็จะเริ่มลดลงด้วยอัตราการสแกนเท่าเดิมเรียกว่า การสแกนย้อนกลับ (reverse scan) จนกระทั่งศักย์ไฟฟ้ามีค่าเท่ากับศักย์ไฟฟ้าเริ่มต้นจะได้



รูปที่ 2.3 รูปแบบของศักย์ไฟฟ้าที่ให้ในไชคลิกโวลแทมเมตรี

ไชคลิกโวลแทมเมแกรมที่วัดได้จากกระแสที่ขั้วไฟฟ้าใช้งานในระหว่างการสแกนศักย์ เมื่อนำมาพล็อตกราฟระหว่างกระแส (แกนตั้ง) กับศักย์ไฟฟ้า (แกนนอน) จะได้ดังรูปที่ 2.4 เมื่อพิจารณาพิกัดด้านบนจากจุดยอดของพีกลากเส้นมาตัดแกนศักย์จะได้ตำแหน่งศักย์ของพีกแอโนดิก (anodic peak potential) ซึ่งมีค่าเป็นบวก ในทำนองเดียวกัน พิกัดด้านล่างจากจุดยอดของพีกลากเส้นมาตัดแกนศักย์จะได้ตำแหน่งศักย์ของพีกแคโทดิก (cathodic peak potential) ส่วนความสูงของพีกด้านบนคือกระแสของพีกแอโนดิก (anodic peak current) และความสูงของพีกด้านล่างเป็นกระแสของพีกแคโทดิก (cathodic peak current) กระแสของพีกจะแปรผันตามความเข้มข้นของสาร และตำแหน่งศักย์ของพีกเป็นค่าเฉพาะของสารแต่ละชนิด เหมือนกับเทคนิคอื่น ๆ



รูปที่ 2.4 ไซคลิกโวลแทมโมแกรม

2.5 ขั้วไฟฟ้า

ขั้วไฟฟ้าเป็นองค์ประกอบหนึ่งในครึ่งเซลล์ไฟฟ้าเคมี ทำหน้าที่เชื่อมต่อระหว่างสารละลายอิเล็กโทรไลต์และอุปกรณ์วัดสัญญาณไฟฟ้า โดยทั่วไป วงจรจำเป็นต้องมีขั้วไฟฟ้าอย่างน้อย 2 ขั้วคือ แอโนดและแคโทด โดยขั้วไฟฟ้าทั้งสองจะมีหน้าที่แตกต่างกัน ขั้วไฟฟ้าหนึ่งใช้เป็นเพียงขั้วที่ต่อให้ครบวงจร เรียกขั้วไฟฟ้านี้ว่า **ขั้วไฟฟ้าอ้างอิง (reference electrode)** ขั้วไฟฟ้านี้ถูกต่อไว้เป็นขั้วไฟฟ้าแอโนด สมบัติเฉพาะตัวของขั้วไฟฟ้าอ้างอิงคือ มีค่าศักย์ไฟฟ้าที่แน่นอน ไม่แปรผันไปตามการเปลี่ยนแปลงของกระแสไฟฟ้าในวงจร ไม่ขึ้นกับส่วนประกอบของสารตัวอย่าง มีส่วนประกอบคงตัวไม่เปลี่ยนแปลงง่าย การเปลี่ยนแปลงใด ๆ ในสารละลายอันเป็นผลจากการเกิดปฏิกิริยาของสารตัวอย่างจะไม่มีผลต่อศักย์ไฟฟ้าของขั้วไฟฟ้าอ้างอิง อีกขั้วไฟฟ้าหนึ่งซึ่งทำหน้าที่เป็นขั้วแคโทดของเซลล์ เรียกว่า **ขั้วไฟฟ้าใช้งาน (working electrode)** หรือ **ขั้วไฟฟ้าชี้บอก (indicating electrode)** มีสมบัติเฉพาะคือ สามารถตอบสนองอย่างรวดเร็วและสม่ำเสมอต่อการเปลี่ยนแปลงความเข้มข้นของไอออนหรือกลุ่มไอออนของสารที่ต้องการวิเคราะห์ ในบางเทคนิคจำเป็นต้องมีขั้วไฟฟ้าต่อเข้ากับวงจร 3 ขั้ว เช่น เทคนิคโวลแทมเมตรี เรียกขั้วไฟฟ้าที่เพิ่มมานี้ว่า **ขั้วไฟฟ้าช่วย (auxiliary electrode)** หรือ **ขั้วไฟฟาร่วม (counter electrode)** ขั้วไฟฟ้าช่วยนี้มีหน้าที่ช่วยในการส่งผ่านอิเล็กตรอนหรือกระแสไฟฟ้าของขั้วไฟฟ้าใช้งานโดยไม่ต้องผ่านขั้วไฟฟ้าอ้างอิงของวงจร โดยขั้วไฟฟ้าช่วยไม่มีส่วนเกี่ยวข้องหรือไม่มีการเปลี่ยนแปลงใด ๆ เกิดขึ้นในขณะเกิดปฏิกิริยาของสารตัวอย่างระหว่างการวิเคราะห์ ขั้วไฟฟ้าช่วยจึงมักมีพื้นผิวมาก ๆ เพื่อให้หน้าไฟฟ้ได้ดี ขั้วไฟฟ้าทั้งสามคือ ขั้วไฟฟ้าอ้างอิง ขั้วไฟฟ้าใช้งานและขั้วไฟฟ้าช่วยทำหน้าที่ในวงจรเซลล์ไฟฟ้าเคมีต่างกัน เนื่องจากส่วนประกอบที่ใช้ในการทำขั้วไฟฟ้าไม่เหมือนกัน ขึ้นอยู่กับวัตถุประสงค์ของการใช้งาน

2.6 ขั้วไฟฟ้าใช้งาน

ในกลุ่มวิเคราะห์โวลแทมเมตรี ขั้วไฟฟ้าใช้งานจะแตกต่างจากการวิเคราะห์อื่น ๆ เพราะขนาดของขั้วไฟฟ้าต้องเล็ก ซึ่งมักเรียกว่า ขั้วไฟฟ้าจุลภาค ทั้งนี้เพื่อให้พื้นที่ผิวของขั้วไฟฟ้าที่สัมผัสกับสารตัวอย่างมีน้อย เกิดภาวะโพลาไรเซชันตลอดเวลา ขั้วไฟฟ้าจุลภาคที่ใช้กันในทางปฏิบัติมักเป็นโลหะเฉื่อย เช่น แพลทินัม ทอง ไพลโรไลต์แกรไฟต์ กลาสซีคาร์บอน และปรอท รูปแบบของขั้วไฟฟ้าที่ผลิตแตกต่างกันไปขึ้นกับชนิดของส่วนประกอบของขั้วไฟฟ้าที่กะทัดรัด เหมาะแก่การใช้งานวิเคราะห์ทั่วไปหรือการนำไปประยุกต์กับการวิเคราะห์อื่น ๆ เช่น ขั้วไฟฟ้าที่ส่วนประกอบอัดเป็นแผ่นแบนเล็ก ๆ อาจเป็นแพลทินัมหรือคาร์บอน โดยแผ่นที่ทำหน้าที่เป็นขั้วไฟฟ้านี้ถูกฝังอยู่ในแท่งวัตถุที่ไม่นำไฟฟ้า เช่น เทฟลอน และมีลวดตะกั่วเป็นตัวนำไฟฟ้าเสียบติดไว้เพื่อต่อกับวงจรของเซลล์ไฟฟ้าเคมี ปรอทสามารถนำมาทำเป็นขั้วไฟฟ้าแบบแผ่นได้ โดยการทำเป็นแผ่นฟิล์มเคลือบแผ่นโลหะ

ปัจจุบันนี้เทคนิคสทริปปิงโวลแทมเมตรี ถือเป็นเทคนิควิเคราะห์ที่มีประสิทธิภาพในการตรวจวิเคราะห์โลหะปริมาณน้อยมากในตัวอย่างทางสิ่งแวดล้อม ทางคลินิก และทางอุตสาหกรรม ขั้วไฟฟ้าใช้งานที่นิยมใช้กันมาแต่เดิมสำหรับวิธีวิเคราะห์ด้วยแอนดิกสทริปปิงโวลแทมเมตรี ได้แก่ ขั้วไฟฟ้าเคลือบฟิล์มปรอท (mercury film electrode) และขั้วไฟฟ้าหยดปรอทแขวนตัว (hanging mercury drop electrode) ทั้งนี้เนื่องจากสมบัติของปรอทที่มีศักย์เกินตัวของไฮโดรเจนสูงมาก ทำให้ปรอทมีขีดจำกัดศักย์ด้านลบได้ถึง -2.0 โวลต์ หรือมากกว่า แต่ปรอทมีความเป็นพิษและอันตรายสูง ดังนั้นผู้ใช้งานจึงมีความเสี่ยงที่จะได้รับพิษของปรอทเพิ่มขึ้น ทั้งจากการใช้งาน การควบคุมจัดการ และการกำจัดของเสียจากปรอทที่เกิดขึ้น อีกทั้งปัจจุบันเทคนิควิธีการตรวจวิเคราะห์ก็มีทิศทางไปในลักษณะที่เป็นมิตรกับสิ่งแวดล้อมมากขึ้น ทำให้เกิดการพัฒนาและค้นคว้าเพื่อหาวัสดุที่จะนำมาใช้เป็นขั้วไฟฟ้าทางเลือกซึ่งมีความแม่นยำและเที่ยง รวมถึงไม่ก่อให้เกิดพิษต่อสิ่งแวดล้อม ได้แก่ ขั้วไฟฟ้าดัดแปรเคมี (chemically modified electrode) ขั้วไฟฟ้าฟิล์มบิสมัท (bismuth film electrode) และขั้วไฟฟ้าคาร์บอนพิมพ์สกรีน (screen-printed electrode) เพื่อนำมาใช้แทนขั้วไฟฟ้าปรอท

2.7 ขั้วไฟฟ้าคาร์บอนพิมพ์สกรีน

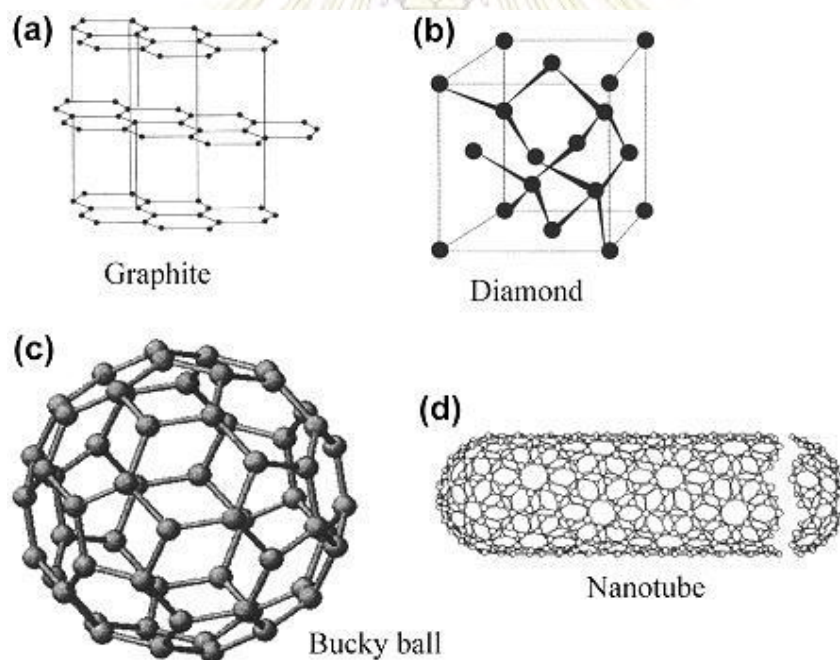
ธาตุคาร์บอนจัดเป็นธาตุองค์ประกอบหลักของสิ่งมีชีวิต ธาตุคาร์บอนมีหลายอัญรูป แต่อัญรูปหลักๆ ที่ส่วนใหญ่รู้จักกันเป็นอย่างดีและถูกนำมาใช้ในชีวิตประจำวันเป็นรูปปกติคือ ถ่าน หรือแกรไฟต์ และเพชร แม้จะประกอบขึ้นจากอะตอมของธาตุคาร์บอนเหมือนกัน แต่มีการจัดเรียงตัวที่ต่างกัน ส่งผลให้สมบัติของอัญรูปทั้งสองนี้แตกต่างกันด้วย

ปกติอะตอมของคาร์บอนจะสามารถเกิดพันธะได้ถึง 4 พันธะ โดยแกรไฟต์นั้น พันธะระหว่างอะตอมคาร์บอนในชั้นเดียวกันจะเกิดพันธะโคเวเลนต์ ซึ่งมีความแข็งแรงสูงและมีระยะสั้นมากคือ 142 พิโกเมตร แต่ระหว่างชั้นเชื่อมกันด้วยแรงแวนเดอร์วาลส์ซึ่งมีความอ่อนแอและมีความยาวถึง 335 พิโกเมตร ทำให้แกรไฟต์มีความเปราะมาก เพราะพันธะระหว่างชั้นไม่แข็งแรง รูปทรงการสร้างพันธะในชั้นเดียวกันเป็นแบบ hexagonal สมบัติของแกรไฟต์คือ มีความสามารถในการนำไฟฟ้าตาม

แนวระนาบของชั้นเนื่องจากมีอิเล็กตรอนอิสระที่ไม่เกิดพันธะ ทำให้สามารถนำไฟฟ้า แกรไฟต์หลอมเหลวที่อุณหภูมิ 3,652–3,697 °C และจุดเดือดที่อุณหภูมิ 4,200 °C แกรไฟต์จัดเป็นฉนวนกันความร้อนได้ดี มีความหนาแน่น 2.27 g/cm³

เพชรเป็นอีกรูปหนึ่งของคาร์บอนและเป็นผลึกโคเวเลนต์ ในโครงสร้างของเพชร คาร์บอนแต่ละอะตอมใช้เวเลนซ์อิเล็กตรอนทั้งหมดสร้างพันธะโคเวเลนต์กับอะตอมอีก 4 อะตอมที่อยู่ล้อมรอบ เพชรจึงไม่นำไฟฟ้า มีความยาวพันธะ C–C 154 พิโกเมตร การจัดอะตอมในผลึกเพชรคล้ายตาข่ายโยกันทั้ง 3 มิติ เป็นผลให้อะตอมของคาร์บอนยึดกันไว้นาน เพชรจึงมีความแข็งสูงที่สุด โดยมีจุดหลอมเหลวสูงถึง 3550 °C และมีจุดเดือดสูงมากถึง 4830 °C

ฟูลเลอร์ีน (Fullerene) เป็นอีกรูปหนึ่งของคาร์บอน ฟูลเลอร์ีนประกอบด้วยโมเลกุลของธาตุคาร์บอนทั้งหมด โดยมีรูปทรงเป็นทรงกลมกลวง ทรงรี หรือท่อ ฟูลเลอร์ีนทรงกลมนั้นบางครั้งเรียกว่า "บั๊กกี้บอล" (buckyballs) รูป C₆₀ นั้นมักจะถูกเปรียบเทียบกับลูกฟุตบอลสีขาวดำ สำหรับฟูลเลอร์ีนทรงกระบอกนั้นเรียกว่า "บั๊กกี้ทิวบ์" หรือ "คาร์บอนนาโนทิวบ์" ฟูลเลอร์ีนมีโครงสร้างคล้ายกับแกรไฟต์ ซึ่งประกอบด้วยแผ่นวงแหวนหกเหลี่ยม แต่มีวงแหวนห้าเหลี่ยม (หรือบางครั้งก็เป็นวงแหวนเจ็ดเหลี่ยม) กั้นมิให้แผ่นวงแหวนนั้นกลายเป็นแผ่นเรียบ

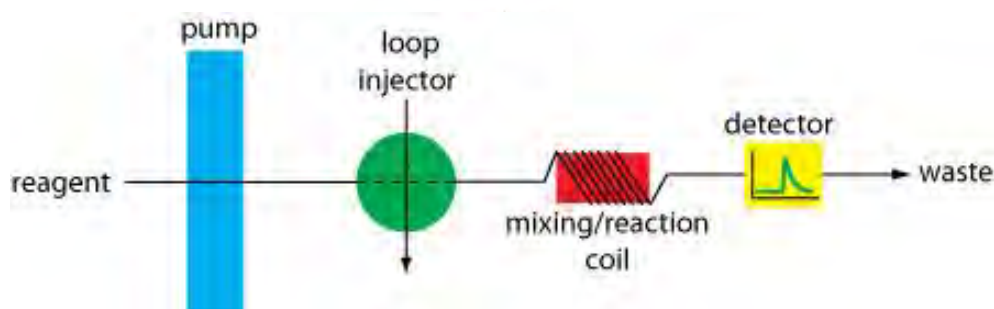


รูปที่ 2.5 โครงสร้างของคาร์บอนลักษณะต่าง ๆ

2.8 การวิเคราะห์แบบโพลาร์อินเจกชัน

การวิเคราะห์แบบโพลาร์อินเจกชัน เริ่มต้นจากแนวคิดการฉีดสารตัวอย่างเข้าไปในกระแสไหลของเทคนิคแก๊สโครมาโทกราฟี (gas chromatography) แล้วจึงพัฒนาเป็นการวิเคราะห์แบบไม่ต่อเนื่อง (batch method) โดยพองอากาศ ที่คั่นอยู่เปรียบได้กับผนังของบีกเกอร์ ดังนั้นจึงเปรียบเสมือนบีกเกอร์หลาย ๆ ใบ ที่บรรจุสารต่าง ๆ อยู่ในท่อ ปฏิกริยาเคมีต่าง ๆ

จะต้องเกิดได้อย่างสมบูรณ์ในบีกเกอร์ แล้วจึงตรวจวัด จากเทคนิคดังกล่าวนี้ เมื่อการแยกฟองอากาศออกไปจึงกลายเป็นระบบการวิเคราะห์แบบโฟลว์อินเจกชัน FIA เป็นเทคนิคการวิเคราะห์ทางเคมีง่าย ๆ ซึ่งอาศัยหลักการฉีดสารละลายตัวอย่างปริมาณน้อย ๆ ในระดับไมโครลิตรเข้าสู่กระแสตัวพาซึ่งอาจเป็นรีเอเจนต์ ตัวทำละลาย หรือสารละลายบัฟเฟอร์ ซึ่งไหลอย่างต่อเนื่องภายในระบบท่อ (ที่มีเส้นผ่านศูนย์กลางขนาดเล็ก) ด้วยอัตราการไหลที่เหมาะสมและคงที่ การพาสารเหล่านี้เข้าสู่ระบบจะอาศัยปั๊ม (peristaltic pump) สารตัวอย่างกับรีเอเจนต์จะทำปฏิกิริยาเคมีกันที่ mixing coil แล้วไหลเข้าสู่ flow cell ของเครื่องตรวจวัด (detector) ชนิดใด ๆ

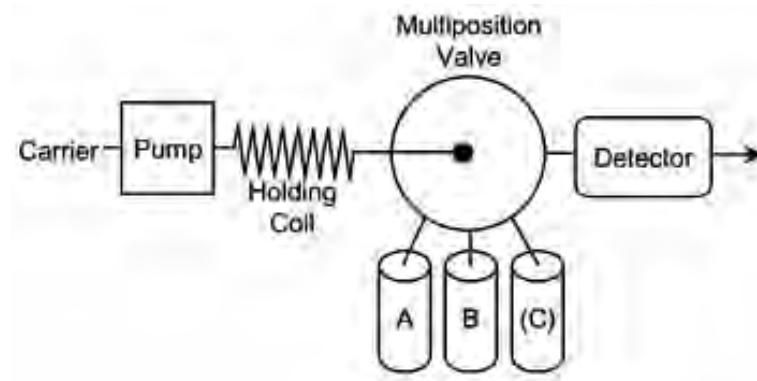


รูปที่ 2.6 ระบบการวิเคราะห์แบบโฟลว์อินเจกชัน (flow injection analysis, FIA)

2.9 การวิเคราะห์แบบซีควีนเชียลอินเจกชัน

การวิเคราะห์แบบซีควีนเชียลอินเจกชัน (sequential injection analysis, SIA) เป็นวิธีการใหม่เพื่อใช้เป็นเครื่องมือสำหรับการขนถ่ายตัวอย่างและเตรียมตัวอย่างขั้นต้นก่อนการวิเคราะห์แบบออนไลน์ เป็นเทคนิคที่เกี่ยวข้องกับการวิเคราะห์บนพื้นฐานของการไหล (flow-based analysis) โดยจะมีลักษณะเด่นที่พัฒนาเพิ่มจาก FIA เพื่อปรับปรุงระบบให้มีประสิทธิภาพมากขึ้น กล่าวคือเทคนิค SIA จะมีการไหลของกระแสในทิศทางที่ไม่ต่อเนื่องกัน (bidirection discontinuous flow) การใช้เทคนิค SIA ช่วยให้การปฏิบัติงานง่ายขึ้นเพราะทำงานเป็นระบบอัตโนมัติควบคุมด้วยคอมพิวเตอร์ จึงเหมาะสำหรับตัวอย่างที่ต้องทำหลายขั้นตอน

ข้อดีของ SIA คือมีความเที่ยง เครื่องมือมีขนาดเล็ก ทำงานได้สะดวก รวดเร็ว และลดค่าใช้จ่าย ประหยัดการใช้สารเคมี เหมาะสมกับการใช้แยกสารและทำให้สารละลายมีความเข้มข้นสูงขึ้น สามารถกำหนดการทำงานของสารตัวอย่างได้หลากหลาย อีกทั้งยังช่วยลดความเสี่ยงในการสัมผัสสารเคมีของผู้ใช้งาน จึงทำให้เกิดอันตรายทางสุขภาพน้อยกว่า เทคนิคนี้มีผู้ใช้กันมากในการวิเคราะห์ในสาขาวิชาต่าง ๆ เนื่องจากเป็นเทคนิคที่ให้ความแม่นยำและความเที่ยงสูง ให้ข้อมูลที่เชื่อถือได้ ประหยัดต้นทุน ใช้สารเคมีในปริมาณน้อย สามารถทำให้เป็นอัตโนมัติได้ง่าย และสะดวกในการวิเคราะห์ตัวอย่างจำนวนมากแบบต่อเนื่อง



รูปที่ 2.7 ระบบการวิเคราะห์แบบซีเควินเซียลอินเจกชัน (sequential injection analysis, SIA)



บทที่ 3

การทดลอง

3.1 เครื่องมือที่ใช้ในการทดลอง

- 1) เครื่อง Potentiostat (Autolab PGSTAT101, Eco Chemie)
- 2) Flow cell
- 3) ขั้วไฟฟ้าคาร์บอนพิมพ์สกรีน (screen-printed carbon electrode)
- 4) ขั้วไฟฟ้าอ้างอิงซิลเวอร์/ซิลเวอร์คลอไรด์ (Ag/AgCl electrode)
- 5) ระบบซีเคิร์นเซี่ยลอินเจ็กชัน MGC Auto-Pret MP-0145 (MGC, Japan) ประกอบด้วย
 - 5.1) Syringe pump (Hamilton, USA)
 - 5.2) 8-port selection valve พร้อมโมดูลควบคุม (Hamilton, USA)
 - 5.3) 6-port switching valve พร้อมโมดูลควบคุม (Hamilton, USA) (ส่วนนี้ไม่ได้ใช้งาน)
 - 5.4) PTFE tubing
- 6) คอมพิวเตอร์พร้อมโปรแกรม PSTAT สำหรับควบคุมเครื่อง Potentiostat และโปรแกรม SIA MPV 2 Autopret 1P2V สำหรับควบคุมระบบ SIA
- 7) เครื่องชั่งไฟฟ้าทศนิยม 4 ตำแหน่ง (AT 200, Mettler Toledo, Thailand)
- 8) ไมโครปิเปตขนาดต่าง ๆ (Eppendorf, Germany)

3.2 สารเคมี

- 1) Nickel sulfate hexahydrate, $\text{NiSO}_4 \cdot 6\text{H}_2\text{O}$ (Merck, Germany)
- 2) Sodium chloride (Carlo Erba, France)
- 3) Sodium hydroxide (Merck, Germany)
- 4) Hydrochloric acid, fuming 37% w/w (Merck, Germany)
- 5) น้ำบริสุทธิ์ ความต้านทาน $\geq 18.3 \text{ M}\Omega \text{ cm}^{-1}$ (Milli-Q Ultrapure Water Purification Systems, Millipore, USA)

3.3 การเตรียมสารละลาย

3.3.1 สารละลายอิเล็กโทรไลต์โซเดียมคลอไรด์ (NaCl) ความเข้มข้น 0.6 โมลาร์

โซเดียมคลอไรด์ (มวลโมเลกุล 58.44 g/mol) น้ำหนัก 34.8 กรัม ใส่ในขวดกำหนดปริมาตรขนาด 1000 มิลลิลิตร ละลายปรับปริมาตรด้วยน้ำบริสุทธิ์

3.3.2 สารละลายโซเดียมไฮดรอกไซด์ ความเข้มข้น 1 โมลาร์

ซั่งโซเดียมไฮดรอกไซด์ (มวลโมเลกุล 40.0 g/mol) น้ำหนัก 20.00 กรัม ใส่ในขวดกำหนดปริมาตรขนาด 500 มิลลิลิตร แล้วปรับปริมาตรด้วยน้ำบริสุทธิ์

3.3.3 สารละลายกรดไฮโดรคลอริก ความเข้มข้น 1 โมลาร์

ดวงสารละลายกรดไฮโดรคลอริกเข้มข้น (ความเข้มข้น 37% โดยมวล) 41.5 มิลลิลิตร ใส่ในขวดกำหนดปริมาตรขนาด 500 มิลลิลิตร แล้วปรับปริมาตรด้วยน้ำบริสุทธิ์

3.3.4 สารละลายมาตรฐานนิกเกิล(II) ความเข้มข้น 1000 มิลลิกรัมต่อลิตร

ซั่งสารมาตรฐานนิกเกิลไนเตรตเฮกซะไฮเดรต ($\text{NiSO}_4 \cdot 6\text{H}_2\text{O}$, $m_w = 262.85 \text{ g/mol}$) 2.63 กรัม ใส่ในขวดกำหนดปริมาตรขนาด 100 มิลลิลิตร ละลายและปรับปริมาตรด้วยสารละลายโซเดียมคลอไรด์ ความเข้มข้น 0.6 โมลาร์

3.3.5 สารละลายมาตรฐานนิกเกิล(II) ความเข้มข้นต่าง ๆ

ปิเปตสารละลายมาตรฐานนิกเกิล(II) ใส่ในขวดกำหนดปริมาตร แล้วปรับปริมาตรด้วยสารละลายโซเดียมคลอไรด์ ความเข้มข้น 0.6 โมลาร์ ความเข้มข้นของสารละลายมาตรฐาน นิกเกิล (II) ที่เตรียม ปริมาตรของสารละลายมาตรฐาน นิกเกิล(II) ความเข้มข้น 1000 มิลลิกรัมต่อลิตร ที่ใช้ และปริมาตรรวมของสารละลายที่เตรียม แสดงดังตารางที่ 3.1

ตารางที่ 3.1 การเตรียมสารละลายมาตรฐานนิกเกิล(II) ที่ความเข้มข้นต่าง ๆ

ความเข้มข้นสารละลายมาตรฐานนิกเกิล(II) ที่เตรียม (มิลลิกรัมต่อลิตร)	ปริมาตรสารละลายมาตรฐานนิกเกิล(II) เข้มข้น 1000 มิลลิกรัมต่อลิตร ที่ใช้ (ไมโครลิตร)	ปริมาตรรวมของสารละลายที่เตรียม (มิลลิลิตร)
0.10	10	100
0.50	50	100
1.0	100	100
2.5	250	100
5.0	500	100

3.4 การสร้างขั้วไฟฟ้าคาร์บอนพิมพ์สกรีน

3.4.1 เครื่องมือและอุปกรณ์

- 1) บล็อกสกรีนแม่แบบ
- 2) แผ่นยางปาด
- 3) แผ่นพลาสติกพอลิไวนิลคลอไรด์ (PVC)
- 4) เตาอบ

3.4.2 สารเคมี

- 1) หมึกคาร์บอน (carbon ink); (Acheson, USA)
- 2) acetone (Merck, Germany)
- 3) ethanol (Merck, Germany)

3.4.3 การพิมพ์สกรีนขั้วไฟฟ้า

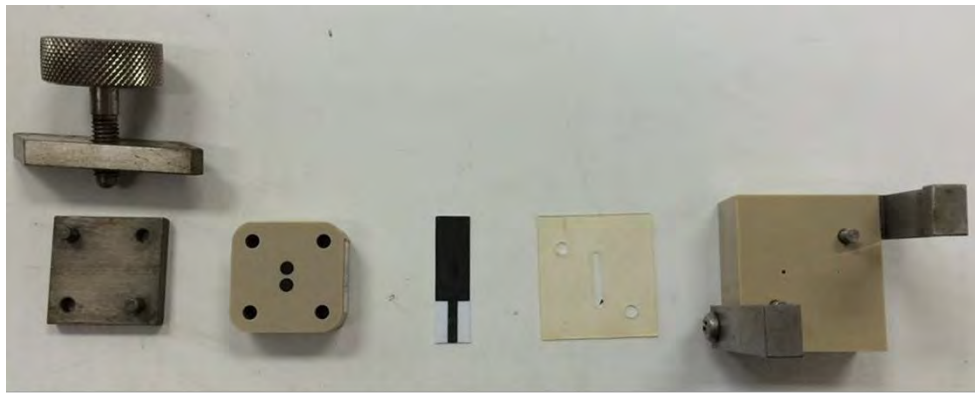
สร้างขั้วไฟฟ้าคาร์บอนพิมพ์สกรีนเป็นขั้วไฟฟ้าใช้งาน โดยมีขั้นตอนดังต่อไปนี้

- 1) ตัดแผ่นพลาสติกพอลิไวนิลคลอไรด์ (PVC) ให้ได้ขนาดตามต้องการเพื่อใช้เป็นซับสเตรต
- 2) เช็ดทำความสะอาดแผ่น PVC ที่ตัดแล้วด้วยเอทานอล
- 3) ทำความสะอาดบล็อกสกรีนแม่แบบและแผ่นยางปาดด้วยเอซีโตนและเอทานอล ตามลำดับ
- 4) วางบล็อกสกรีนแม่แบบสำหรับแถบคาร์บอนลงบนแผ่นซับสเตรต PVC ตามแบบที่ตัดไว้ให้แนบสนิท
- 5) ใช้หมึกคาร์บอนเป็นหมึกพิมพ์โดยปาดหมึกผ่านสกรีนแม่แบบ 2-3 ครั้ง แล้วยกบล็อกสกรีนแม่แบบออก
- 6) นำแผ่นซับสเตรต PVC ที่พิมพ์หมึกแล้วไปอบที่อุณหภูมิ 55 องศาเซลเซียส เป็นเวลา 1 ชั่วโมง
- 7) ทำความสะอาดบล็อกสกรีนแม่แบบและแผ่นยางปาดอีกครั้ง แล้วพิมพ์สกรีนตามข้อ 4-6 โดยพิมพ์ให้ทับตำแหน่งเดิมเพื่อให้หมึกติดชัดเจนขึ้น
- 8) เก็บรักษาขั้วไฟฟ้าคาร์บอนพิมพ์สกรีนที่ได้ไว้ในตู้ดูดความชื้น

3.5 การเตรียมเซลล์

3.5.1 การเตรียมโพลีเมอร์เซลล์สำหรับการวิเคราะห์ด้วยเทคนิคโวลแทมเมตรี

อุปกรณ์ที่ใช้ในการเตรียมโพลีเมอร์เซลล์สำหรับการวิเคราะห์ด้วยเทคนิคโวลแทมเมตรีแสดงดังรูปที่ 3.1

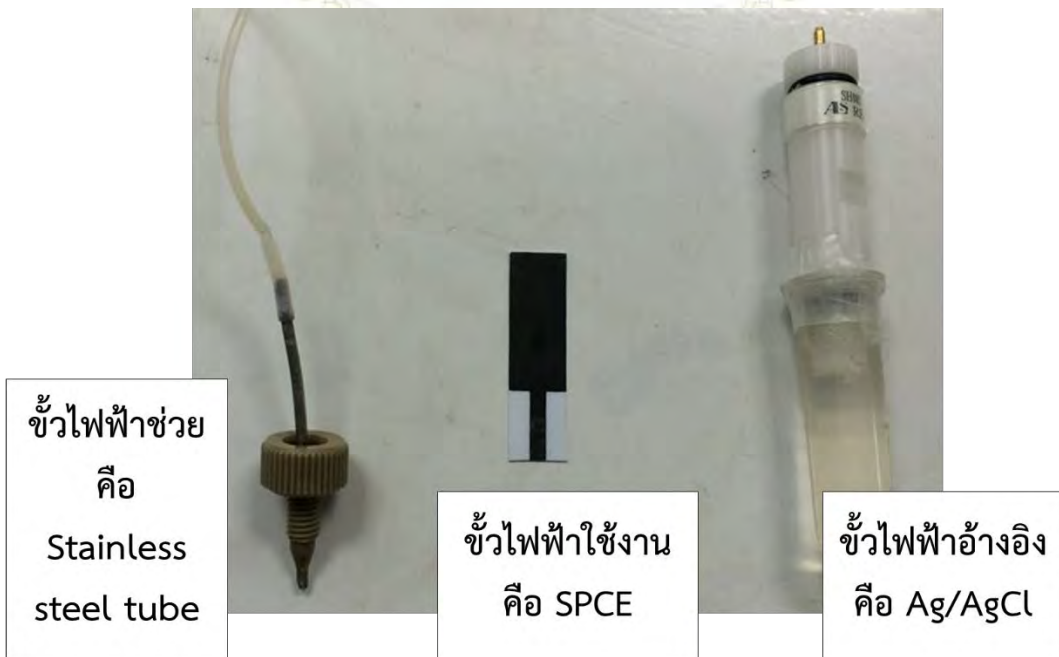


ตัวล็อก ตัวยึดขั้ว ขั้วไฟฟ้าใช้งาน Silicon gasket Flow cell

รูปที่ 3.1 (ก) อุปกรณ์ที่ใช้ในการเตรียมโพลวีเซลล์สำหรับการวิเคราะห์ด้วยเทคนิคโวลแทมเมตรี



รูปที่ 3.1 (ข) ขั้วไฟฟ้าคาร์บอนพิมพ์สกรีน (Screen-printed carbon electrode, SPCE)



ขั้วไฟฟ้าช่วย
คือ
Stainless
steel tube

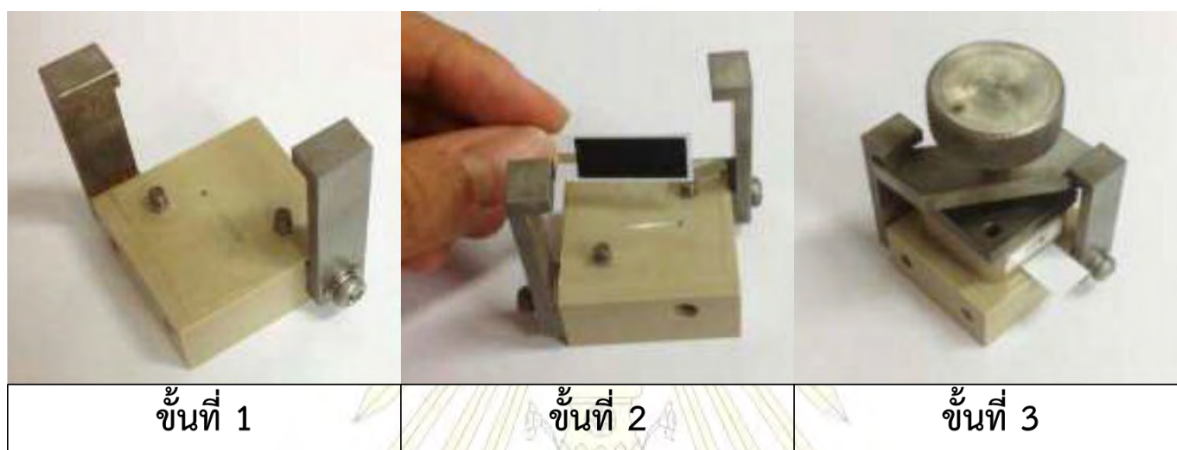
ขั้วไฟฟ้าใช้งาน
คือ SPCE

ขั้วไฟฟ้าอ้างอิง
คือ Ag/AgCl

รูปที่ 3.1 (ค) ขั้วไฟฟ้าทั้งสามชนิดที่ใช้ในการวิเคราะห์ด้วยเทคนิคโวลแทมเมตรี

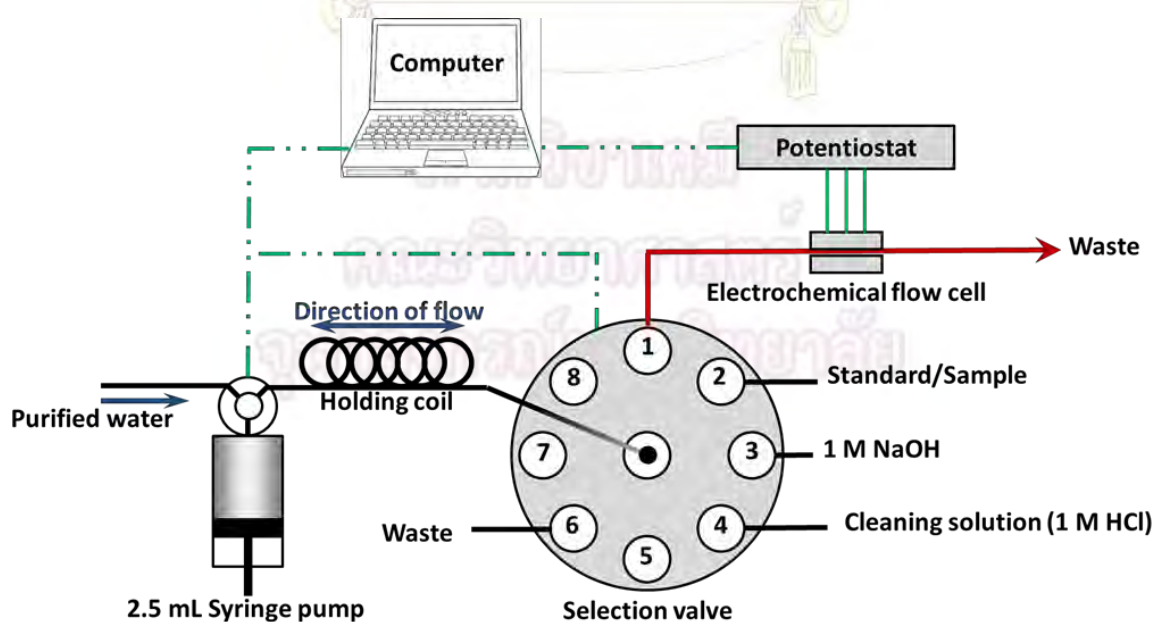
ขั้นตอนการประกอบโพลีเซลล์สำหรับการวิเคราะห์ด้วยเทคนิคโวลแทมเมตรี แสดงดังรูปที่ 3.2 ดังนี้

- 1) วางแผ่น Silicon gasket ลงบน Electrode block ซึ่งต้องวางให้ช่องตรงกลางครอบอยู่ระหว่างช่องสารเข้าและออก
- 2) วางขั้วไฟฟ้าใช้งานปิดช่องว่างของ Silicon gasket
- 3) วางตัวยึดขั้วและตัวล็อก เพื่อให้ขั้วไฟฟ้าใช้งานไม่ขยับเขยื้อน และป้องกันการรั่วซึมของสารละลายที่ผ่านเข้ามาในโพลีเซลล์



รูปที่ 3.2 ขั้นตอนการประกอบโพลีเซลล์

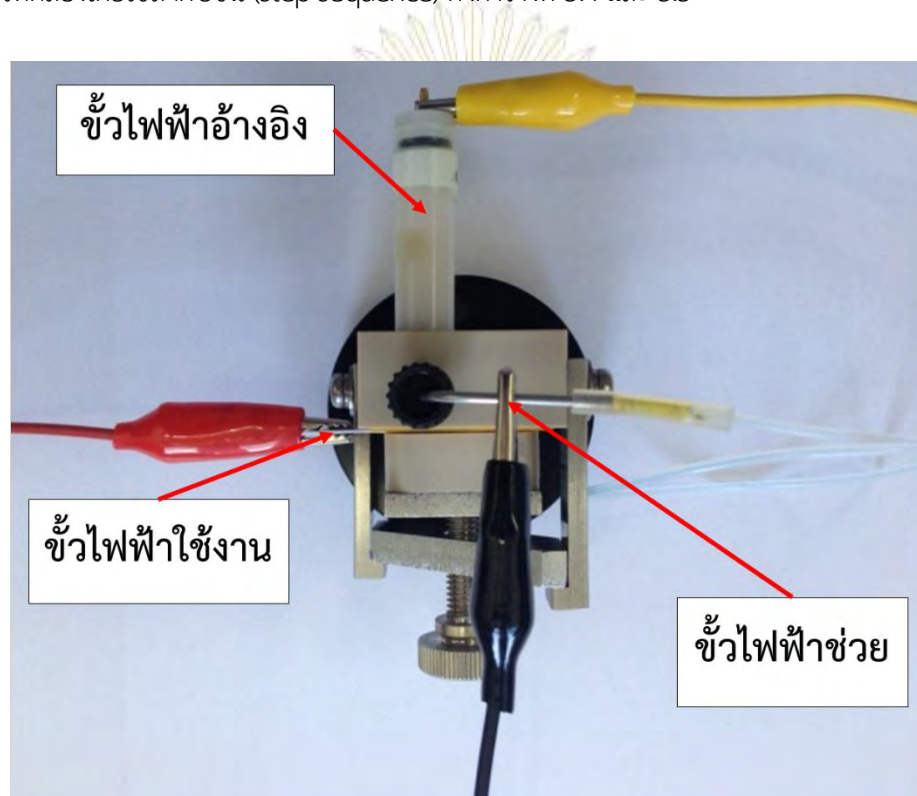
3.5.2 การจัดการเครื่องมือสำหรับการวิเคราะห์ด้วยเทคนิคซีเควินเจ็ลอินเจ็กชัน



รูปที่ 3.3 แผนภาพระบบการวิเคราะห์ซีเควินเจ็ลอินเจ็กชัน (sequential injection analysis, SIA)

3.6 การให้ศักย์ไฟฟ้าและการวัดสัญญาณกระแสไฟฟ้าโดยเทคนิคโวลแทมเมตรี

- 1) เปิดเครื่อง Potentiostat และเครื่องคอมพิวเตอร์ควบคุม
- 2) นำสายไฟของเครื่อง Potentiostat สำหรับขั้วไฟฟ้าใช้งานต่อกับขั้วไฟฟ้าคาร์บอนพิมพ์สกรีน สายไฟของขั้วไฟฟ้าอ้างอิงต่อบริเวณลวดทองแดงของขั้วไฟฟ้าอ้างอิง Ag/AgCl และสายไฟสำหรับขั้วไฟฟ้าช่วยต่อกับท่อสแตนเลสสตีล ซึ่งใช้เป็นท่อนำสารออกจากโพลีเซลล์และขั้วไฟฟ้าช่วย ดังรูปที่ 3.4
- 3) ตั้งค่าพารามิเตอร์ต่าง ๆ ดังตารางที่ 3.2 และ 3.3
- 4) ทำการทดลองโดยใช้ลำดับขั้น (step sequence) ดังตารางที่ 3.4 และ 3.5



รูปที่ 3.4 การเชื่อมต่อขั้วไฟฟ้าทั้งสามชนิดกับเครื่อง Potentiostat

ตารางที่ 3.2 พารามิเตอร์ในการวัดสัญญาณกระแสไฟฟ้าโดยใช้ไซคลิกโวลแทมเมตรี

กระบวนการ	การตั้งค่า
ศักย์ไฟฟ้าเริ่มต้น (initial potential)	0.0 V
ศักย์ไฟฟ้าสิ้นสุด (end potential)	+0.6 V
ศักย์ไฟฟ้าแต่ละขั้น (step potential)	1.0 mV
อัตราการเปลี่ยนศักย์ไฟฟ้า (scan rate)	0.1 V s ⁻¹

ตารางที่ 3.3 พารามิเตอร์ในการวัดสัญญาณกระแสไฟฟ้าโดยใช้สแควร์เวฟโวลแทมเมตรี

กระบวนการ	การตั้งค่า
ศักย์ไฟฟ้าเริ่มต้น (initial potential)	0.0 V
ศักย์ไฟฟ้าสิ้นสุด (end potential)	+0.6 V
ความถี่ (frequency)	25 Hz
แอมพลิจูด (amplitude)	0.02 V
อัตราการเปลี่ยนศักย์ไฟฟ้า (scan rate)	0.125 V s ⁻¹

ตารางที่ 3.4 ลำดับขั้น (Step sequence) สำหรับการหาปริมาณ Ni(II) ด้วยซีเควินเซียลอินเจกชัน-ไซคลิกโวลแทมเมตรี (sequential injection analysis-cyclic voltammetry, SIA-CV)

Step	Description	SIA status				Potentiostat status	Time (s)
		Pump status*	Selection valve position	Volume (μL)	Flow rate (μL/s)		
1	Aspirate standard/sample solution into holding coil	Asp	2	1000	100	Standby	18
2	Electrodeposit Ni on SPCE	Dis	1	1000	10	-1.5 V	100
3	Aspirate precipitating reagent (1 M NaOH)	Asp	3	1000	100	Standby	21
4	Strip out Ni(II) and then precipitate Ni(OH) ₂ on SPCE	Dis	1	1000	10	+0.7 V	100
5	CV measurement (step potential = 1 mV; scan rate = 0.1 V s ⁻¹)	-	-	-	-	Scan from 0.0 to +0.6 V	36
6	Aspirate cleaning solution	Asp	4	2500	100	Standby	34
7	Clean electrode	Dis	1	2500	50	+0.8 V	50
Total time of analysis (s)							359

*Asp = Aspirate (จังหวะสูบ), Dis = Dispense (จังหวะผลัก)

ตารางที่ 3.5 ลำดับขั้น (Step sequence) สำหรับการหาปริมาณ Ni(II) ด้วยซีเควินเซียอินเจกชัน-สแควร์เวฟโวลแทมเมตรี (sequential injection analysis-square wave voltammetry, SIA-SWW)

Step	Description	SIA status				Potentiostat status	Time (s)
		Pump status*	Selection valve position	Volume (μL)	Flow rate ($\mu\text{L/s}$)		
1	Aspirate standard/sample solution into holding coil	Asp	2	1000	100	Standby	18
2	Electrodeposit Ni on SPCE	Dis	1	1000	10	-1.5 V	100
3	Aspirate precipitating reagent (1 M NaOH)	Asp	3	1000	100	Standby	21
4	Strip out Ni(II) and then precipitate Ni(OH) ₂ on SPCE	Dis	1	1000	10	+0.7 V	100
5	SWV measurement (step potential = 5 mV; amplitude = 20 mV; frequency = 25 Hz)	-	-	-	-	Scan from 0.0 to +0.6 V	10
6	Aspirate cleaning solution	Asp	4	2500	100	Standby	34
7	Clean electrode	Dis	1	2500	50	+0.8 V	50
Total time of analysis (s)							333

* Asp = Aspirate (จิ้งหะสูบ), Dis = Dispense (จิ้งหะผลัก)

จากตารางที่ 3.4 และตารางที่ 3.5 สามารถอธิบายลำดับขั้นตอนได้ ดังต่อไปนี้

- 1) ทำความสะอาด holding coil โดยดูดน้ำ Milli-Q ผลักเข้าไปใน holding coil แล้วปล่อยออก จากนั้นทำความสะอาดขั้วไฟฟ้าใช้งานโดยดูดสารละลายกรดไฮโดรคลอริก (HCl) เข้มข้น 1.0 M เข้าไปใน holding coil แล้วผลักเข้าไปยังโพล์เซลล์
- 2) ดูดสารละลายนิกเกิล(II) ในสารละลายโซเดียมคลอไรด์เข้มข้น 0.6 โมลาร์ เข้าไปใน holding coil แล้วผลักเข้าไปยังโพล์เซลล์พร้อมกับให้ศักย์ไฟฟ้า -1.5 โวลต์ เป็นเวลา 100 วินาที เพื่อรีดิวซ์ Ni(II) ให้เป็น Ni(s) ตกสะสมบนพื้นผิวของขั้วไฟฟ้าใช้งาน



- 3) ดูดสารละลาย NaOH 1 โมลาร์ เข้าไปใน holding coil แล้วผลักเข้าไปยังโพล์เซลล์พร้อมกับให้ศักย์ไฟฟ้า +0.7 โวลต์ เป็นเวลา 100 วินาที เพื่อออกซิไดส์ Ni ที่ตกสะสมบนพื้นผิวของขั้วไฟฟ้าใช้งานให้เป็น Ni(OH)₂ และ NiOOH



4) วัดสัญญาณกระแสไฟฟ้า

4.1) วัดด้วยเทคนิคไซคลิกโวลแทมเมตรี โดยใช้พารามิเตอร์ตามตารางที่ 3.2 คือ สแกนศักย์ไฟฟ้าในช่วง 0.0 ถึง +0.6 โวลต์ ศักย์ไฟฟ้าแต่ละขั้น (step potential) 1 มิลลิโวลต์ และอัตราการเปลี่ยนศักย์ไฟฟ้า (scan rate) 0.1 โวลต์ต่อวินาที

4.2) วัดด้วยเทคนิคสแควร์เวฟโวลแทมเมตรี โดยใช้พารามิเตอร์ตามตารางที่ 3.3 คือ สแกนศักย์ไฟฟ้าในช่วง 0.0 ถึง +0.6 โวลต์ ความถี่ (frequency) 25 เฮิรตซ์ แอมพลิจูด (amplitude) 0.02 โวลต์ และอัตราการเปลี่ยนศักย์ไฟฟ้า (scan rate) 0.125 โวลต์ต่อวินาที

5) ดูดสารละลายกรดไฮโดรคลอริก (HCl) 1.0 โมลาร์ 2500 ไมโครลิตร เข้าไปใน holding coil แล้วผลักเข้าไปยังโพลาร์เซลล์พร้อมให้ศักย์ไฟฟ้า +0.8 โวลต์ เพื่อให้ Ni, Ni(OH)₂ และ NiOOH บนขั้วไฟฟ้าคาร์บอนพิมพ์สกรีนหลุดออกจากขั้วไฟฟ้า

3.7 การศึกษาสัญญาณของโวลแทมโกรมที่เพิ่มขึ้นจากปฏิกิริยาของนิกเกิลไฮดรอกไซด์

3.7.1 การศึกษาสัญญาณไซคลิกโวลแทมโกรมที่ให้ค่ากระแสไฟฟ้าได้

ทำการทดลองวิเคราะห์สารละลายมาตรฐานนิกเกิล(II) เข้มข้น 1 มิลลิโมลาร์ ในสารละลายโซเดียมคลอไรด์ เข้มข้น 0.6 โมลาร์ ด้วยซีเควินเซียลอินเจกชัน-ไซคลิกโวลแทมเมตรี (SIA-CV) โดยใช้ขั้วไฟฟ้าคาร์บอนพิมพ์สกรีน โดยทำการทดลองซ้ำ 20 ครั้ง วัดความสูงของสัญญาณกระแสไฟฟ้าจากไซคลิกโวลแทมโกรมที่ได้

3.7.2 การศึกษาสัญญาณสแควร์เวฟโวลแทมโกรมที่ให้ค่ากระแสไฟฟ้าได้

ทำการทดลองวิเคราะห์สารละลายมาตรฐานนิกเกิล(II) เข้มข้น 10 มิลลิกรัมต่อลิตร ในสารละลายโซเดียมคลอไรด์ เข้มข้น 0.6 โมลาร์ ด้วยซีเควินเซียลอินเจกชัน-สแควร์เวฟโวลแทมเมตรีโดยใช้ขั้วไฟฟ้าคาร์บอนพิมพ์สกรีน

3.8 การศึกษาการล้างขั้วไฟฟ้าใช้งานคาร์บอนพิมพ์สกรีนเพื่อให้สามารถตรวจวัดซ้ำได้

3.8.1 การศึกษาปริมาตรของสารละลายกรดไฮโดรคลอริกที่ใช้ในการล้างขั้วไฟฟ้า

ทำการทดลองวิเคราะห์สารละลายมาตรฐานนิกเกิล(II) เข้มข้น 1 มิลลิโมลาร์ ในสารละลายโซเดียมคลอไรด์ เข้มข้น 0.6 โมลาร์ ด้วยซีเควินเซียลอินเจกชัน-ไซคลิกโวลแทมเมตรีโดยใช้ขั้วไฟฟ้าคาร์บอนพิมพ์สกรีน และใช้สารละลายกรดไฮโดรคลอริก เข้มข้น 1 โมลาร์ ปริมาตรต่าง ๆ คือ 2.5, 5.0, และ 7.5 มิลลิลิตร ในการล้างขั้ว ทำการทดลองซ้ำ 3 ครั้ง

3.8.2 การศึกษาค่าศักย์ไฟฟ้าที่ใช้ในขั้นตอนการล้างขั้วไฟฟ้า

ทำการทดลองวิเคราะห์สารละลายมาตรฐานนิกเกิล(II) เข้มข้น 10 มิลลิกรัมต่อลิตร ในสารละลายโซเดียมคลอไรด์เข้มข้น 0.6 โมลาร์ ด้วยซีเควินเซียมอินเจกชัน-สแควร์เวฟโวลแทมเมตรีโดยใช้ขั้วไฟฟ้าคาร์บอนพิมพ์สกรีน และใช้สารละลายกรดไฮโดรคลอริกล้างขั้วไฟฟ้าโดยให้ศักย์ไฟฟ้าในขั้นตอนการล้างต่าง ๆ คือ 0.8, 1.0, 1.5, 2.0, 2.5 และ 3.0 โวลต์ และที่ศักย์ไฟฟ้า 2.0 และ 2.5 โวลต์ ทำการทดลองซ้ำ 20 ครั้ง วัดความสูงของสัญญาณกระแสไฟฟ้าจากสแควร์เวฟโวลแทมโม่แกรม หาค่าเฉลี่ย ค่าเบี่ยงเบนมาตรฐาน (SD) และร้อยละของค่าเบี่ยงเบนมาตรฐานสัมพัทธ์ (%RSD)

3.8.3 การทดสอบการล้างขั้วไฟฟ้าโดยใช้กรดไฮโดรคลอริกสลับกับเบสโซเดียมไฮดรอกไซด์

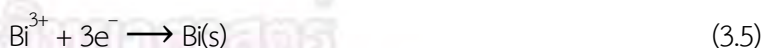
ทำการทดลองวิเคราะห์สารละลายมาตรฐานนิกเกิล(II) เข้มข้น 10 มิลลิกรัมต่อลิตร ในสารละลายโซเดียมคลอไรด์เข้มข้น 0.6 โมลาร์ ด้วยซีเควินเซียมอินเจกชัน-สแควร์เวฟโวลแทมเมตรีโดยใช้ขั้วไฟฟ้าคาร์บอนพิมพ์สกรีน และล้างขั้วไฟฟ้าโดยฉีดสารละลายกรดไฮโดรคลอริกเข้มข้น 1 โมลาร์ กับสารละลายเบสโซเดียมไฮดรอกไซด์เข้มข้น 1 โมลาร์อย่างละ 500 ไมโครลิตร สลับกัน

3.8.4 การศึกษาระดับความเข้มข้นของสารละลายนิกเกิล(II) ที่ให้โวลแทมโม่แกรมได้ชัดเจน

ทำการทดลองวิเคราะห์ สารละลายมาตรฐานนิกเกิล(II) ความเข้มข้นต่าง ๆ คือ 5, 10 และ 50 มิลลิกรัมต่อลิตร ในสารละลายโซเดียมคลอไรด์เข้มข้น 0.6 โมลาร์ ทำการทดลองซ้ำ 20 ครั้ง วัดความสูงของสัญญาณกระแสไฟฟ้าจากสแควร์เวฟโวลแทมโม่แกรม หาค่าเฉลี่ย ค่าเบี่ยงเบนมาตรฐาน (SD) และร้อยละของค่าเบี่ยงเบนมาตรฐานสัมพัทธ์ (%RSD)

3.8.5 การศึกษาการดัดแปรขั้วไฟฟ้าคาร์บอนพิมพ์สกรีนด้วยฟิล์มบิสมัท

ทำการทดลองดัดแปรขั้วไฟฟ้าใช้งานคาร์บอนพิมพ์สกรีนด้วยฟิล์มบิสมัทโดยใช้ระบบซีเควินเซียมอินเจกชันดูดสารละลายบิสมัท(III) เข้มข้น 1 มิลลิกรัมต่อลิตร ในสารละลายโซเดียมคลอไรด์เข้มข้น 0.6 โมลาร์ เข้าไปใน holding coil แล้วผลักเข้าไปยังโพล์เซลล์พร้อมกับให้ศักย์ไฟฟ้า -1.5 โวลต์ เป็นเวลา 100 วินาที เพื่อรีดิวซ์ Bi(III) ให้เป็น Bi(s) ตกสะสมบนเป็นฟิล์มบนพื้นผิวของขั้วไฟฟ้าใช้งาน



จากนั้นทำการทดลองวิเคราะห์สารละลายมาตรฐานนิกเกิล(II) เข้มข้น 10 มิลลิกรัมต่อลิตร ในสารละลายโซเดียมคลอไรด์เข้มข้น 0.6 โมลาร์ ด้วยซีเควินเซียมอินเจกชัน-สแควร์เวฟโวลแทมเมตรีโดยใช้ขั้วไฟฟ้าคาร์บอนพิมพ์สกรีนดัดแปรด้วยฟิล์มบิสมัท ทำการทดลองซ้ำ 20 ครั้ง วัดความสูงของสัญญาณกระแสไฟฟ้าจากสแควร์เวฟโวลแทมโม่แกรม หาค่าเฉลี่ย ค่าเบี่ยงเบนมาตรฐาน (SD) และร้อยละของค่าเบี่ยงเบนมาตรฐานสัมพัทธ์ (%RSD)

3.9 การศึกษาภาวะที่เหมาะสมในการวิเคราะห์นิกเกิล(II) ด้วยซีเควินเชิงอินเจกชัน-สแควร์เวฟแอนโอดิกสทริปปิง-โวลแทมเมตรีโดยใช้ขั้วไฟฟ้าใช้งานคาร์บอนพิมพ์สกรีนและลดขั้นตอนของการเกิดนิกเกิลไฮดรอกไซด์ออก

- 1) ทำความสะอาด holding coil โดยดูดน้ำ Milli-Q ผลักเข้าไปใน holding coil แล้วปล่อยออก จากนั้นทำความสะอาดขั้วไฟฟ้าใช้งานโดยดูดสารละลายกรดไฮโดรคลอริก (HCl) เข้มข้น 1.0 โมลาร์ เข้าไปใน holding coil แล้วผลักเข้าไปยังโพล์เซลล์
- 2) ดูดสารละลายนิกเกิล(II) ในสารละลายโซเดียมคลอไรด์เข้มข้น 0.6 โมลาร์ เข้าไปใน holding coil แล้วผลักเข้าไปยังโพล์เซลล์พร้อมกับให้ศักย์ไฟฟ้า -1.5 โวลต์ เป็นเวลา 100 วินาที เพื่อรีดิวซ์ Ni(II) ให้เป็น Ni(s) ตกสะสมบนพื้นผิวของขั้วไฟฟ้าใช้งาน



- 3) วัดสัญญาณกระแสไฟฟ้าด้วยเทคนิคสแควร์เวฟแอนโอดิกสทริปปิงโวลแทมเมตรี โดยทำให้ Ni(s) ที่ตกสะสมอยู่บนขั้วไฟฟ้าใช้งานเกิดปฏิกิริยาออกซิเดชันขึ้นเกิดเป็น Ni^{2+} และหลุดออกจากขั้วไฟฟ้าโดยใช้พารามิเตอร์ตามตารางที่ 3.6 คือ สแกนศักย์ไฟฟ้าในช่วง -1.5 ถึง $+0.6$ โวลต์ ความถี่ (frequency) 25 เฮิรตซ์ แอมพลิจูด (amplitude) 0.02 โวลต์ และอัตราการเปลี่ยนศักย์ไฟฟ้า (scan rate) 0.125 โวลต์ต่อวินาที



- 4) ดูดสารละลายกรดไฮโดรคลอริก เข้มข้น 1.0 โมลาร์ ปริมาตร 2500 ไมโครลิตร เข้าไปใน holding coil แล้วผลักเข้าไปยังโพล์เซลล์พร้อมให้ศักย์ไฟฟ้า $+0.8$ โวลต์ เพื่อล้างขั้วไฟฟ้าคาร์บอนพิมพ์สกรีน

ลำดับขั้น (step sequence) ที่ใช้เป็นดังตารางที่ 3.6

ตารางที่ 3.6 ลำดับขั้น (Step sequence) สำหรับการหาปริมาณนิกเกิล(II) ด้วยซีเควินเซียลอินเจ็กชัน-สแควร์เวฟแอนอติกสทริปปิงโวลแทมเมตรี (sequential injection analysis-square wave anodic stripping voltammetry, SIA-SWASV)

Step	Description	SIA status				Potentiostat status	Time (s)
		Pump status*	Selection valve position	Volume (μL)	Flow rate ($\mu\text{L/s}$)		
1	Aspirate standard/sample solution into holding coil	Asp	2	1800	200	Standby	18
2	Electrodeposit Ni on SPCE	Dis	1	1800	10	-1.5 V	180
5	SWASV measurement (step potential = 5 mV; amplitude = 0.01 mV; frequency = 25 Hz)	-	-	-	-	Scan from -1.5 to +0.6 V	10
6	Aspirate cleaning solution	Asp	4	2500	200	Standby	24
7	Clean electrode	Dis	1	2500	50	+1.0 V	50
Total time of analysis (s)							272

*Asp = Aspirate (จิ้งหว่าสูบ), Dis = Dispense (จิ้งหว่าผลัก)

3.9.1 การศึกษาสัญญาณของโวลแทมโมแกรมที่เกิดขึ้น

ทำการทดลองวิเคราะห์สารละลายมาตรฐานนิกเกิล(II) เข้มข้น 1 มิลลิกรัมต่อลิตร ในสารละลายโซเดียมคลอไรด์เข้มข้น 0.6 โมลาร์ ด้วยซีเควินเซียลอินเจ็กชัน-สแควร์เวฟแอนอติกสทริปปิงโวลแทมเมตรีโดยใช้ขั้วไฟฟ้าคาร์บอนพิมพ์สกรีน

3.9.2 การศึกษาค่าศักย์ไฟฟ้าตกสะสม (Deposition potential) ที่เหมาะสม

ทำการทดลองวิเคราะห์สารละลายมาตรฐานนิกเกิล(II) เข้มข้น 1 มิลลิกรัมต่อลิตร ในสารละลายโซเดียมคลอไรด์เข้มข้น 0.6 โมลาร์ ด้วยซีเควินเซียลอินเจ็กชัน-สแควร์เวฟแอนอติกสทริปปิงโวลแทมเมตรีโดยใช้ขั้วไฟฟ้าคาร์บอนพิมพ์สกรีน และใช้ศักย์ไฟฟ้าในขั้นตอนการตกสะสมนิกเกิล(II) บนขั้วไฟฟ้าใช้งานเป็น -1.4 และ -1.5 โวลต์ ทำการทดลองซ้ำ 10 ครั้ง ที่แต่ละค่าศักย์ไฟฟ้าตกสะสม วัดความสูงของสัญญาณกระแสไฟฟ้าจากสแควร์เวฟโวลแทมโมแกรม หาค่าเฉลี่ยค่าเบี่ยงเบนมาตรฐาน (SD) และร้อยละของค่าเบี่ยงเบนมาตรฐานสัมพัทธ์ (%RSD) เพื่อศึกษาความเที่ยงของการวิเคราะห์

ทำการทดลองเช่นเดียวกับข้างต้นโดยใช้ศักย์ไฟฟ้าตกสะสมต่าง ๆ คือ -1.5 , -1.4 , -1.3 , -1.2 , -1.1 และ -1.0 โวลต์ เพื่อหาศักย์ไฟฟ้าตกสะสมที่เหมาะสม ทำการทดลองซ้ำ 3 ครั้ง วัดความสูงของสัญญาณกระแสไฟฟ้าจากแอนดิกสทริปปิงโวลแทมโมแกรม หาค่าเฉลี่ย ค่าเบี่ยงเบนมาตรฐาน (SD) และเขียนกราฟแสดงความสัมพันธ์ระหว่างค่าสัญญาณกระแสไฟฟ้าที่วัดได้เมื่อเทียบกับศักย์ไฟฟ้าตกสะสม

3.9.3 การศึกษาการดัดแปรขั้วคาร์บอนพิมพ์สกรีนด้วยฟิล์มบิสมัท

ทำการทดลองดัดแปรขั้วไฟฟ้าคาร์บอนพิมพ์สกรีนด้วยฟิล์มบิสมัทโดยใช้ระบบซีเควินเซียลอินเจกชันดูดสารละลายบิสมัท(III) เข้มข้น 1 มิลลิกรัมต่อลิตร ในสารละลายโซเดียมคลอไรด์เข้มข้น 0.6 โมลาร์ เข้าไปใน holding coil แล้วผลักเข้าไปยังโพล์เซลล์พร้อมกับให้ศักย์ไฟฟ้า -1.5 โวลต์ เป็นเวลา 100 วินาที เพื่อรีดิวซ์ Bi(III) ให้เป็น Bi(s) ตกสะสมเป็นฟิล์มบนพื้นผิวของขั้วไฟฟ้าใช้งาน



ทำการทดลองวิเคราะห์สารละลายมาตรฐานนิกเกิล(II) เข้มข้น 10 มิลลิกรัมต่อลิตร ในสารละลายโซเดียมคลอไรด์เข้มข้น 0.6 โมลาร์ ด้วยซีเควินเซียลอินเจกชัน-สแควร์เวฟแอนดิกสทริปปิงโวลแทมเมตรีโดยใช้ขั้วไฟฟ้าคาร์บอนพิมพ์สกรีนดัดแปรด้วยฟิล์มบิสมัท ทำการทดลองซ้ำ 20 ครั้ง วัดความสูงของสัญญาณกระแสไฟฟ้าจากแอนดิกสทริปปิงโวลแทมโมแกรม หาค่าเฉลี่ย ค่าเบี่ยงเบนมาตรฐาน (SD) และร้อยละของค่าเบี่ยงเบนมาตรฐานสัมพัทธ์ (%RSD)

3.9.4 การศึกษาชนิดของสารละลายอิเล็กโทรไลต์ที่เหมาะสม

ทำการทดลองวิเคราะห์สารละลายมาตรฐานนิกเกิล(II) เข้มข้น 1 มิลลิกรัมต่อลิตร ในสารละลายอิเล็กโทรไลต์ชนิดต่าง ๆ เข้มข้น 1 โมลาร์ ด้วยซีเควินเซียลอินเจกชัน-สแควร์เวฟแอนดิกสทริปปิงโวลแทมเมตรีโดยใช้ขั้วไฟฟ้าคาร์บอนพิมพ์สกรีน สารละลายอิเล็กโทรไลต์ที่ใช้ คือ สารละลายโซเดียมคลอไรด์ (NaCl) สารละลายกรดไฮโดรคลอริก (HCl) สารละลายกรดไนตริก (HNO₃) และสารละลายกรดซัลฟิวริก (H₂SO₄)

3.9.5 การศึกษาความเข้มข้นของสารละลายอิเล็กโทรไลต์โซเดียมคลอไรด์ที่เหมาะสม

ทำการทดลองวิเคราะห์สารละลายมาตรฐานนิกเกิล(II) เข้มข้น 1 มิลลิกรัมต่อลิตร ในสารละลายอิเล็กโทรไลต์ที่เหมาะสม (สารละลายโซเดียมคลอไรด์) ความเข้มข้นต่าง ๆ คือ 0.1, 0.3, 0.6, 0.9, 1.2, 1.5 และ 1.8 โมลาร์ ด้วยซีเควินเซียลอินเจกชัน-สแควร์เวฟแอนดิกสทริปปิงโวลแทมเมตรี โดยใช้ขั้วไฟฟ้าคาร์บอนพิมพ์สกรีน

3.10 การสร้างกราฟเทียบมาตรฐาน (calibration curve)

ทำการทดลองวิเคราะห์สารละลายมาตรฐานนิกเกิล(II) ความเข้มข้นต่าง ๆ ในสารละลายโซเดียมคลอไรด์ ความเข้มข้นที่เหมาะสม ด้วยซีเควินเซียลอินเจกชัน-สแควร์เวฟแอนดิกสทริปปิงโวลแทมเมตรีโดยใช้ขั้วไฟฟ้าคาร์บอนพิมพ์สกรีน ที่ภาวะเหมาะสม วัดความสูงของสัญญาณกระแสไฟฟ้าจากสแควร์เวฟแอนดิกสทริปปิงโวลแทมโมแกรมที่ได้ สร้างกราฟเทียบมาตรฐานระหว่างความสูงของพีคกับความเข้มข้นของสารละลายมาตรฐานนิกเกิล(II)

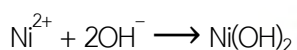
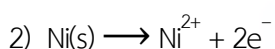
บทที่ 4

ผลการทดลองและอภิปรายผลการทดลอง

งานวิจัยนี้ได้พัฒนาวิธีตรวจวัดนิกเกิล(II) ด้วยซีเควินเซียมอินเจ็กชันร่วมกับเทคนิคโวลแทมเมตรีโดยใช้ขั้วไฟฟ้าคาร์บอนพิมพ์สกรีน

4.1 การศึกษาสัญญาณของโวลแทมโมแกรมที่เกิดขึ้น

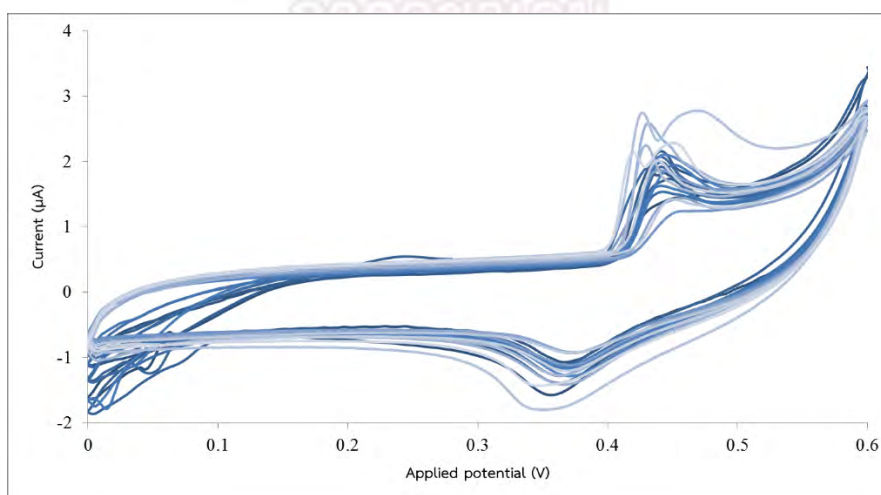
เนื่องจากนิกเกิล(II) ทำปฏิกิริยากับโซเดียมไฮดรอกไซด์แล้วได้นิกเกิลไฮดรอกไซด์ ซึ่งเมื่อให้ศักย์ไฟฟ้าเข้าไปจะทำให้ นิกเกิลไฮดรอกไซด์เปลี่ยนรูปได้ ดังสมการ



ดังนั้นจึงศึกษาสัญญาณของกระแสไฟฟ้าจากปฏิกิริยาข้างต้น

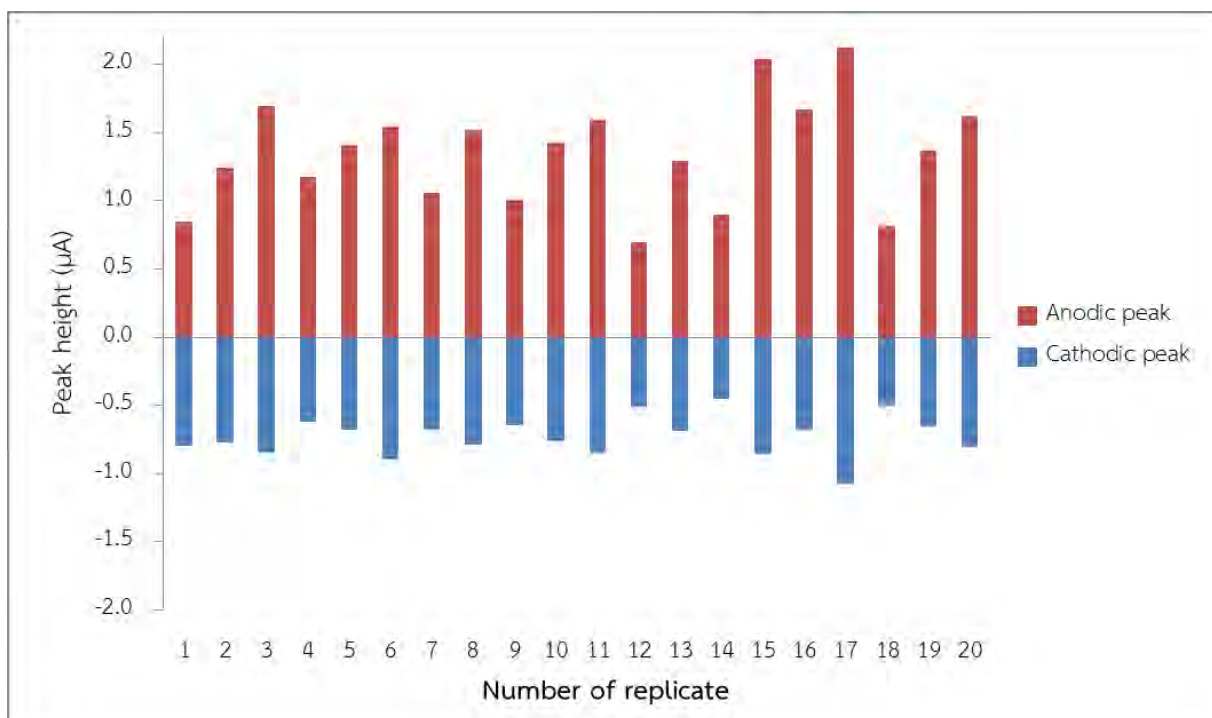
4.1.1 การศึกษาสัญญาณไซคลิกโวลแทมโมแกรมที่ให้ค่ากระแสไฟฟ้าได้

จากการทดลองการวิเคราะห์สารละลายมาตรฐานนิกเกิล(II) เข้มข้น 1 มิลลิโมลาร์ ในสารละลายโซเดียมคลอไรด์เข้มข้น 0.6 โมลาร์ ด้วยซีเควินเซียมอินเจ็กชัน-ไซคลิกโวลแทมเมตรีโดยใช้ขั้วไฟฟ้าคาร์บอนพิมพ์สกรีน ซ้ำ 20 ครั้ง ได้ไซคลิกโวลแทมโมแกรม ดังรูปที่ 4.1



รูปที่ 4.1 ไซคลิกโวลแทมโมแกรมของสารละลายมาตรฐานนิกเกิล(II) เข้มข้น 1 มิลลิโมลาร์ ในสารละลายโซเดียมคลอไรด์เข้มข้น 0.6 โมลาร์ ด้วยซีเควินเซียมอินเจ็กชัน-ไซคลิกโวลแทมเมตรีโดยใช้ขั้วไฟฟ้าคาร์บอนพิมพ์สกรีน

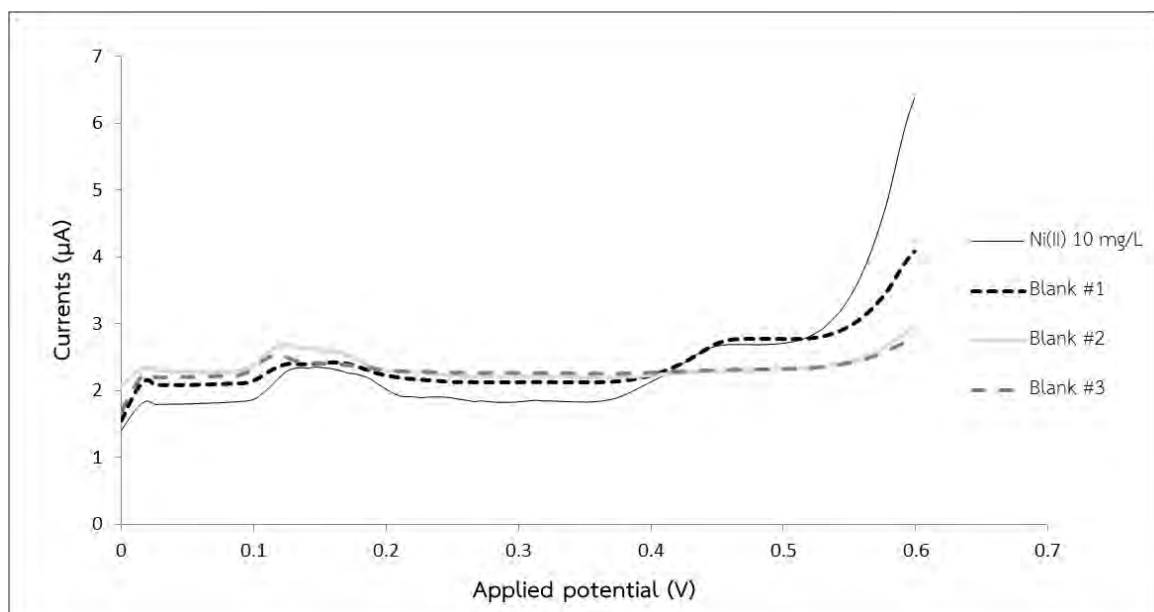
ความสูง (กระแสไฟฟ้า) ของพีคแอโนดิก (anodic peak) และพีคแคโทดิก (cathodic peak) จากไซคลิกโวลแทมโมแกรมที่วัดได้จากการทดลองซ้ำ 20 ครั้ง แสดงดังรูปที่ 4.2 จะเห็นได้ว่า ความสูงของพีคจากการวิเคราะห์ซ้ำมีค่าแตกต่างกัน แสดงว่าการวิเคราะห์มีสภาพทำซ้ำได้ (repeatability) ต่ำ ซึ่งอาจเกิดจากลำดับขั้น (step sequence) ที่ใช้ ไม่สามารถล้างขั้วไฟฟ้าได้หมด



รูปที่ 4.2 ความสูงของพีคนิกเกิล(II) จากไซคลิกโวลแทมโมแกรมที่วัดได้จากการตรวจวัดสารละลายมาตรฐานนิกเกิล(II) เข้มข้น 1 มิลลิโมลาร์ ในสารละลายไฮเดียมคลอไรด์เข้มข้น 0.6 โมลาร์ ด้วยซีเควินเซี่ยลอินเจ็กชัน-ไซคลิกโวลแทมเมตรีโดยใช้ขั้วไฟฟ้าคาร์บอนพิมพ์สกรีน ซ้ำ 20 ครั้ง

4.1.2 การศึกษาสัญญาณสแควร์เวฟโวลแทมโมแกรมที่ให้ค่ากระแสไฟฟ้าได้

จากการทดลองวิเคราะห์สารละลายมาตรฐานนิกเกิล(II) เข้มข้น 10 มิลลิกรัมต่อลิตร ในสารละลายไฮเดียมคลอไรด์เข้มข้น 0.6 โมลาร์ ด้วยซีเควินเซี่ยลอินเจ็กชัน-สแควร์เวฟโวลแทมเมตรีโดยใช้ขั้วไฟฟ้าคาร์บอนพิมพ์สกรีน ได้สแควร์เวฟโวลแทมโมแกรม ดังรูปที่ 4.3



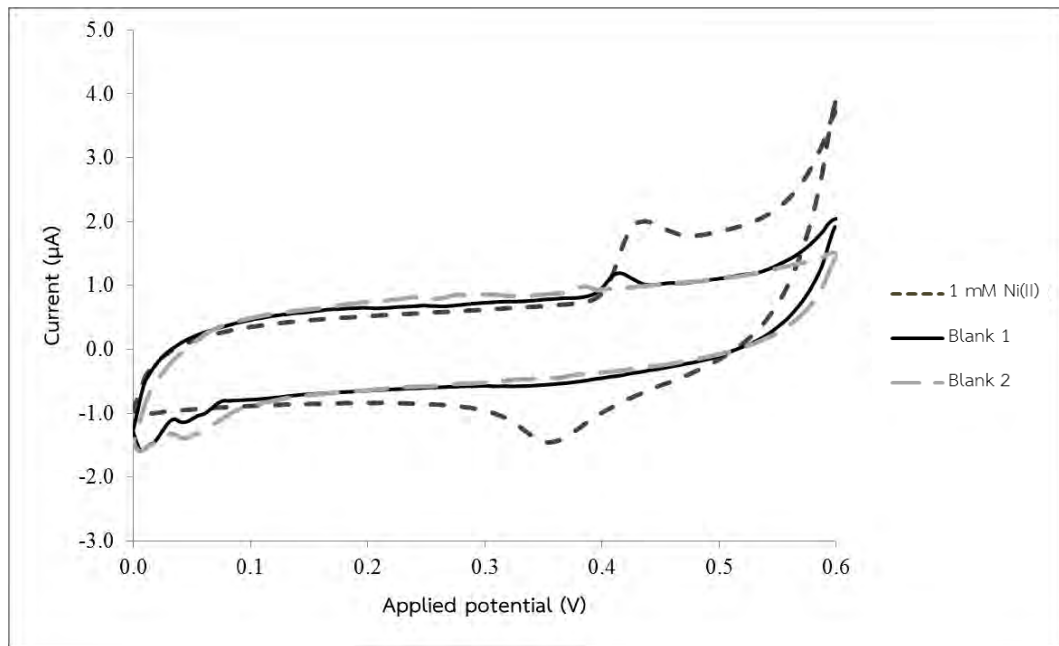
รูปที่ 4.3 สแควร์เวฟโวลแทมโมแกรมจากการตรวจวัดสารละลายมาตรฐานนิกเกิล(II) เข้มข้น 10 มิลลิกรัมต่อลิตร ในสารละลายโซเดียมคลอไรด์เข้มข้น 0.6 โมลาร์ ด้วยซีเควินเซียลอินเจกชัน-สแควร์เวฟโวลแทมเมตรีโดยใช้ขั้วไฟฟ้าคาร์บอนพิมพ์สกรีน และสแควร์เวฟโวลแทมโมแกรมจากการตรวจวัดสารละลายโซเดียมคลอไรด์เข้มข้น 0.6 โมลาร์ หรือสารละลายแบลงก์

หลังจากที่ตรวจวัดสารละลายมาตรฐานนิกเกิล(II) เข้มข้น 10 มิลลิกรัมต่อลิตร ในสารละลายโซเดียมคลอไรด์เข้มข้น 0.6 โมลาร์ ได้ทดลองตรวจวัดสารละลายโซเดียมคลอไรด์เข้มข้น 0.6 โมลาร์ หรือสารละลายแบลงก์ (blank) ด้วยซีเควินเซียลอินเจกชัน-สแควร์เวฟโวลแทมเมตรี โดยใช้ขั้วไฟฟ้าคาร์บอนพิมพ์สกรีนซ้ำ 3 ครั้ง พบว่า สแควร์เวฟโวลแทมโมแกรมของแบลงก์ (ดังรูปที่ 4.3) จากการทดลองครั้งแรกปรากฏพีกของนิกเกิล(II) ที่ศักย์ไฟฟ้า +0.45 โวลต์ แสดงให้เห็นว่า ยังมีนิกเกิลติดอยู่ที่ขั้วไฟฟ้าใช้งาน แต่โวลแทมโมแกรมของแบลงก์จากการทดลองครั้งที่ 2 และ 3 ไม่ปรากฏพีกของนิกเกิล(II) ซึ่งอาจเกิดจากลำดับขั้นที่ใช้ไม่สามารถล้างขั้วไฟฟ้าได้หมดภายในครั้งเดียว

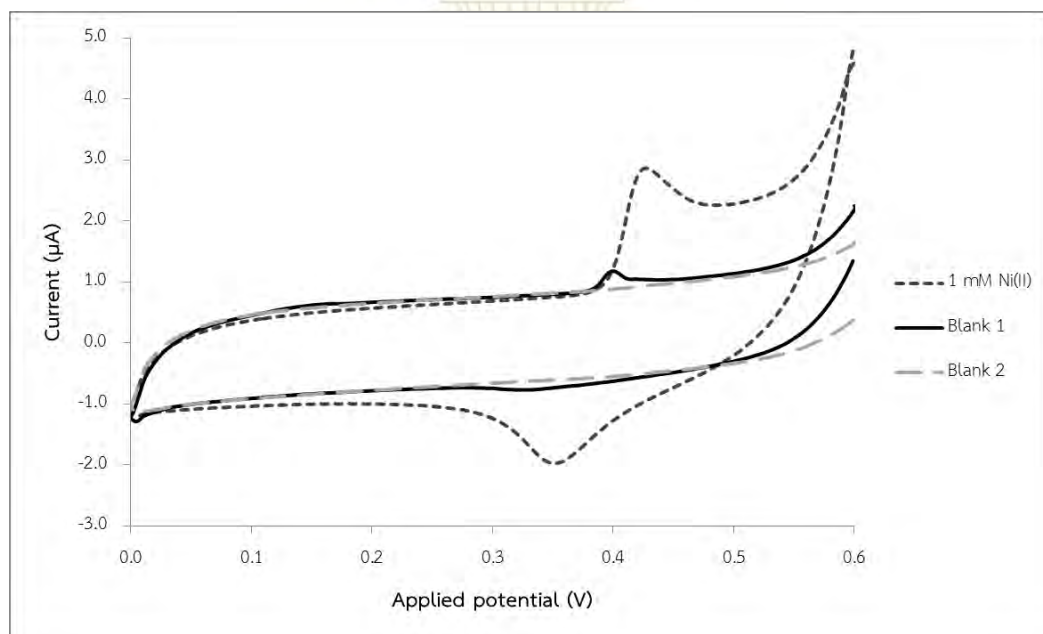
4.2 การศึกษาการล้างขั้วไฟฟ้าใช้งานคาร์บอนพิมพ์สกรีนเพื่อให้สามารถตรวจวัดซ้ำได้

4.2.1 การศึกษาปริมาณของสารละลายกรดไฮโดรคลอริกที่ใช้ในการล้างขั้วไฟฟ้า

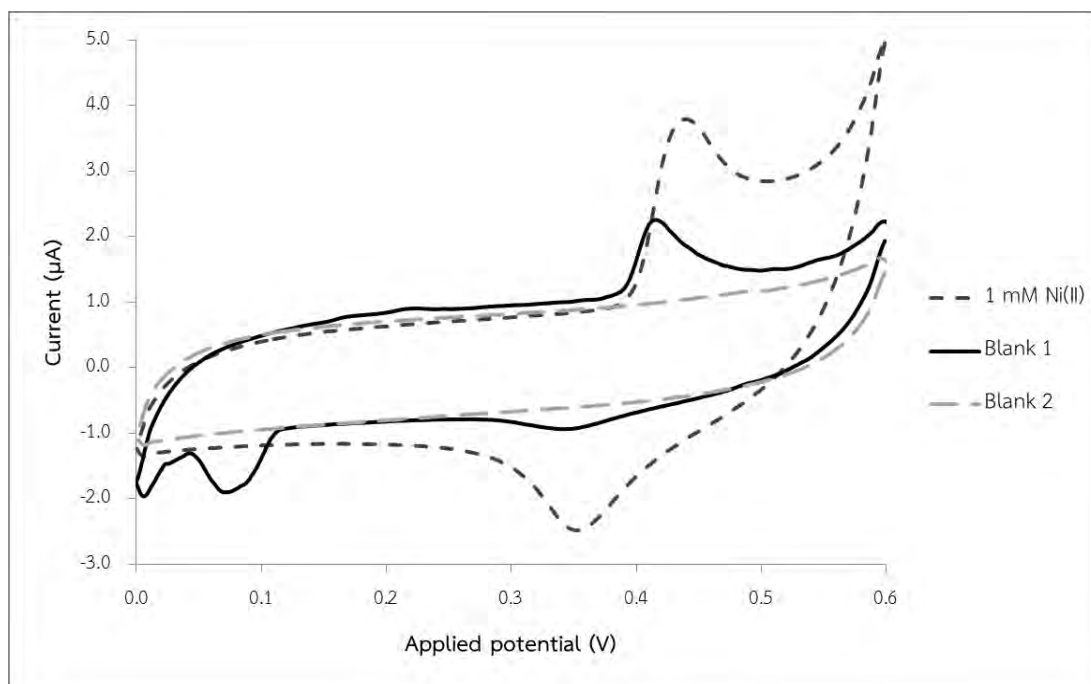
จากการทดลองการวิเคราะห์สารละลายมาตรฐานนิกเกิล(II) เข้มข้น 1 มิลลิโมลาร์ ในสารละลายโซเดียมคลอไรด์เข้มข้น 0.6 โมลาร์ ด้วยซีเควินเซียลอินเจกชัน-ไซคลิกโวลแทมเมตรีโดยใช้ขั้วไฟฟ้าคาร์บอนพิมพ์สกรีน และใช้สารละลายกรดไฮโดรคลอริกเข้มข้น 1 โมลาร์ ปริมาตรต่าง ๆ คือ 2.5, 5.0 และ 7.5 มิลลิลิตร ในการล้างขั้วไฟฟ้า ได้ไซคลิกโวลแทมโมแกรมดังรูปที่ 4.4



รูปที่ 4.4(ก) โพลีเมอร์โวลแทมโมแกรมจากการตรวจวัดสารละลายมาตรฐานนิกเกิล(II) เข้มข้น 1 มิลลิโมลาร์ ในสารละลายโซเดียมคลอไรด์เข้มข้น 0.6 โมลาร์ ด้วยซีควีนซีลอินเจกชัน-โพลีเมอร์โวลแทมเมตรีโดยใช้ขั้วไฟฟ้าคาร์บอนพิมพ์สกรีน แล้วล้างขั้วไฟฟ้าด้วยสารละลายกรดไฮโดรคลอริกเข้มข้น 1 โมลาร์ ปริมาตร 2.5 มิลลิลิตร และโพลีเมอร์โวลแทมโมแกรมจากการตรวจวัดสารละลายแบลнк



รูปที่ 4.4(ข) โพลีเมอร์โวลแทมโมแกรมจากการตรวจวัดสารละลายมาตรฐานนิกเกิล(II) เข้มข้น 1 มิลลิโมลาร์ ในสารละลายโซเดียมคลอไรด์เข้มข้น 0.6 โมลาร์ ด้วยซีควีนซีลอินเจกชัน-โพลีเมอร์โวลแทมเมตรีโดยใช้ขั้วไฟฟ้าคาร์บอนพิมพ์สกรีน แล้วล้างขั้วไฟฟ้าด้วยสารละลายกรดไฮโดรคลอริกเข้มข้น 1 โมลาร์ ปริมาตร 5.0 มิลลิลิตร และโพลีเมอร์โวลแทมโมแกรมจากการตรวจวัดสารละลายแบลнк



รูปที่ 4.4(ค) โชนิกวลิตแอมโกรมจากการตรวจวัดสารละลายมาตรฐานนิกเกิล(II) เข้มข้น 1 มิลลิโมลาร์ ในสารละลายโซเดียมคลอไรด์เข้มข้น 0.6 โมลาร์ ด้วยซีควีนเซียลอินเจกชัน-โชนิกวลิตแอมเมตรีโดยใช้ขั้วไฟฟ้าคาร์บอนพิมพ์สกรีน แล้วล้างขั้วไฟฟ้าด้วยสารละลายกรดไฮโดรคลอริกเข้มข้น 1 โมลาร์ ปริมาตร 7.5 มิลลิลิตร และโชนิกวลิตแอมโกรมจากการตรวจวัดสารละลายแบลงค์

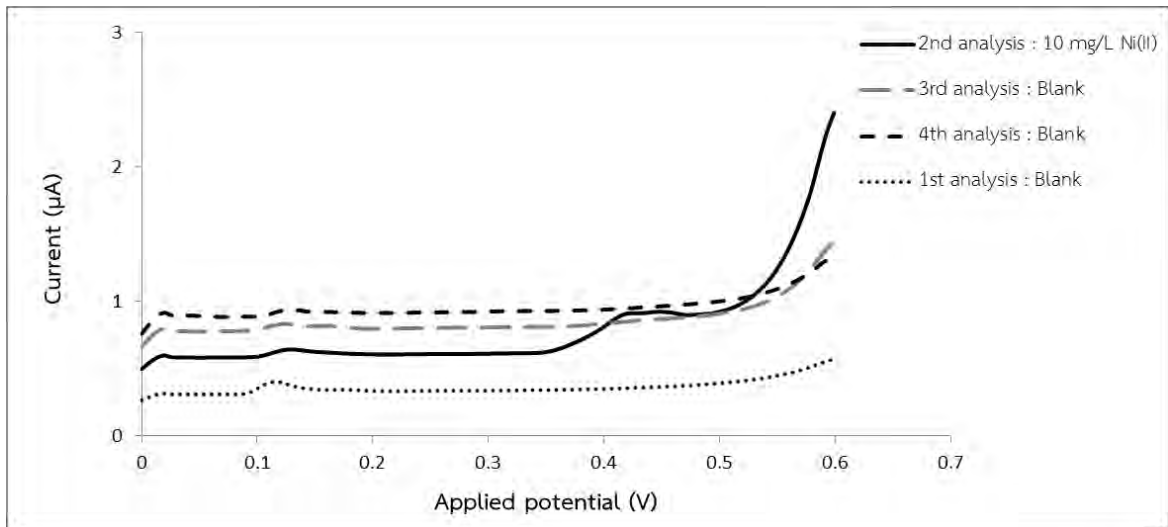
จากรูปที่ 4.4 พบว่า เมื่อใช้สารละลายกรดไฮโดรคลอริกเข้มข้น 1 โมลาร์ ปริมาตร 2.5, 5.0 และ 7.5 มิลลิลิตร ในการล้างขั้วไฟฟ้า โชนิกวลิตแอมโกรมของแบลงค์จากการทดลองครั้งที่ 1 จะปรากฏพีคของนิกเกิล(II) ที่ศักย์ไฟฟ้า +0.45 โวลต์ ในขณะที่โชนิกวลิตแอมโกรมของแบลงค์จากการทดลองครั้งที่ 2 ไม่ปรากฏพีคของนิกเกิล(II) แสดงให้เห็นว่า การเพิ่มปริมาณของสารละลายกรดไฮโดรคลอริกที่ใช้ในการล้างขั้วไฟฟ้าใช้งาน ไม่สามารถทำให้ล้างขั้วไฟฟ้าได้หมดภายในครั้งเดียว

4.3 การศึกษาศักย์ไฟฟ้าที่ใช้ในขั้นตอนการล้างขั้วไฟฟ้าใช้งาน

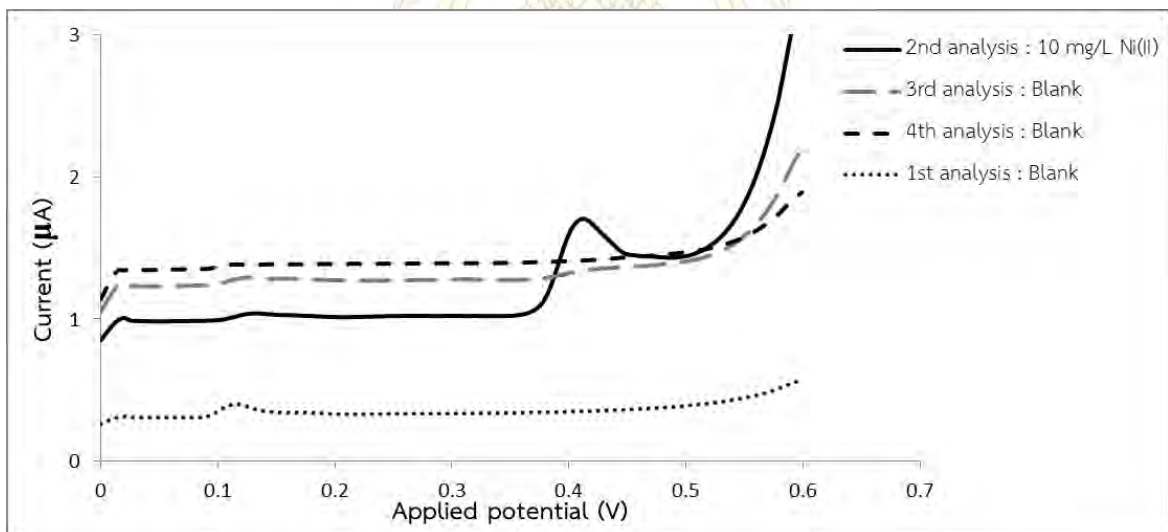
จากการทดลองวิเคราะห์สารละลายต่อไปนี้อย่างลำดับ ด้วยซีควีนเซียลอินเจกชัน-สแควร์เวฟโชนิกวลิตแอมเมตรีโดยใช้ขั้วไฟฟ้าคาร์บอนพิมพ์สกรีน

- 1) สารละลายโซเดียมคลอไรด์เข้มข้น 0.6 โมลาร์ หรือแบลงค์ (1st analysis: Blank)
- 2) สารละลายมาตรฐานนิกเกิล(II) เข้มข้น 10 มิลลิกรัมต่อลิตร ในสารละลายโซเดียมคลอไรด์เข้มข้น 0.6 โมลาร์ (2nd analysis: 10 ppm Ni(II)) แล้วใช้สารละลายกรดไฮโดรคลอริกล้างขั้วไฟฟ้าโดยให้ศักย์ไฟฟ้าในขั้นตอนการล้างต่าง ๆ คือ 0.8, 1.0, 1.5, 2.0, 2.5 และ 3.0 โวลต์
- 3) สารละลายโซเดียมคลอไรด์เข้มข้น 0.6 โมลาร์ หรือแบลงค์ (3rd analysis: Blank)
- 4) สารละลายโซเดียมคลอไรด์เข้มข้น 0.6 โมลาร์ หรือแบลงค์ (4th analysis: Blank)

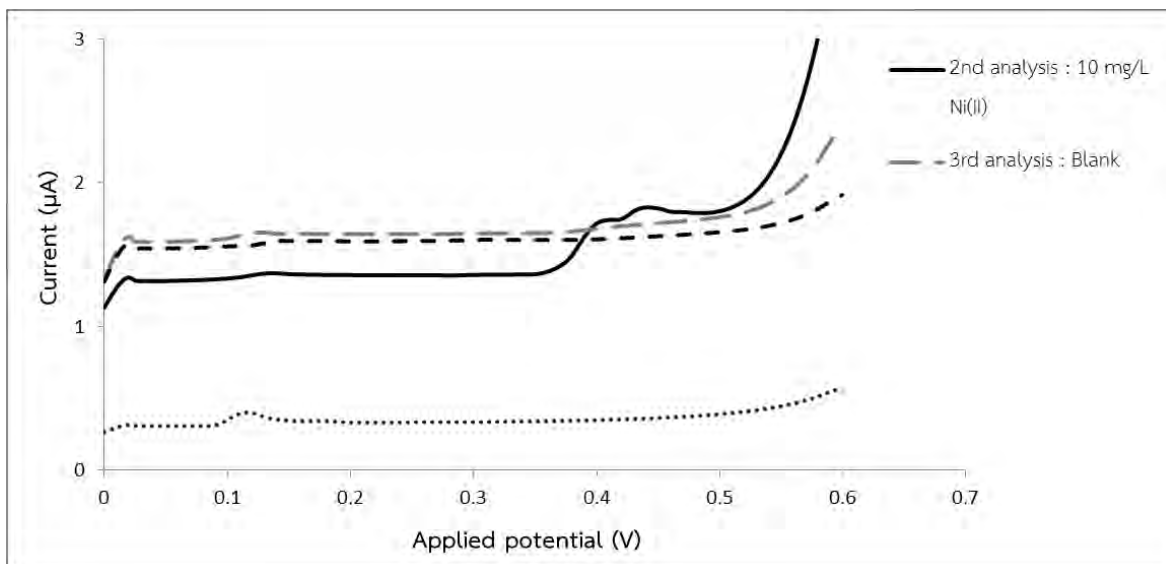
ได้สแควร์เวฟโวลแทมโมแกรม ดังรูปที่ 4.5



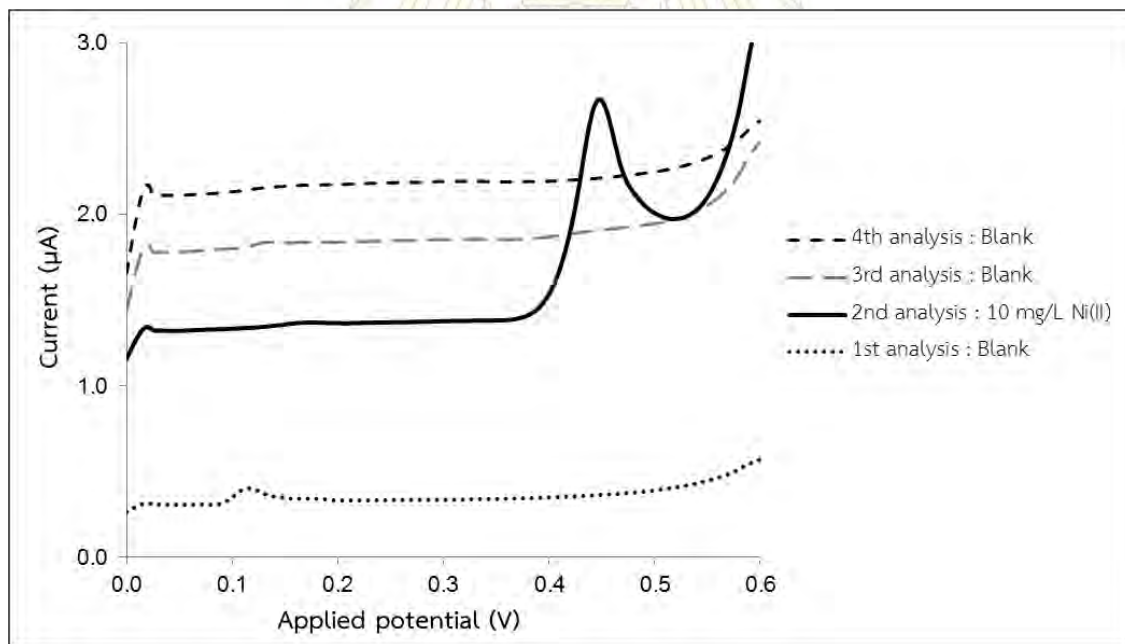
รูปที่ 4.5(ก) สแควร์เวฟโวลแทมโมแกรมจากการตรวจวัดสารละลายมาตรฐานนิกเกิล(II) เข้มข้น 10 มิลลิกรัมต่อลิตร ในสารละลายโซเดียมคลอไรด์เข้มข้น 0.6 โมลาร์ แล้วล้างขั้วไฟฟ้าด้วยสารละลายกรดไฮโดรคลอริกพร้อมทั้งให้ศักย์ไฟฟ้า +0.8 โวลต์ และสแควร์เวฟโวลแทมโมแกรมจากการตรวจวัดสารละลายแบลงก์



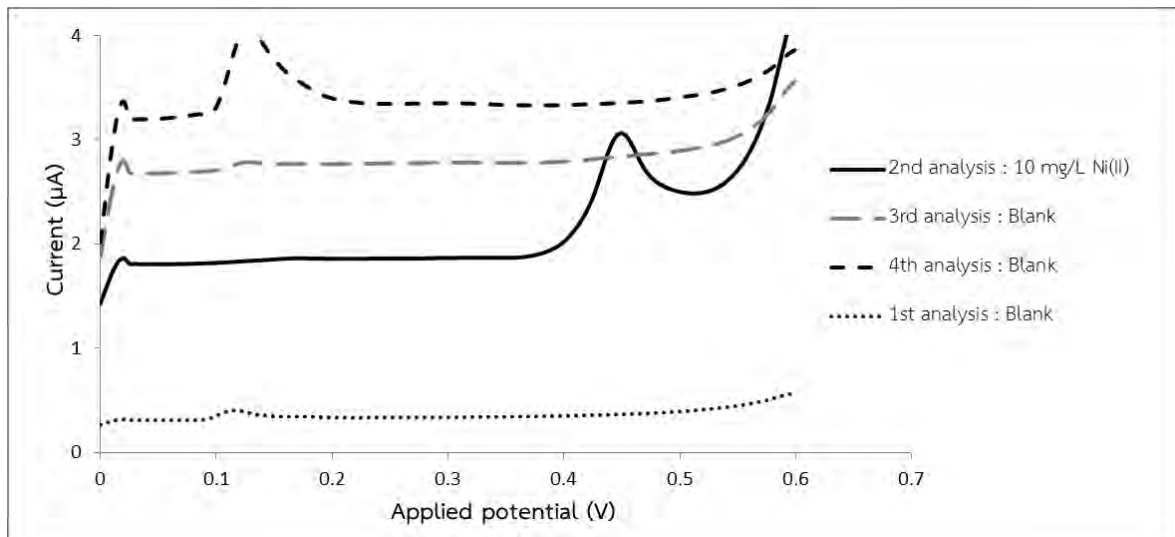
รูปที่ 4.5(ข) สแควร์เวฟโวลแทมโมแกรมจากการตรวจวัดสารละลายมาตรฐานนิกเกิล(II) เข้มข้น 10 มิลลิกรัมต่อลิตร ในสารละลายโซเดียมคลอไรด์เข้มข้น 0.6 โมลาร์ แล้วล้างขั้วไฟฟ้าด้วยสารละลายกรดไฮโดรคลอริกพร้อมทั้งให้ ศักย์ไฟฟ้า +1.0 โวลต์ และสแควร์เวฟโวลแทมโมแกรมจากการตรวจวัดสารละลายแบลงก์



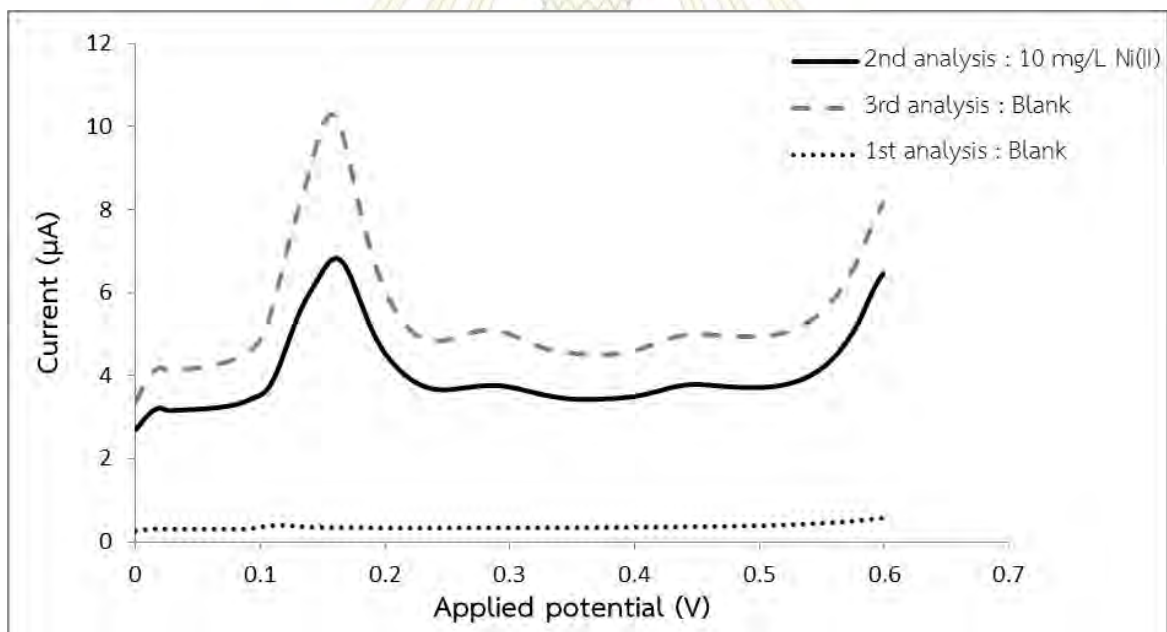
รูปที่ 4.5(ค) สแควร์เวฟโวลแทมโมแกรมจากการตรวจวัดสารละลายมาตรฐานนิกเกิล(II) เข้มข้น 10 มิลลิกรัมต่อลิตร ในสารละลายโซเดียมคลอไรด์เข้มข้น 0.6 โมลาร์ แล้วล้างขั้วไฟฟ้าด้วยสารละลายกรดไฮโดรคลอริกพร้อมทั้งให้ ศักย์ไฟฟ้า +1.5 โวลต์ และสแควร์เวฟโวลแทมโมแกรมจากการตรวจวัดสารละลายแบลงก์



รูปที่ 4.5(ง) สแควร์เวฟโวลแทมโมแกรมจากการตรวจวัดสารละลายมาตรฐานนิกเกิล(II) เข้มข้น 10 มิลลิกรัมต่อลิตร ในสารละลายโซเดียมคลอไรด์เข้มข้น 0.6 โมลาร์ แล้วล้างขั้วไฟฟ้าด้วยสารละลายกรดไฮโดรคลอริกพร้อมทั้งให้ ศักย์ไฟฟ้า +2.0 โวลต์ และสแควร์เวฟโวลแทมโมแกรมจากการตรวจวัดสารละลายแบลงก์



รูปที่ 4.5(จ) สแควร์เวฟโวลแทมโมแกรมจากการตรวจวัดสารละลายมาตรฐานนิกเกิล(II) เข้มข้น 10 มิลลิกรัมต่อลิตร ในสารละลายโซเดียมคลอไรด์เข้มข้น 0.6 โมลาร์ แล้วล้างขั้วไฟฟ้าด้วยสารละลายกรดไฮโดรคลอริกพร้อมทั้งให้ ศักย์ไฟฟ้า +2.5 โวลต์ และสแควร์เวฟโวลแทมโมแกรมจากการตรวจวัดสารละลายแบลงก์

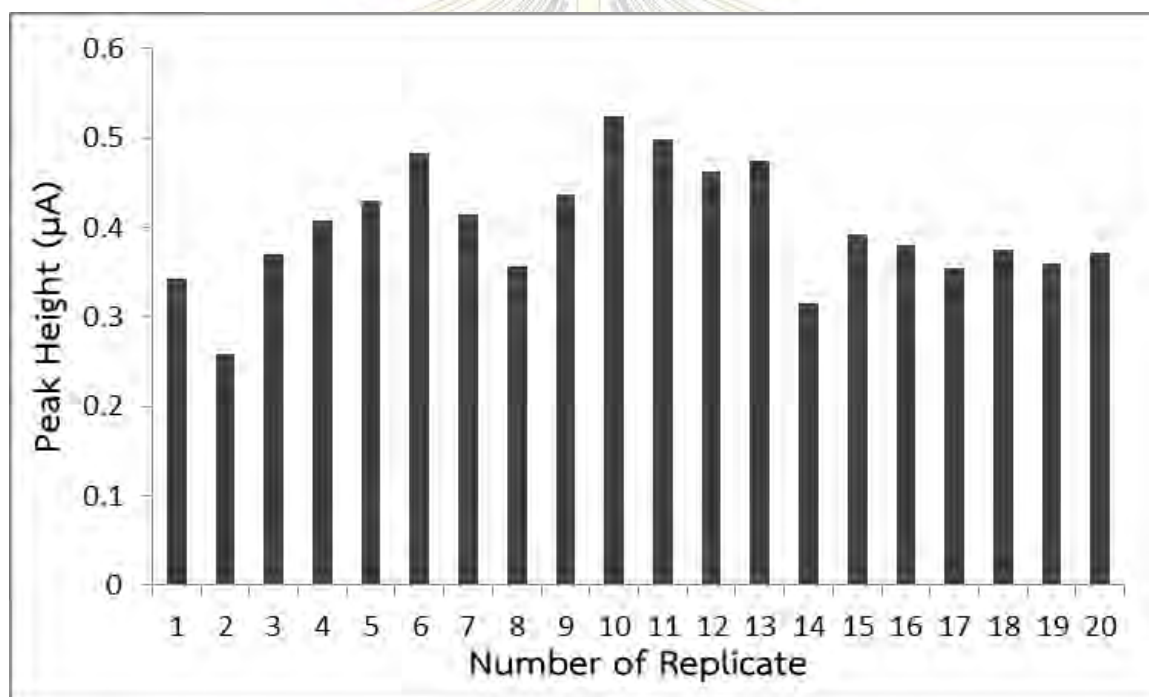


รูปที่ 4.5(ฉ) สแควร์เวฟโวลแทมโมแกรมจากการตรวจวัดสารละลายมาตรฐานนิกเกิล(II) เข้มข้น 10 มิลลิกรัมต่อลิตร ในสารละลายโซเดียมคลอไรด์เข้มข้น 0.6 โมลาร์ แล้วล้างขั้วไฟฟ้าด้วยสารละลายกรดไฮโดรคลอริกพร้อมทั้งให้ ศักย์ไฟฟ้า +3.0 โวลต์ และสแควร์เวฟโวลแทมโมแกรมจากการตรวจวัดสารละลายแบลงก์

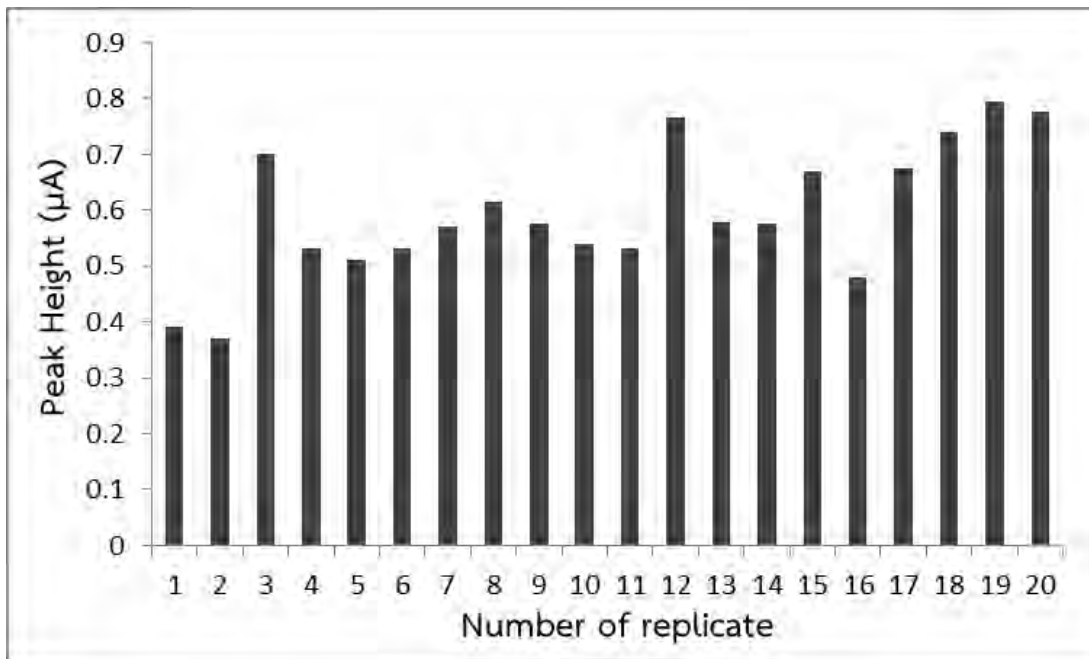
จากโวลแทมโมแกรมในรูปที่ 4.5 แสดงให้เห็นว่า เมื่อให้ศักย์ไฟฟ้าในขั้นตอนการล้างเพิ่มขึ้นจาก +0.8 ถึง +2.5 โวลต์ จะสามารถล้างขั้วไฟฟ้าใช้งานได้ดีขึ้น ทำให้ไม่ปรากฏพีกของนิกเกิล(II) ที่ศักย์ไฟฟ้า +0.45 โวลต์ แต่เมื่อให้ศักย์ไฟฟ้า +3.0 โวลต์ พบว่าสัญญาณของนิกเกิล(II) หายไป ดังนั้นจึงไม่สามารถเพิ่มศักย์ไฟฟ้ามากกว่า +2.5 โวลต์ ในขั้นตอนการล้างขั้วไฟฟ้า

จากการทดลองวิเคราะห์สารละลายมาตรฐานนิกเกิล(II) เข้มข้น 10 มิลลิกรัมต่อลิตร ในสารละลายโซเดียมคลอไรด์ เข้มข้น 0.6 โมลาร์ ด้วยซีเควินเซียลอินเจกชัน-สแควร์เวฟโวลแทมเมตรีโดยใช้ขั้วไฟฟ้าคาร์บอนพิมพ์สกรีน และใช้สารละลายกรดไฮโดรคลอริกล้างขั้วไฟฟ้าพร้อมทั้งให้ศักย์ไฟฟ้า +2.0 และ +2.5 โวลต์ ซ้ำ 20 ครั้ง ได้ผลการทดลองดังรูปที่ 4.6

จากรูปที่ 4.6 แสดงให้เห็นว่า ในขั้นตอนการล้างขั้วไฟฟ้าใช้งาน เมื่อให้ศักย์ไฟฟ้า +2.0 โวลต์ ได้ค่าเบี่ยงเบนมาตรฐานสัมพัทธ์ (RSD) 16.4% สามารถทำซ้ำได้ดีกว่าเมื่อให้ศักย์ไฟฟ้า +2.5 โวลต์ ซึ่งได้ค่าเบี่ยงเบนมาตรฐานสัมพัทธ์ (RSD) 20.1% ดังนั้นในการทดลองต่อไปจึงให้ศักย์ไฟฟ้า +2.0 โวลต์ ในขั้นตอนการล้างขั้วไฟฟ้าใช้งาน



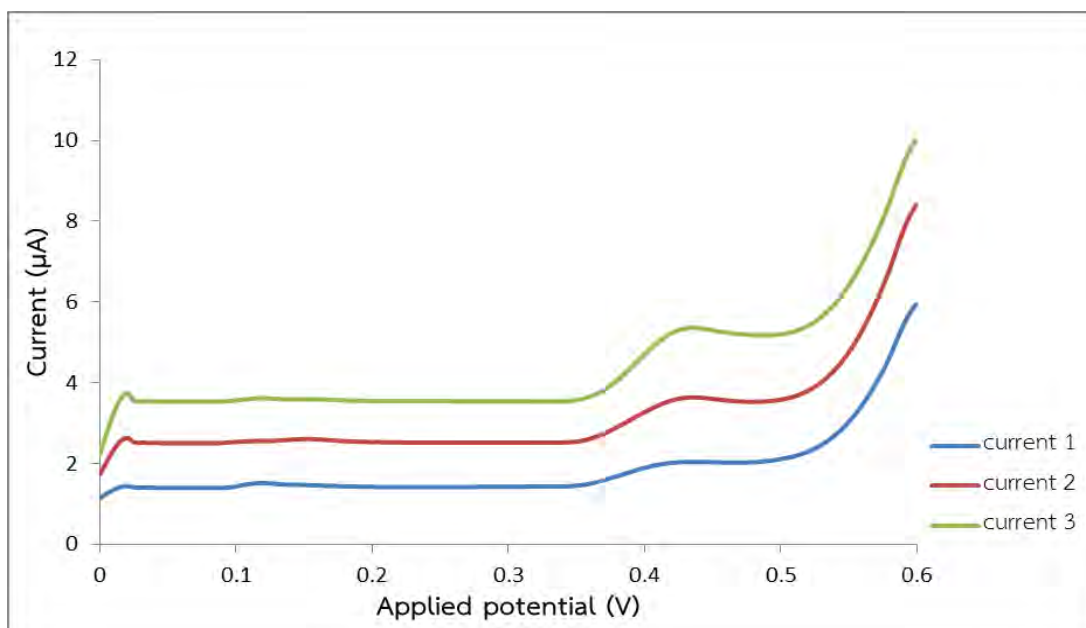
รูปที่ 4.6(ก) ความสูงของพีกนิกเกิล(II) จากสแควร์เวฟโวลแทมโมแกรมจากการตรวจวัดสารละลายมาตรฐานนิกเกิล(II) เข้มข้น 10 มิลลิกรัมต่อลิตร ในสารละลายโซเดียมคลอไรด์เข้มข้น 0.6 โมลาร์ ด้วยซีเควินเซียลอินเจกชัน-สแควร์เวฟโวลแทมเมตรีโดยใช้ขั้วไฟฟ้าคาร์บอนพิมพ์สกรีน ล้างขั้วไฟฟ้าด้วยสารละลายกรดไฮโดรคลอริกพร้อมทั้งให้ศักย์ไฟฟ้า +1.5 โวลต์ จากการทดลองซ้ำ 20 ครั้ง ได้ค่าเฉลี่ย 0.401 ไมโครแอมแปร์ ค่าเบี่ยงเบนมาตรฐาน (SD) 0.066 ไมโครแอมแปร์ และค่าเบี่ยงเบนมาตรฐานสัมพัทธ์ (RSD) 16.4%



รูปที่ 4.6(ข) ความสูงของพีคนิกเกิล(II) จากสแควร์เวฟโวลแทมโมแกรมจากการตรวจวัดสารละลายมาตรฐานนิกเกิล(II) เข้มข้น 10 มิลลิกรัมต่อลิตร ในสารละลายโซเดียมคลอไรด์เข้มข้น 0.6 โมลาร์ ด้วยซีเควินเซียลอินเจกชัน-สแควร์เวฟโวลแทมเมตรีโดยใช้ขั้วไฟฟ้าคาร์บอนพิมพ์สกรีน ล้างขั้วไฟฟ้าด้วยสารละลายกรดไฮโดรคลอริกพร้อมทั้งให้ศักย์ไฟฟ้า +2.5 โวลต์ จากการทดลองซ้ำ 20 ครั้ง ได้ค่าเฉลี่ย 0.596 ไมโครแอมแปร์ ค่าเบี่ยงเบนมาตรฐาน (SD) 0.120 ไมโครแอมแปร์ และค่าเบี่ยงเบนมาตรฐานสัมพัทธ์ (RSD) 20.1%

4.4 การทดสอบการล้างขั้วไฟฟ้าโดยใช้กรดไฮโดรคลอริกสลับกับเบสโซเดียมไฮดรอกไซด์

จากการทดลองวิเคราะห์สารละลายมาตรฐานนิกเกิล(II) เข้มข้น 10 มิลลิกรัมต่อลิตร ในสารละลายโซเดียมคลอไรด์เข้มข้น 0.6 โมลาร์ ด้วยซีเควินเซียลอินเจกชัน-สแควร์เวฟโวลแทมเมตรีโดยใช้ขั้วไฟฟ้าคาร์บอนพิมพ์สกรีน และล้างขั้วไฟฟ้าโดยฉีดสารละลายกรดไฮโดรคลอริกเข้มข้น 1 โมลาร์ กับสารละลายเบสโซเดียมไฮดรอกไซด์เข้มข้น 1 โมลาร์ อย่างละ 500 ไมโครลิตร สลับกัน ได้สแควร์เวฟโวลแทมโมแกรมดังรูปที่ 4.7

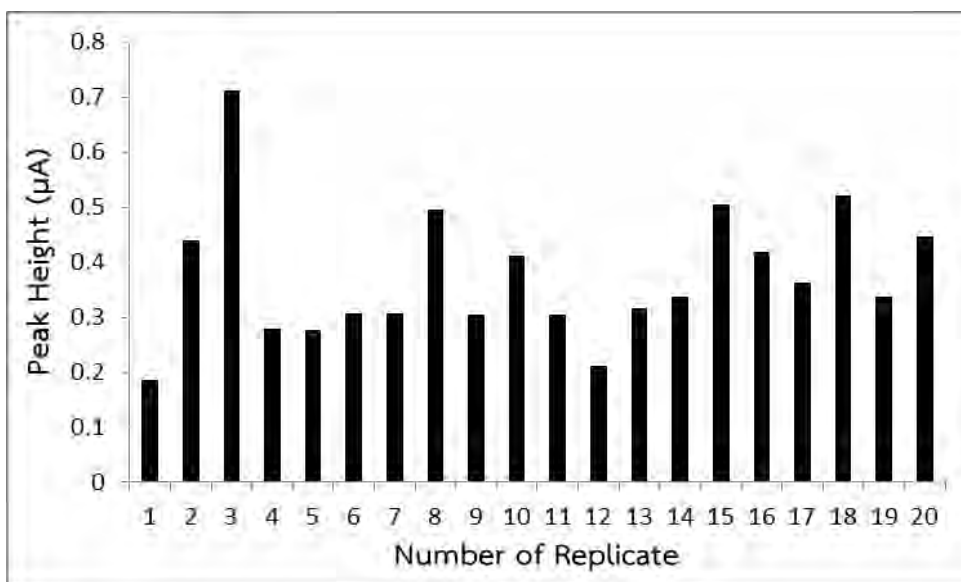


รูปที่ 4.7 สแควร์เวฟโวลแทมโมแกรมจากการตรวจวัดสารละลายมาตรฐานนิกเกิล(II) เข้มข้น 10 มิลลิกรัมต่อลิตร ในสารละลายโซเดียมคลอไรด์เข้มข้น 0.6 โมลาร์ ด้วยซีเควินเซียอินเจกชัน-สแควร์เวฟโวลแทมเมตรี และล้างขั้วไฟฟ้าโดยฉีดสารละลายกรดไฮโดรคลอริกเข้มข้น 1 โมลาร์ กับสารละลายเบสโซเดียมไฮดรอกไซด์เข้มข้น 1 โมลาร์ อย่างละ 500 ไมโครลิตร สลับกัน

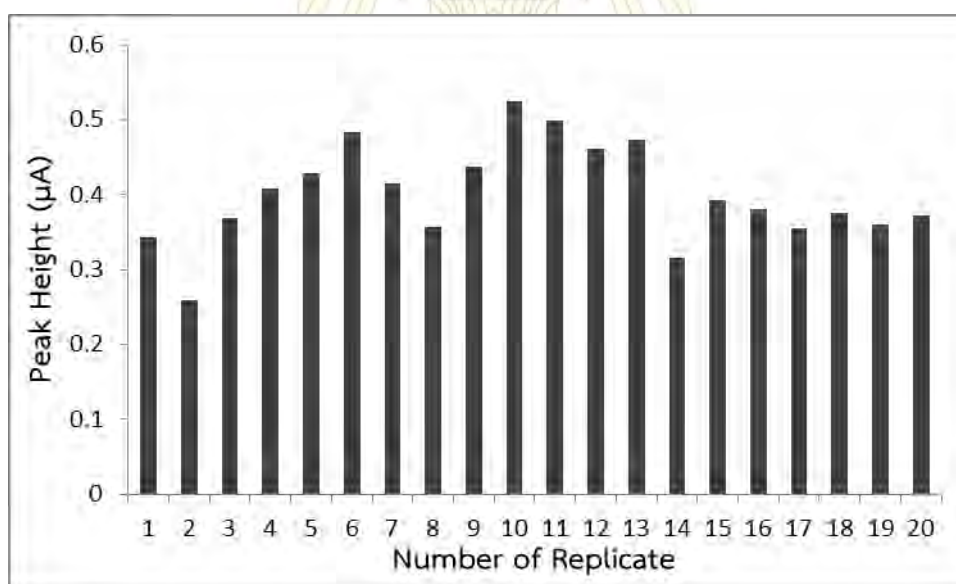
จากรูปที่ 4.7 สังเกตได้ว่า พีคของนิกเกิล(II) ที่เกิดขึ้นเมื่อทำการทดลองซ้ำ 3 ครั้ง มีความสูงเพิ่มขึ้นอย่างชัดเจน แสดงว่าการฉีดสารละลายกรดไฮโดรคลอริกเข้มข้น 1 โมลาร์ สลับกับสารละลายเบสโซเดียมไฮดรอกไซด์เข้มข้น 1 โมลาร์ ไม่สามารถล้างขั้วไฟฟ้าได้

4.5 การศึกษาระดับความเข้มข้นของนิกเกิล(II) ที่ให้โวลแทมโมแกรมได้ชัดเจน

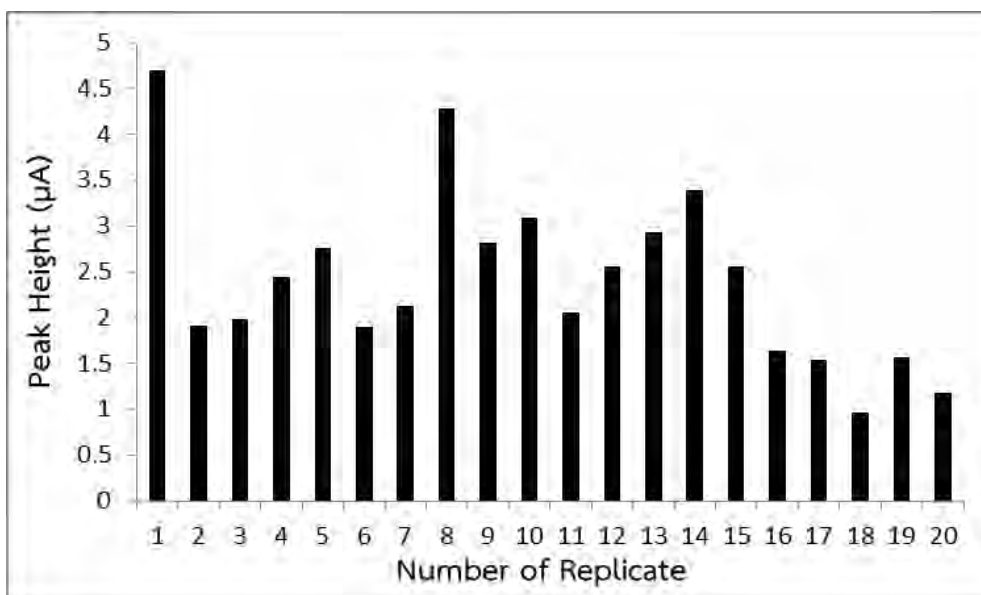
จากการทดลองวิเคราะห์สารละลายมาตรฐานนิกเกิล(II) ความเข้มข้นต่าง ๆ คือ 5, 10 และ 50 มิลลิกรัมต่อลิตร ในสารละลายโซเดียมคลอไรด์เข้มข้น 0.6 โมลาร์ ด้วยซีเควินเซียอินเจกชัน-สแควร์เวฟโวลแทมเมตรีโดยใช้ขั้วไฟฟ้าคาร์บอนพิมพ์สกรีน ซ้ำ 20 ครั้ง ได้ดังรูปที่ 4.8



รูปที่ 4.8(ก) ความสูงของพีคนิกเกิล(II) จากสแควร์เวฟโวลแทมโมแกรมจากการตรวจวัดสารละลายมาตรฐานนิกเกิล(II) เข้มข้น 5.0 มิลลิกรัมต่อลิตร ในสารละลายโซเดียมคลอไรด์เข้มข้น 0.6 โมลาร์ ด้วยซีควีนเซียลอินเจกชัน-สแควร์เวฟโวลแทมเมตรีโดยใช้ขั้วไฟฟ้าคาร์บอนพิมพ์สกรีน ล้างขั้วไฟฟ้าด้วยสารละลายกรดไฮโดรคลอริกพร้อมทั้งให้ศักย์ไฟฟ้า +2.0 V ได้ค่าเฉลี่ย 0.374 ไมโครแอมแปร์ ค่าเบี่ยงเบนมาตรฐาน (SD) 0.122 ไมโครแอมแปร์ และค่าเบี่ยงเบนมาตรฐานสัมพัทธ์ (RSD) 32.7%



รูปที่ 4.8(ข) ความสูงของพีคนิกเกิล(II) จากสแควร์เวฟโวลแทมโมแกรมจากการตรวจวัดสารละลายมาตรฐานนิกเกิล(II) เข้มข้น 10 มิลลิกรัมต่อลิตร ในสารละลายโซเดียมคลอไรด์เข้มข้น 0.6 โมลาร์ ด้วยซีควีนเซียลอินเจกชัน-สแควร์เวฟโวลแทมเมตรีโดยใช้ขั้วไฟฟ้าคาร์บอนพิมพ์สกรีน ล้างขั้วไฟฟ้าด้วยสารละลายกรดไฮโดรคลอริกพร้อมทั้งให้ศักย์ไฟฟ้า +1.5 โวลต์ ได้ค่าเฉลี่ย 0.400 ไมโครแอมแปร์ ค่าเบี่ยงเบนมาตรฐาน (SD) 0.066 ไมโครแอมแปร์ และค่าเบี่ยงเบนมาตรฐานสัมพัทธ์ (RSD) 16.4%



รูปที่ 4.8(ค) ความสูงของพีคกิกเกิล(II) จากสแควร์เวฟโวลแทมโมแกรมจากการตรวจวัดสารละลายมาตรฐานนิกเกิล(II) เข้มข้น 50 มิลลิกรัมต่อลิตร ในสารละลายโซเดียมคลอไรด์เข้มข้น 0.6 โมลาร์ ด้วยซีเควินเซียลอินเจกชัน-สแควร์เวฟโวลแทมเมตรีโดยใช้ขั้วไฟฟ้าคาร์บอนพิมพ์สกรีน ล้างขั้วไฟฟ้าด้วยสารละลายกรดไฮโดรคลอริกพร้อมทั้งให้ศักย์ไฟฟ้า +2.0 V ได้ค่าเฉลี่ย 2.420 ไมโครแอมแปร์ ค่าเบี่ยงเบนมาตรฐาน (SD) 0.955 ไมโครแอมแปร์ และค่าเบี่ยงเบนมาตรฐานสัมพัทธ์ (RSD) 39.5%

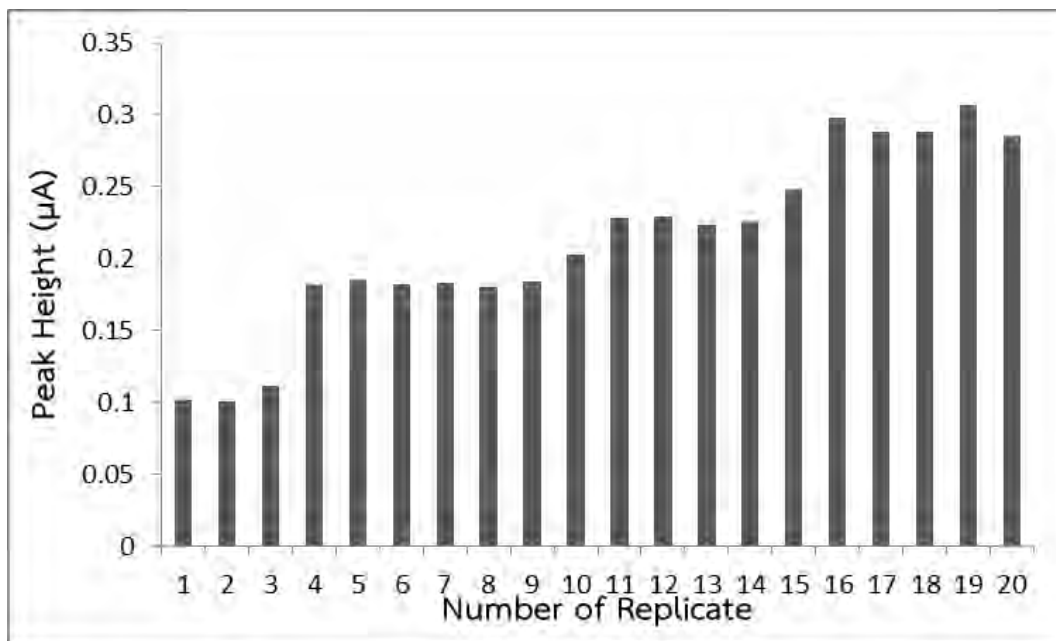
จากรูปที่ 4.8 แสดงให้เห็นว่า เมื่อทำการทดลองวิเคราะห์สารละลายนิกเกิล(II) ที่ความเข้มข้นต่าง ๆ คือ 5, 10 และ 50 มิลลิกรัมต่อลิตร ในสารละลายโซเดียมคลอไรด์เข้มข้น 0.6 โมลาร์ ซ้ำ 20 ครั้ง จะให้ค่าเบี่ยงเบนมาตรฐานสัมพัทธ์ (RSD) 32.7%, 16.4% และ 39.5% ตามลำดับ นั่นคือ สารละลายนิกเกิล(II) ความเข้มข้น 10 มิลลิกรัมต่อลิตร ให้ผลการทดลองทำซ้ำได้ดีที่สุดเมื่อเทียบกับความเข้มข้น 5 และ 50 มิลลิกรัมต่อลิตร

4.6 การศึกษาการดัดแปรขั้วไฟฟ้าคาร์บอนพิมพ์สกรีนด้วยฟิล์มบิสมัท

ทำการทดลองดัดแปรขั้วไฟฟ้าใช้งานคาร์บอนพิมพ์สกรีนด้วยฟิล์มบิสมัทโดยใช้ระบบซีเควินเซียลอินเจกชัน ดูดสารละลายบิสมัท(III) เข้มข้น 1 มิลลิกรัมต่อลิตร ในสารละลายโซเดียมคลอไรด์เข้มข้น 0.6 โมลาร์ เข้าไปใน holding coil แล้วผลักเข้าไปยังโพล์แคโทดพร้อมกับให้ศักย์ไฟฟ้า -1.5 โวลต์ เป็นเวลา 100 วินาที เพื่อรีดิวซ์ Bi(III) ให้เป็น Bi(s) ตกสะสมเป็นฟิล์มบนพื้นผิวของขั้วไฟฟ้าใช้งาน



จากนั้นทดลองวิเคราะห์สารละลายมาตรฐานนิกเกิล(II) เข้มข้น 10 มิลลิกรัมต่อลิตร ในสารละลายโซเดียมคลอไรด์เข้มข้น 0.6 โมลาร์ ด้วยซีเควินเซียลอินเจกชัน-สแควร์เวฟแอนอดิกสทริปปิงโวลแทมเมตรีโดยใช้ขั้วไฟฟ้าใช้งานคาร์บอนพิมพ์สกรีนดัดแปรด้วยฟิล์มบิสมัท ซ้ำ 20 ครั้ง ได้ผลการทดลองดังรูปที่ 4.9



รูปที่ 4.9 ความสูงของพีคนิกเกิล(II) จากสแควร์เวฟแอนโอดิกสทริปปิงโวลแทมโมแกรมจากการตรวจวัดสารละลายมาตรฐาน นิกเกิล(II) เข้มข้น 10 มิลลิกรัมต่อลิตร ในสารละลายโซเดียมคลอไรด์เข้มข้น 0.6 โมลาร์ ด้วยซีเควินเซียลอินเจ็กชัน-สแควร์เวฟแอนโอดิกสทริปปิงโวลแทมเมตรีโดยใช้ขั้วไฟฟ้าคาร์บอนพิมพ์สกรีนดัดแปรด้วยฟิล์มบิสมัท ได้ค่าเฉลี่ย 0.211 ไมโครแอมแปร์ ค่าเบี่ยงเบนมาตรฐาน (SD) 0.062 ไมโครแอมแปร์ และค่าเบี่ยงเบนมาตรฐานสัมพัทธ์ (RSD) 29.4%

จากผลการทดลองดังรูปที่ 4.9 พบว่า ค่าเบี่ยงเบนมาตรฐานสัมพัทธ์ (RSD) ของพีคนิกเกิล(II) มีค่าสูงถึง 29.4% แสดงว่าการใช้ดัดแปรขั้วไฟฟ้าคาร์บอนพิมพ์สกรีนด้วยฟิล์มบิสมัทไม่ได้ช่วยให้ขั้วไฟฟ้าได้ง่ายขึ้น ขั้วไฟฟ้าคาร์บอนพิมพ์สกรีนดัดแปรด้วยฟิล์มบิสมัทจึงไม่เหมาะสมสำหรับการวิเคราะห์ปริมาณนิกเกิล(II)

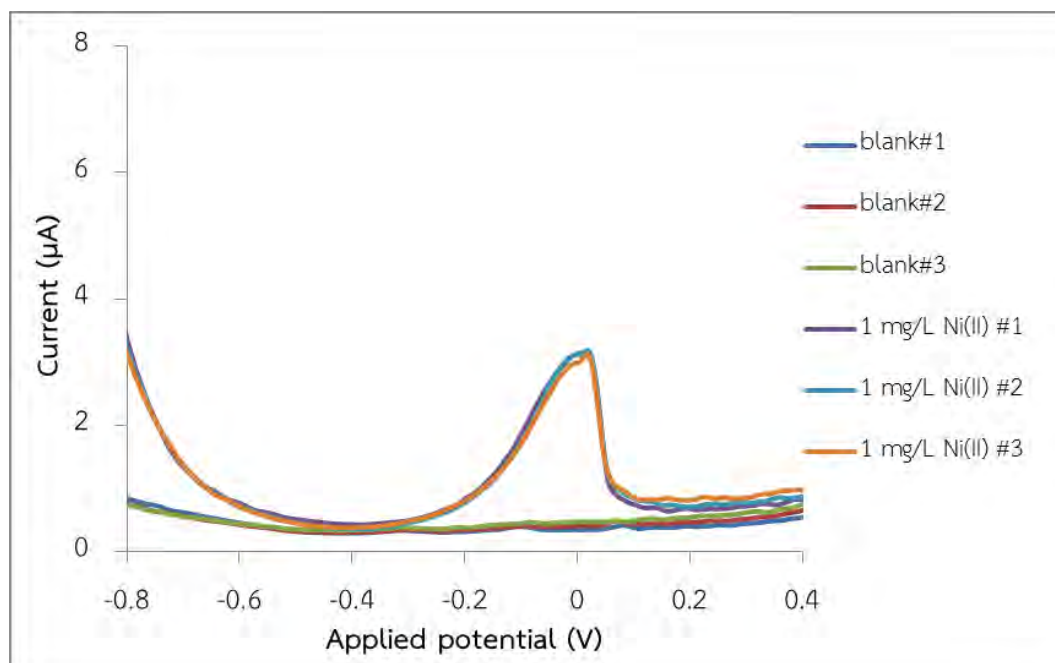
4.7 การศึกษาภาวะที่เหมาะสมในการวิเคราะห์นิกเกิล(II) ด้วยซีเควินเซียลอินเจ็กชัน-สแควร์เวฟแอนโอดิกสทริปปิงโวลแทมเมตรีโดยใช้ขั้วไฟฟ้าใช้งานคาร์บอนพิมพ์สกรีน

จากการศึกษาที่ผ่านมาพบว่า การวิเคราะห์หาปริมาณนิกเกิล(II) จากการให้นิกเกิล(II) ทำปฏิกิริยากับโซเดียมไฮดรอกไซด์ นั้นไม่เหมาะสมสำหรับการวิเคราะห์ด้วยเทคนิคสแควร์เวฟโวลแทมเมตรี เนื่องจากการทดลองด้วยระบบซีเควินเซียลอินเจ็กชัน นั้นเป็นระบบที่อาศัยการไหลของสารผ่านโพล์เซลล์ ดังนั้นหากไม่สามารถล้างขั้วไฟฟ้าภายในครั้งเดียวได้และต้องมีการเปลี่ยนขั้วไฟฟ้าในการตรวจวัดแต่ละครั้ง จะไม่สะดวกและเสียเวลาในการวิเคราะห์ จึงเปลี่ยนมาทำการวิเคราะห์หาปริมาณนิกเกิล(II) ด้วยเทคนิคสแควร์เวฟแอนโอดิกสทริปปิงโวลแทมเมตรี โดยลดขั้นตอนการเกิดนิกเกิลไฮดรอกไซด์ ซึ่งสัญญาณของกระแสไฟฟ้าที่เกิดขึ้นจากปฏิกิริยาดังนี้



4.7.1 การศึกษาสัญญาณของโวลแทมโมแกรมที่เกิดขึ้น

จากการทดลองวิเคราะห์สารละลายมาตรฐานนิกเกิล(II) เข้มข้น 1 มิลลิกรัมต่อลิตร ในสารละลายโซเดียมคลอไรด์เข้มข้น 0.6 โมลาร์ ด้วยซีเควินเซียมอินเจกชัน-สแควร์เวฟแอนโนติกสทริปปิงโวลแทมเมตรีโดยใช้ขั้วไฟฟ้าคาร์บอนพิมพ์สกรีน ซ้ำ 3 ครั้ง ได้สแควร์เวฟแอนโนติกสทริปปิงโวลแทมโมแกรม ดังรูปที่ 4.10

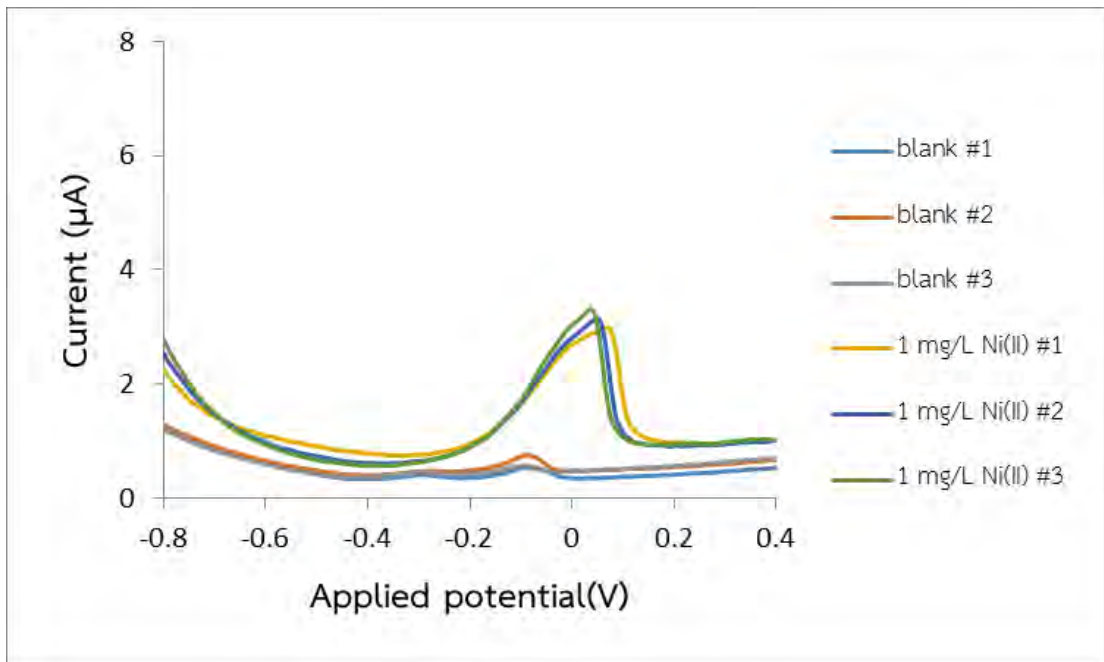


รูปที่ 4.10 สแควร์เวฟแอนโนติกสทริปปิงโวลแทมโมแกรมจากการตรวจวัดสารละลายมาตรฐานนิกเกิล(II) เข้มข้น 1 มิลลิกรัมต่อลิตร ในสารละลายโซเดียมคลอไรด์เข้มข้น 0.6 โมลาร์ ด้วยซีเควินเซียมอินเจกชัน-สแควร์เวฟแอนโนติกสทริปปิงโวลแทมเมตรีโดยใช้ขั้วไฟฟ้าคาร์บอนพิมพ์สกรีน

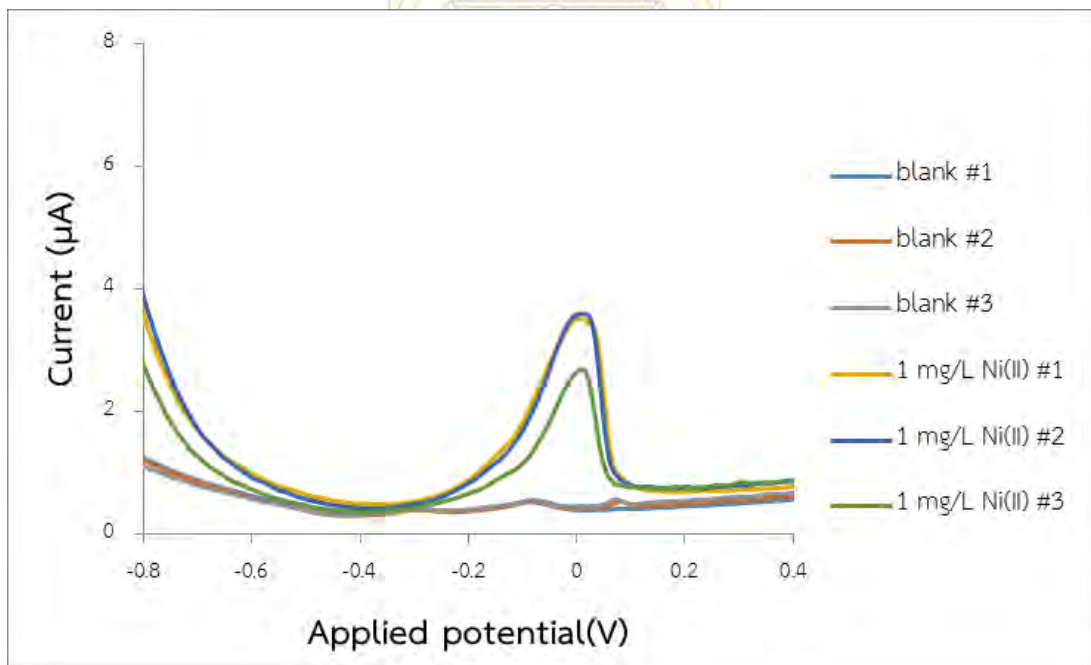
จากรูปที่ 4.10 แสดงให้เห็นว่า พีคของนิกเกิล(II) เข้มข้น 1 มิลลิกรัมต่อลิตร ในสารละลายโซเดียมคลอไรด์เข้มข้น 0.6 โมลาร์ ที่เกิดขึ้นเมื่อทำการทดลองวิเคราะห์ซ้ำ 3 ครั้ง มีความสูงและลักษณะของพีคใกล้เคียงกันมาก

4.7.2 การศึกษาศักย์ไฟฟ้าตกสะสม (Deposition potential) ที่เหมาะสม

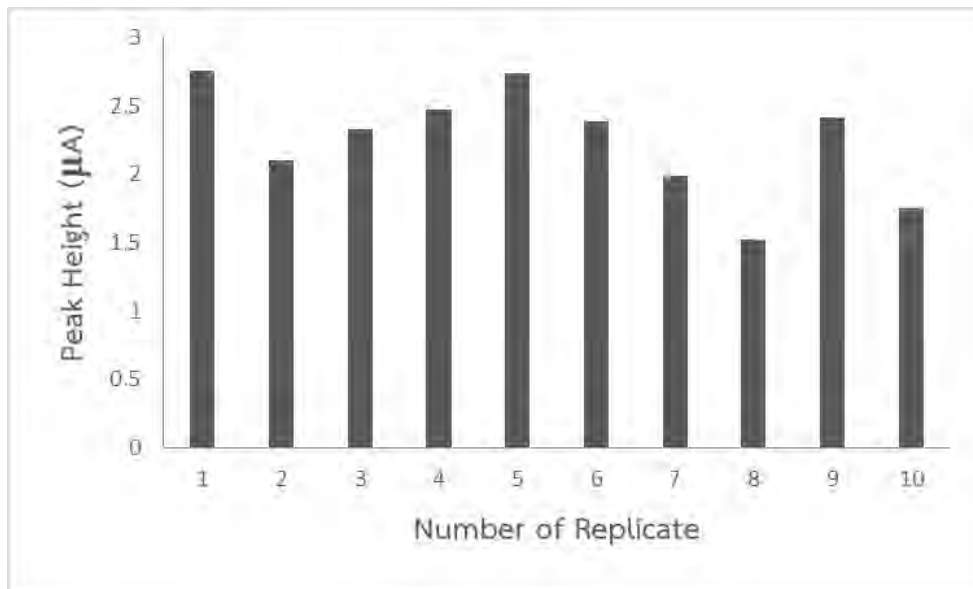
จากการทดลองวิเคราะห์สารละลายมาตรฐานนิกเกิล(II) เข้มข้น 1 มิลลิกรัมต่อลิตร ในสารละลายโซเดียมคลอไรด์เข้มข้น 0.6 โมลาร์ ด้วยซีเควินเซียมอินเจกชัน-สแควร์เวฟแอนโนติกสทริปปิงโวลแทมเมตรีโดยใช้ขั้วไฟฟ้าคาร์บอนพิมพ์สกรีน และให้ศักย์ไฟฟ้าในขั้นตอนการตกสะสมนิกเกิลบนขั้วไฟฟ้าใช้งานเป็น -1.4 และ -1.5 โวลต์ ซ้ำ 10 ครั้ง ได้โวลแทมโมแกรมดังรูปที่ 4.11 วัดความสูงของพีคนิกเกิล(II) หาค่าเฉลี่ย ค่าเบี่ยงเบนมาตรฐาน (SD) และร้อยละของค่าเบี่ยงเบนมาตรฐานสัมพัทธ์ (%RSD) ได้ดังรูปที่ 4.12 จะเห็นได้ว่า เมื่อใช้ศักย์ไฟฟ้าตกสะสมเป็น -1.4 และ -1.5 โวลต์ จะให้ค่าเบี่ยงเบนมาตรฐานสัมพัทธ์ (RSD) 8.55% และ 17.9% ตามลำดับ นั่นคือการใช้ศักย์ไฟฟ้าตกสะสม -1.4 โวลต์ จะทำให้ผลการวิเคราะห์ที่มีความเที่ยงสูงกว่า



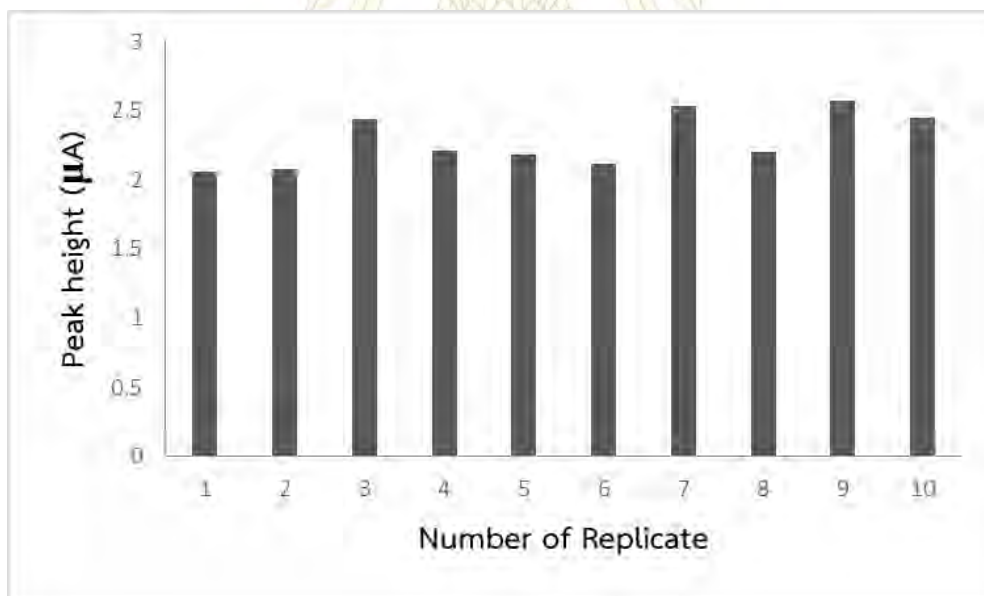
รูปที่ 4.11(ก) สแควร์เวฟแอนโอดิกสทริปปิงโวลแทมโมแกรมจากการตรวจวัดสารละลายมาตรฐานนิกเกิล(II) เข้มข้น 1 มิลลิกรัม ต่อลิตร ในสารละลายโซเดียมคลอไรด์เข้มข้น 0.6 โมลาร์ ด้วยซีเควินเซียมอินเจกชัน-สแควร์เวฟแอนโอดิกสทริปปิงโวลแทมเมตรีโดยใช้ขั้วไฟฟ้าคาร์บอนพิมพ์สกรีน เมื่อใช้ศักย์ไฟฟ้าตกสะสม -1.5 โวลต์



รูปที่ 4.11(ข) สแควร์เวฟแอนโอดิกสทริปปิงโวลแทมโมแกรมจากการตรวจวัดสารละลายมาตรฐานนิกเกิล(II) เข้มข้น 1 มิลลิกรัม ต่อลิตร ในสารละลายโซเดียมคลอไรด์เข้มข้น 0.6 โมลาร์ ด้วยซีเควินเซียมอินเจกชัน-สแควร์เวฟแอนโอดิกสทริปปิงโวลแทมเมตรีโดยใช้ขั้วไฟฟ้าคาร์บอนพิมพ์สกรีน เมื่อใช้ศักย์ไฟฟ้าตกสะสม -1.4 โวลต์



รูปที่ 4.12(ก) ความสูงของพีคนิกเกิล(II) จากสแควร์เวฟแอนโอดิกสทริปปิงโวลแทมโมแกรมจากการตรวจวัดสารละลายมาตรฐาน นิกเกิล(II) เข้มข้น 1 มิลลิกรัมต่อลิตร ในสารละลายโซเดียมคลอไรด์เข้มข้น 0.6 โมลาร์ ด้วยซีควีนเซียลอินเจกชัน-สแควร์เวฟแอนโอดิกสทริปปิงโวลแทมเมตรีโดยใช้ขั้วไฟฟ้าคาร์บอนพิมพ์สกรีน และใช้ศักย์ไฟฟ้าตกสะสม -1.5 โวลต์ ได้ค่าเฉลี่ย 2.248 ไมโครแอมแปร์ ค่าเบี่ยงเบนมาตรฐาน (SD) 0.403 ไมโครแอมแปร์ และค่าเบี่ยงเบนมาตรฐานสัมพัทธ์ (RSD) 17.9%

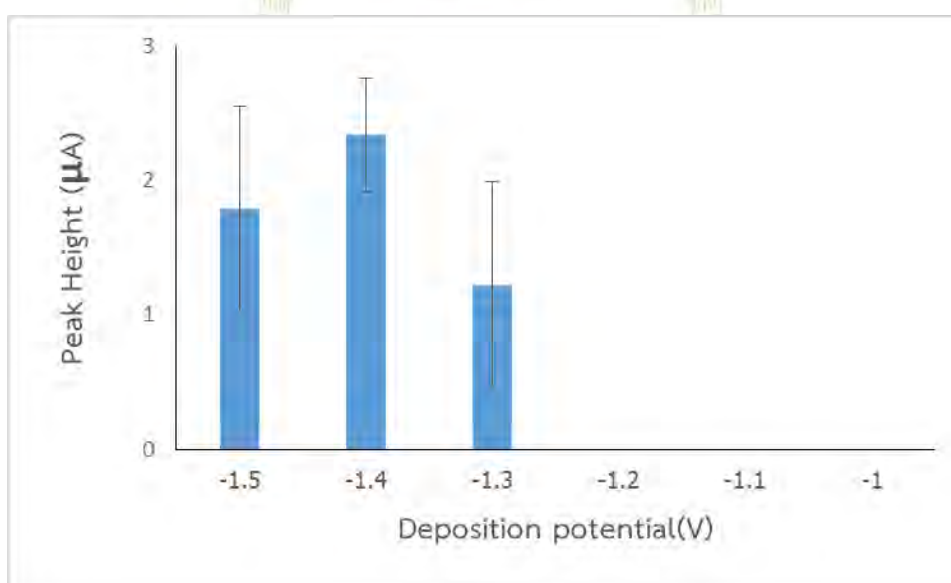


รูปที่ 4.12(ข) ความสูงของพีคนิกเกิล(II) จากสแควร์เวฟแอนโอดิกสทริปปิงโวลแทมโมแกรมจากการตรวจวัดสารละลายมาตรฐาน นิกเกิล(II) เข้มข้น 1 มิลลิกรัมต่อลิตร ในสารละลายโซเดียมคลอไรด์เข้มข้น 0.6 โมลาร์ ด้วยซีควีนเซียลอินเจกชัน-สแควร์เวฟแอนโอดิกสทริปปิงโวลแทมเมตรีโดยใช้ขั้วไฟฟ้าคาร์บอนพิมพ์สกรีน และใช้ศักย์ไฟฟ้าตกสะสม -1.4 โวลต์ ได้ค่าเฉลี่ย 2.284 ไมโครแอมแปร์ ค่าเบี่ยงเบนมาตรฐาน (SD) 0.195 ไมโครแอมแปร์ และค่าเบี่ยงเบนมาตรฐานสัมพัทธ์ (RSD) 8.55%

จากการทดลองวิเคราะห์สารละลายมาตรฐานนิกเกิล(II) เข้มข้น 1 มิลลิกรัมต่อลิตร ในสารละลายโซเดียมคลอไรด์เข้มข้น 0.6 โมลาร์ ด้วยซีเคิร์นซีลอินเจ็กชัน-สแควร์เวฟแอนโอดิกสทริปปิงโวลแทมเมตรีโดยใช้ขั้วไฟฟ้าคาร์บอนพิมพ์สกรีน และใช้ศักย์ไฟฟ้าในขั้นตอนการตกสะสมต่าง ๆ คือ -1.5, -1.4, -1.3, -1.2, -1.1 และ -1.0 โวลต์ โดยทำการทดลองซ้ำ 3 ครั้ง วัดความสูงของพีคนิกเกิล(II) จากแอนโอดิกสทริปปิงโวลแทมโมแกรม หาค่าเฉลี่ย และค่าเบี่ยงเบนมาตรฐาน (SD) ได้ผลดังตารางที่ 4.1 กราฟแสดงความสัมพันธ์ระหว่างค่าสัญญาณกระแสไฟฟ้าเฉลี่ยกับศักย์ไฟฟ้าตกสะสมเป็นดังรูปที่ 4.13

ตารางที่ 4.1 ความสูงของพีคนิกเกิล(II) จากสแควร์เวฟแอนโอดิกสทริปปิงโวลแทมโมแกรมจากการตรวจวัดสารละลายมาตรฐานนิกเกิล(II) เข้มข้น 1 มิลลิกรัมต่อลิตร ในสารละลายโซเดียมคลอไรด์เข้มข้น 0.6 โมลาร์ โดยใช้ศักย์ไฟฟ้าตกสะสม (deposition potential) ต่าง ๆ กัน

ศักย์ไฟฟ้าตกสะสม (V)	ความสูงของพีคนิกเกิล(II) (μA)					ค่าเฉลี่ย	ค่าเบี่ยงเบน มาตรฐาน
	ครั้งที่ 1	ครั้งที่ 2	ครั้งที่ 3	ครั้งที่ 4	ครั้งที่ 5		
-1.5	1.162	2.119	2.950	1.113	1.59	1.788	0.766
-1.4	2.534	2.983	2.117	1.924	2.127	2.337	0.424
-1.3	2.397	1.196	1.405	0.6900	0.3914	1.216	0.773
-1.2	0	0	0	0	0	0	0
-1.1	0	0	0	0	0	0	0
-1.0	0	0	0	0	0	0	0

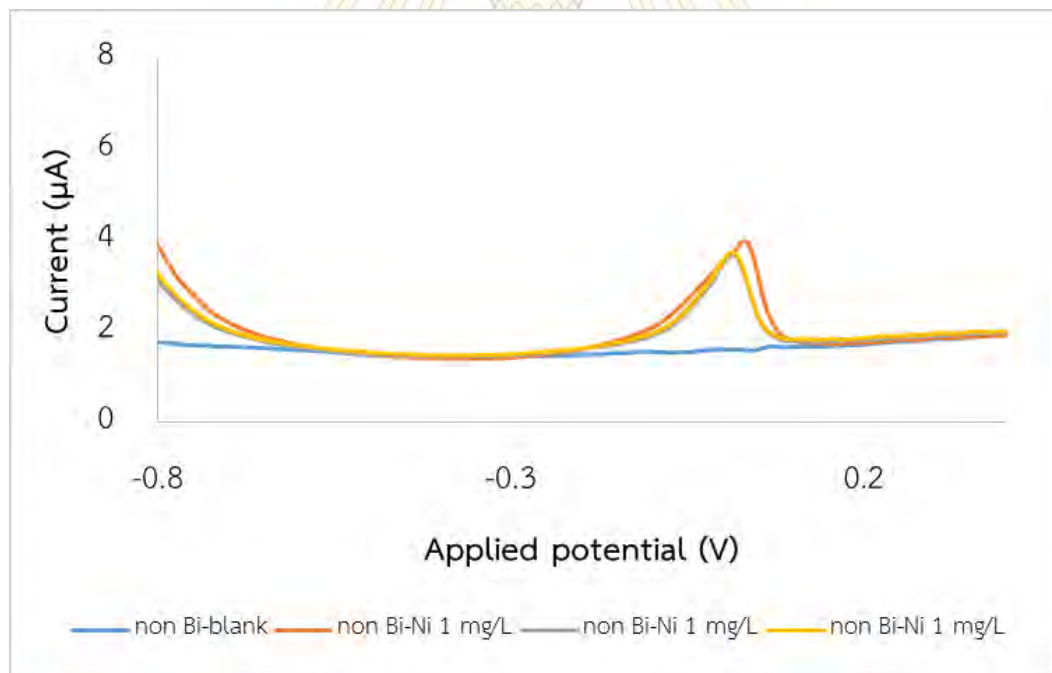


รูปที่ 4.13 ผลของศักย์ไฟฟ้าตกสะสม (deposition potential) ต่อความสูงของพีคนิกเกิล(II) ที่ตรวจวัดได้ด้วยซีเควินเซียลอินเจกชัน-สแควร์เวฟแอนโอดิกสทริปปิงโวลแทมเมตรีโดยใช้ศักย์ไฟฟ้าตกสะสม (deposition potential) ต่าง ๆ

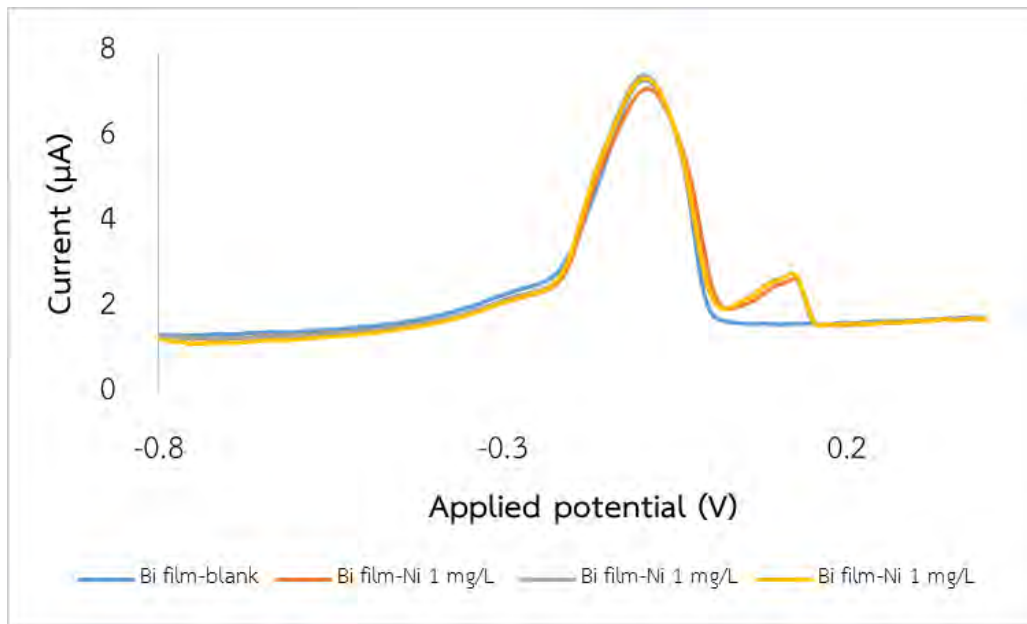
รูปที่ 4.13 แสดงให้เห็นว่า เมื่อให้ศักย์ไฟฟ้าตกสะสมไปทางลบเพิ่มขึ้น สัญญาณกระแสไฟฟ้าที่ตรวจวัดได้จะสูงขึ้น โดยศักย์ไฟฟ้าตกสะสม -1.4 โวลต์ จะให้ความสูงของพีคเฉลี่ยสูงที่สุด และค่าเบี่ยงเบนมาตรฐานน้อยที่สุด จึงเลือกใช้ศักย์ไฟฟ้าตกสะสม -1.4 โวลต์ ในการวิเคราะห์สารละลายนิกเกิล(II) ด้วยซีเควินเซียลอินเจกชัน-สแควร์เวฟแอนโอดิกสทริปปิงโวลแทมเมตรีโดยใช้ขั้วไฟฟ้าคาร์บอนพิมพ์สกรีน

4.7.3 การศึกษาสัญญาณกระแสไฟฟ้าเมื่อตัดแปรขั้วไฟฟ้าคาร์บอนพิมพ์สกรีนด้วยฟิล์มบิสมัท

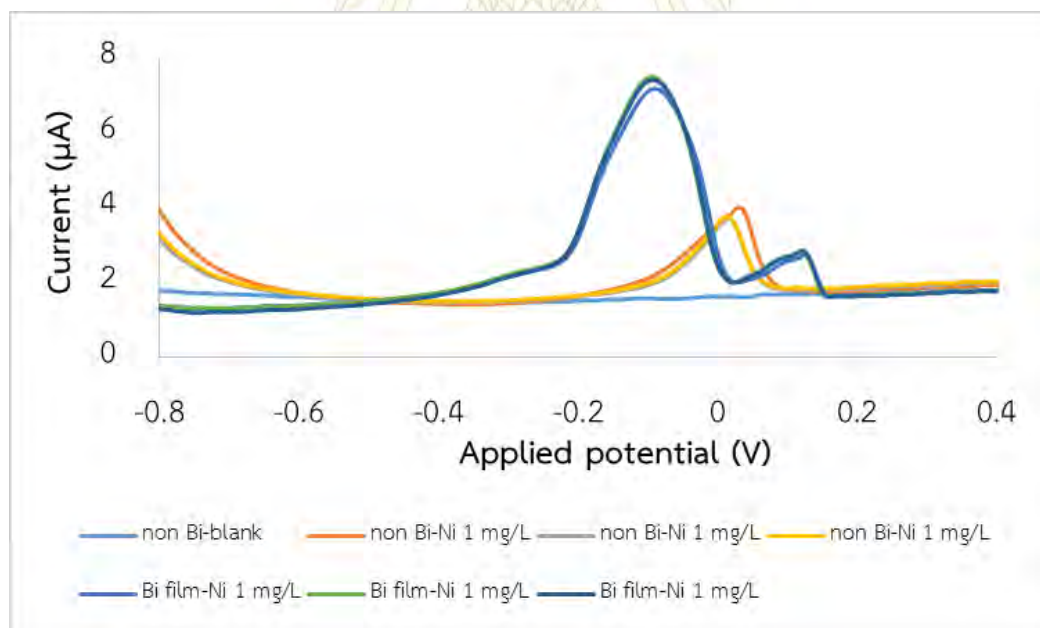
จากการทดลองตัดแปรขั้วไฟฟ้าคาร์บอนพิมพ์สกรีนด้วยฟิล์มบิสมัท แล้ววิเคราะห์สารละลายมาตรฐานนิกเกิล(II) เข้มข้น 1 มิลลิกรัมต่อลิตร ในสารละลายโซเดียมคลอไรด์เข้มข้น 0.6 โมลาร์ ด้วยซีเควินเซียลอินเจกชัน-สแควร์เวฟแอนโอดิกสทริปปิงโวลแทมเมตรีโดยใช้ขั้วไฟฟ้าคาร์บอนพิมพ์สกรีนตัดแปรด้วยฟิล์มบิสมัท ได้แอนโอดิกสทริปปิงโวลแทมโมแกรม ดังรูปที่ 4.14



รูปที่ 4.14(ก) สแควร์เวฟแอนโอดิกสทริปปิงโวลแทมโมแกรมจากการตรวจวัดสารละลายมาตรฐานนิกเกิล(II) เข้มข้น 1 มิลลิกรัมต่อลิตร ในสารละลายโซเดียมคลอไรด์เข้มข้น 0.6 โมลาร์ ด้วยซีเควินเซียลอินเจกชัน-สแควร์เวฟแอนโอดิกสทริปปิงโวลแทมเมตรีโดยใช้ขั้วไฟฟ้าคาร์บอนพิมพ์สกรีนที่ไม่ได้ตัดแปร



รูปที่ 4.14(ข) สแควร์เวฟแอโนดิกสทริปปิงโวลแทมโมแกรมจากการตรวจวัดสารละลายมาตรฐานนิกเกิล(II) เข้มข้น 1 มิลลิกรัม ต่อลิตร ในสารละลายโซเดียมคลอไรด์เข้มข้น 0.6 โมลาร์ ด้วยซีควีนเซียลอินเจกชัน-สแควร์เวฟแอโนดิกสทริปปิงโวลแทมเมตรีโดยใช้ขั้วไฟฟ้าคาร์บอนพิมพ์สกรีนดัดแปรด้วยฟิล์มบิสมัท

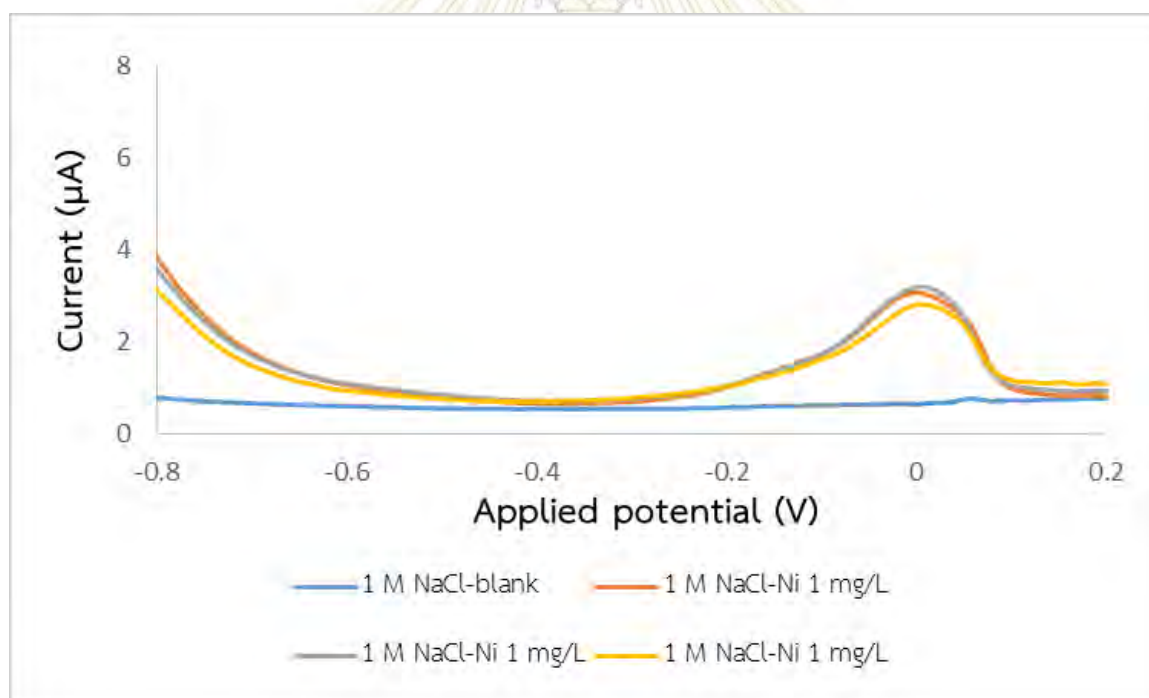


รูปที่ 4.14(ค) สแควร์เวฟแอโนดิกสทริปปิงโวลแทมโมแกรมจากการตรวจวัดสารละลายมาตรฐานนิกเกิล(II) เข้มข้น 1 มิลลิกรัม ต่อลิตร ในสารละลายโซเดียมคลอไรด์เข้มข้น 0.6 โมลาร์ ด้วยซีควีนเซียลอินเจกชัน-สแควร์เวฟแอโนดิกสทริปปิงโวลแทมเมตรี โดยใช้ขั้วไฟฟ้าคาร์บอนพิมพ์สกรีนเปรียบเทียบกับขั้วไฟฟ้าคาร์บอนพิมพ์สกรีนดัดแปรด้วยฟิล์มบิสมัท

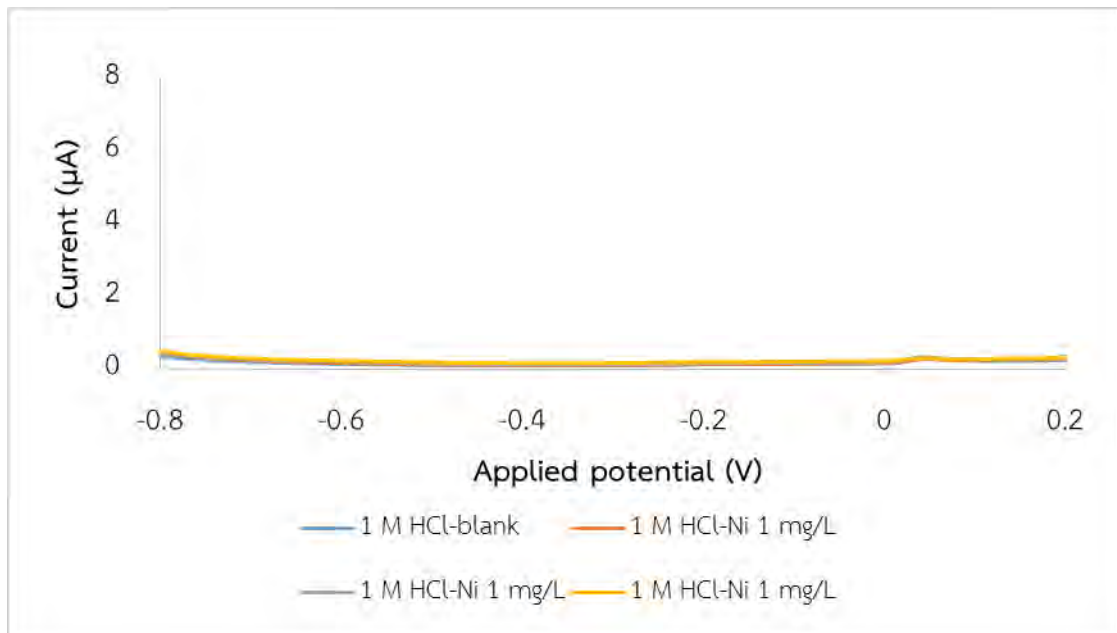
จากรูปที่ 4.14 จะเห็นว่า เมื่อใช้ขั้วไฟฟ้าใช้งานคาร์บอนพิมพ์สกรีน พิกของนิกเกิล(II) ที่เกิดขึ้นสูงกว่าพิกของนิกเกิล(II) เมื่อใช้ขั้วไฟฟ้าคาร์บอนพิมพ์สกรีนดัดแปรด้วยฟิล์มบิสมัท จึงสรุปได้ว่า การตรวจวัดนิกเกิล(II) ด้วยซีเควินเซียลอินเจ็กชัน-สแควร์เวฟแอนโอดิกสทริปปิงโวลแทมเมตรีโดยใช้ขั้วไฟฟ้าคาร์บอนพิมพ์สกรีนจะให้สภาพไว (sensitivity) สูงกว่าขั้วไฟฟ้าคาร์บอนพิมพ์สกรีนดัดแปรด้วยฟิล์มบิสมัทสทริปปิง

4.7.4 การศึกษาชนิดของสารละลายอิเล็กโทรไลต์ที่เหมาะสม

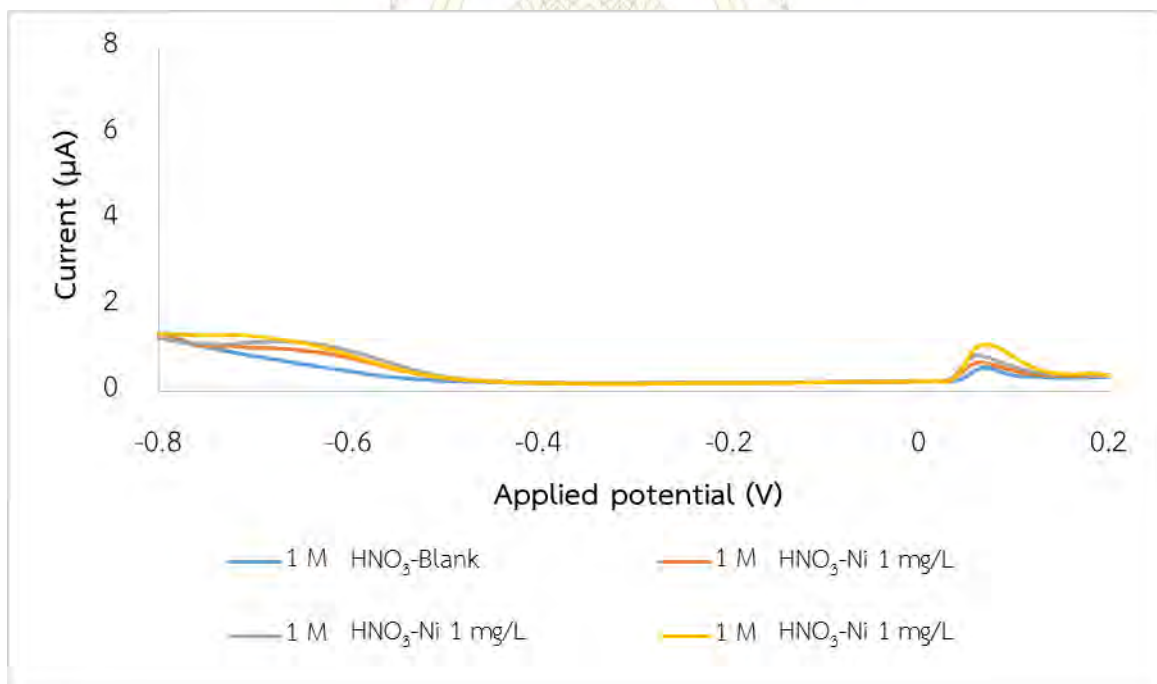
จากการเปรียบเทียบการใช้สารละลายอิเล็กโทรไลต์ชนิดต่าง ๆ คือสารละลายโซเดียมคลอไรด์ (NaCl) สารละลายกรดไฮโดรคลอริก (HCl) สารละลายกรดไนตริก (HNO_3) และสารละลายกรดซัลฟิวริก (H_2SO_4) เข้มข้น 1 โมลาร์ ในการวิเคราะห์สารละลายมาตรฐานนิกเกิล(II) เข้มข้น 1 มิลลิกรัมต่อลิตร ด้วยซีเควินเซียลอินเจ็กชัน-สแควร์เวฟแอนโอดิกสทริปปิงโวลแทมเมตรีโดยใช้ขั้วไฟฟ้าคาร์บอนพิมพ์สกรีน จะได้สแควร์เวฟแอนโอดิกสทริปปิงโวลแทมโมแกรมดังรูปที่ 4.15



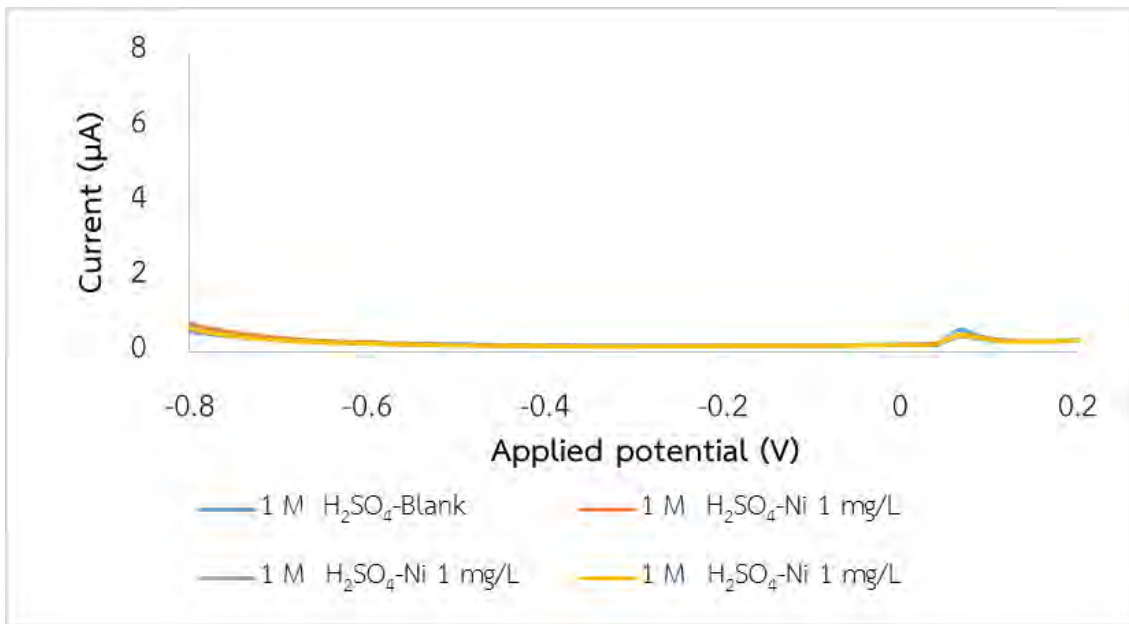
รูปที่ 4.15(ก) สแควร์เวฟแอนโอดิกสทริปปิงโวลแทมโมแกรมจากการตรวจวัดสารละลายมาตรฐานนิกเกิล(II) เข้มข้น 1 มิลลิกรัมต่อลิตร ในสารละลายโซเดียมคลอไรด์ (NaCl) เข้มข้น 1 โมลาร์ ด้วยซีเควินเซียลอินเจ็กชัน-สแควร์เวฟแอนโอดิกสทริปปิงโวลแทมเมตรีโดยใช้ขั้วไฟฟ้าคาร์บอนพิมพ์สกรีน



รูปที่ 4.15(ข) สแควร์เวฟแอนโนติกสทริปปิงโวลแทมโมแกรมจากการตรวจวัดสารละลายมาตรฐานนิกเกิล(II) เข้มข้น 1 มิลลิกรัมต่อลิตร ในสารละลายกรดไฮโดรคลอริก (HCl) เข้มข้น 1 โมลาร์ ด้วยซีเควินซีลอินเจ็กชัน-สแควร์เวฟแอนโนติกสทริปปิงโวลแทมเมตรีโดยใช้ขั้วไฟฟ้าคาร์บอนพิมพ์สกีน



รูปที่ 4.15(ค) สแควร์เวฟแอนโนติกสทริปปิงโวลแทมโมแกรมจากการตรวจวัดสารละลายมาตรฐานนิกเกิล(II) เข้มข้น 1 มิลลิกรัมต่อลิตร ในสารละลายกรดไนตริก (HNO₃) เข้มข้น 1 โมลาร์ ด้วยซีเควินซีลอินเจ็กชัน-สแควร์เวฟแอนโนติกสทริปปิงโวลแทมเมตรีโดยใช้ขั้วไฟฟ้าคาร์บอนพิมพ์สกีน



รูปที่ 4.15(ง) สแควร์เวฟแอโนดิกสทริปปิงโวลแทมโมแกรมจากการตรวจวัดสารละลายมาตรฐานนิกเกิล(II) เข้มข้น 1 มิลลิกรัมต่อลิตร ในสารละลายกรดซัลฟิวริก (H_2SO_4) เข้มข้น 1 โมลาร์ ด้วยซีเควินเซียมอินเจกชัน-สแควร์เวฟแอโนดิกสทริปปิงโวลแทมเมตรีโดยใช้ขั้วไฟฟ้าคาร์บอนพิมพ์สกรีน

จากรูปที่ 4.15 พบว่าเมื่อใช้สารละลายโซเดียมคลอไรด์เป็นสารละลายอิเล็กโทรไลต์ สัญญาณกระแสไฟฟ้าของนิกเกิล(II) จะมีค่าสูงที่สุด

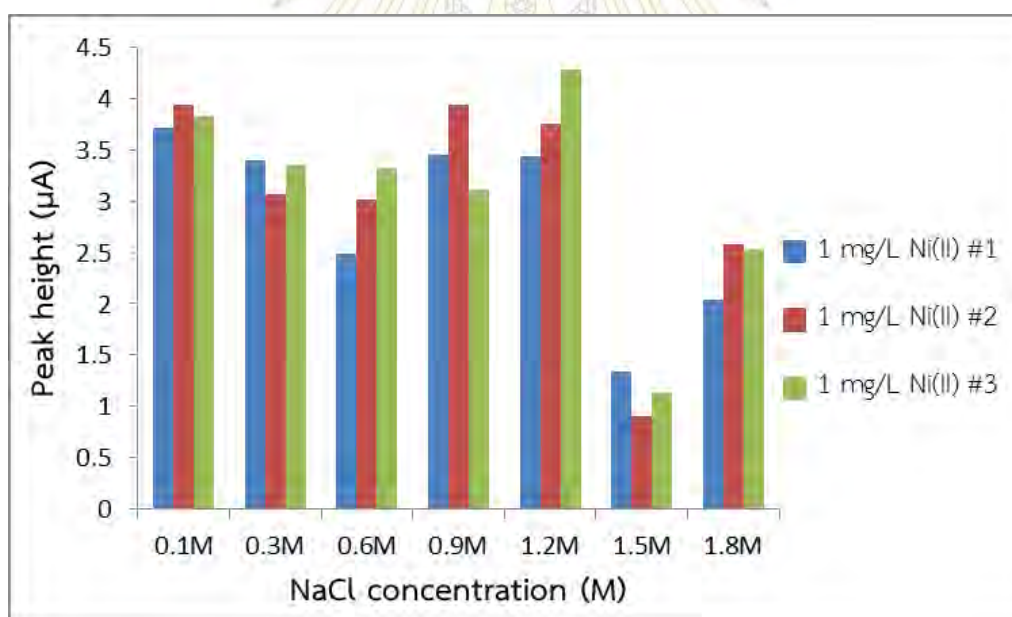
4.7.5 การศึกษาความเข้มข้นของสารละลายอิเล็กโทรไลต์โซเดียมคลอไรด์ที่เหมาะสม

จากการเปรียบเทียบการใช้สารละลายโซเดียมคลอไรด์ ความเข้มข้นต่าง ๆ คือ 0.1, 0.3, 0.6, 0.9, 1.2, 1.5 และ 1.8 โมลาร์ เป็นสารละลายอิเล็กโทรไลต์ในการวิเคราะห์สารละลายมาตรฐานนิกเกิล(II) เข้มข้น 1 มิลลิกรัมต่อลิตร ด้วยซีเควินเซียมอินเจกชัน-สแควร์เวฟแอโนดิกสทริปปิงโวลแทมเมตรีโดยใช้ขั้วไฟฟ้าคาร์บอนพิมพ์สกรีน จะได้ความสูงของพีคนิกเกิล(II) ดังตารางที่ 4.2

คณะวิทยาศาสตร์
จุฬาลงกรณ์มหาวิทยาลัย

ตารางที่ 4.2 ความสูงของพีกนิกเกิล(II) จากสแควร์เวฟแอนโอดิกสทริปปิงโวลแทมโมแกรมที่ได้จากการตรวจวัดสารละลายมาตรฐานนิกเกิล(II) เข้มข้น 1 มิลลิกรัมต่อลิตร ในสารละลายอิเล็กโทรไลต์โซเดียมคลอไรด์ ความเข้มข้นต่าง ๆ

ความเข้มข้นของสารละลายโซเดียมคลอไรด์	ความสูงของพีกนิกเกิล(II) (μA)					%RSD
	ครั้งที่ 1	ครั้งที่ 2	ครั้งที่ 3	ค่าเฉลี่ย	ค่าเบี่ยงเบนมาตรฐาน	
0.1 M	3.711	3.932	3.832	3.825	0.1101	2.89
0.3 M	3.393	3.061	3.341	3.265	0.1785	5.46
0.6 M	2.484	3.011	3.313	2.936	0.4194	14.2
0.9 M	3.446	3.937	3.104	3.496	0.4183	11.9
1.2 M	3.433	3.757	4.273	3.821	0.4234	11.0
1.5 M	1.335	0.9	1.135	1.123	0.2173	19.3
1.8 M	2.042	2.582	2.528	2.384	0.2971	12.5



รูปที่ 4.16 ความสูงของพีกนิกเกิล(II) จากสแควร์เวฟแอนโอดิกสทริปปิงโวลแทมโมแกรมที่ได้จากการตรวจวัดสารละลายมาตรฐานนิกเกิล(II) เข้มข้น 1 มิลลิกรัมต่อลิตร ในสารละลายโซเดียมคลอไรด์ ความเข้มข้นต่าง ๆ กัน ด้วยซีเคิร์นเซียลอินเจ็กชัน-สแควร์เวฟแอนโอดิกสทริปปิงโวลแทมเมตรี โดยใช้ขั้วไฟฟ้าคาร์บอนพิมพ์สกรีน

จากตารางที่ 4.2 และรูปที่ 4.16 พบว่าการวิเคราะห์สารละลายมาตรฐานนิกเกิล(II) เข้มข้น 1 มิลลิกรัมต่อลิตร ในสารละลายอิเล็กโทรไลต์โซเดียมคลอไรด์ ความเข้มข้น 0.1 โมลาร์ และ 1.2 โมลาร์ ให้พีกนิกเกิล(II) ที่มีความสูงเฉลี่ยมากที่สุด อย่างไรก็ตามเมื่อใช้สารละลายโซเดียมคลอไรด์เข้มข้น 0.1 โมลาร์ ค่าเบี่ยงเบนมาตรฐานสัมพัทธ์ (%RSD) ของความสูงของ

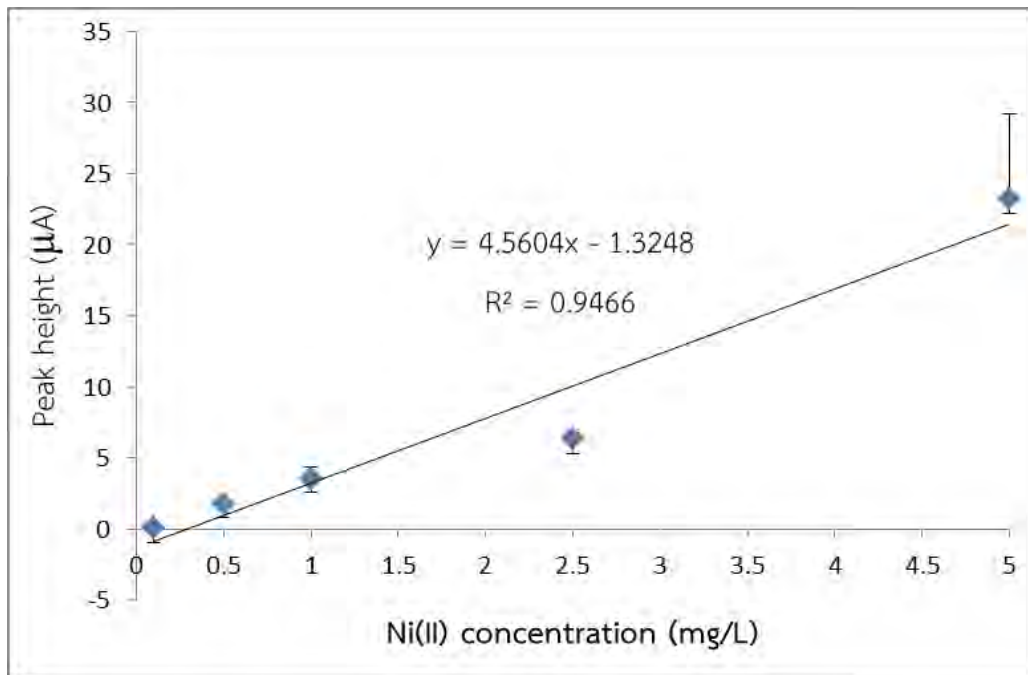
ฟิสิกเกิล(II) จากการทดลองซ้ำ 3 ครั้งมีค่า 2.89% ซึ่งน้อยกว่าค่าเบี่ยงเบนมาตรฐานสัมพัทธ์ของความสูงของฟิสิกเมื่อใช้สารละลายโซเดียมคลอไรด์เข้มข้น 1.2 โมลาร์มาก ดังนั้นในการวิจัยนี้จึงเลือกใช้สารละลายโซเดียมคลอไรด์เข้มข้น 0.1 โมลาร์ เป็นสารละลายอิเล็กโทรไลต์

4.8 การสร้างกราฟเทียบมาตรฐาน (calibration curve)

จากการทดลองวิเคราะห์สารละลายมาตรฐานฟิสิกเกิล(II) ความเข้มข้นต่าง ๆ คือ 0.10, 0.50, 1.0, 2.5 และ 5.0 มิลลิกรัมต่อลิตร ด้วยซีเควินเซียลอินเจกชัน-สแควร์เวฟแอนดิกสทริปปิงโวลแทมเมตรีโดยใช้ขั้วไฟฟ้าคาร์บอนพิมพ์สกรีน ที่ภาวะเหมาะสมคือ ใช้สารละลายโซเดียมคลอไรด์เข้มข้น 0.1 โมลาร์ เป็นสารละลายอิเล็กโทรไลต์ และใช้ศักย์ไฟฟ้าตกสะสม (deposition potential) -1.4 โวลต์ ได้ความสูงของฟิสิกเกิล(II) ดังตารางที่ 4.3

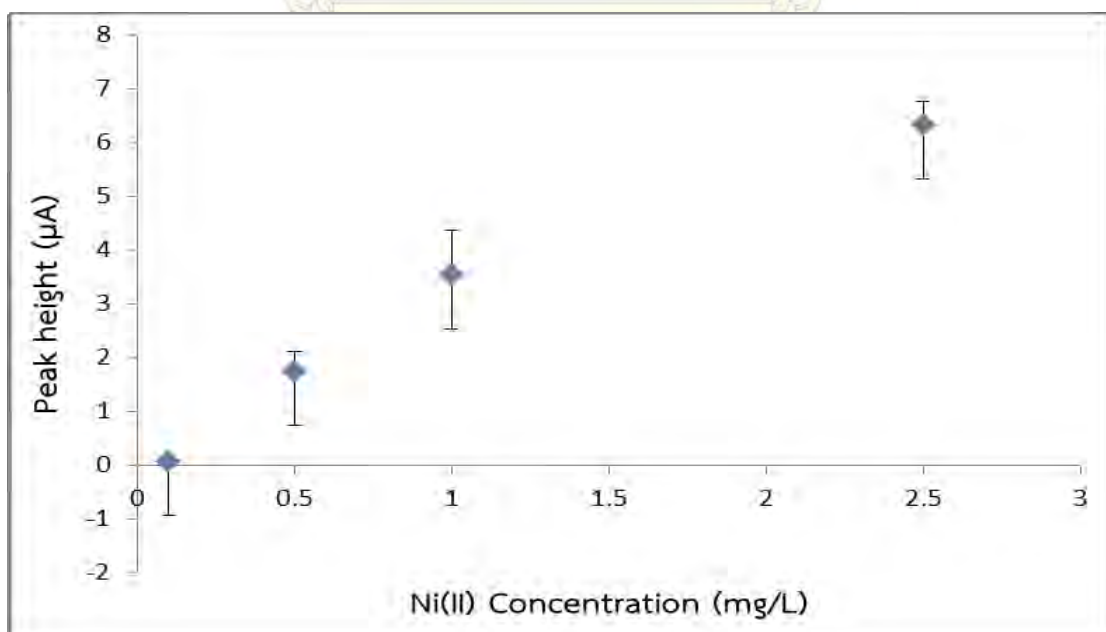
ตารางที่ 4.3 ความสูงของฟิสิกเกิล(II) จากโวลแทมโมแกรมที่ได้จากการตรวจวัดสารละลายมาตรฐานฟิสิกเกิล(II) ที่ความเข้มข้น 0.1–5.0 มิลลิกรัมต่อลิตร ด้วยซีเควินเซียลอินเจกชัน-สแควร์เวฟแอนดิกสทริปปิงโวลแทมเมตรีโดยใช้ขั้วไฟฟ้าใช้งานคาร์บอนพิมพ์สกรีน ที่ภาวะเหมาะสม

ความเข้มข้นของสารละลายมาตรฐาน ฟิสิกเกิล(II) (มิลลิกรัมต่อลิตร)	ความสูงของฟิสิกเกิล(II) (μA)					%RSD
	ครั้งที่ 1	ครั้งที่ 2	ครั้งที่ 3	ค่าเฉลี่ย	ค่าเบี่ยงเบน มาตรฐาน	
0.10	0.0706	0.0607	0.0812	0.0708	0.0102	14.4
0.50	1.344	1.859	2.063	1.755	0.371	21.1
1.0	2.662	3.632	4.309	3.534	0.828	23.4
2.5	6.097	6.833	6.018	6.316	0.450	7.12
5.0	25.64	27.56	16.385	23.2	5.978	25.7



รูปที่ 4.17 กราฟเทียบมาตรฐานสำหรับการวิเคราะห์ปริมาณนิกเกิล(II) ในช่วงความเข้มข้น 0.1-5.0 มิลลิกรัมต่อลิตรด้วยซีเควินเซียลอินเจ็กชัน-สแควร์เวฟแอนโนติกสทริปปิงโวลแทมเมตรีโดยใช้ขั้วไฟฟ้าคาร์บอนพิมพ์สกรีน ที่ภาวะเหมาะสม

จากรูปที่ 4.17 เมื่อพล็อตกราฟระหว่างความสูงของพีคนิกเกิล(II) และความเข้มข้นของสารละลายพบว่า มีความสัมพันธ์เป็นเส้นตรงในช่วงความเข้มข้น 0.1-5.0 มิลลิกรัมต่อลิตร กราฟเทียบมาตรฐานที่ได้มีสมการเป็น $y = 4.5604x - 1.3248$ โดยมีค่า R^2 เท่ากับ 0.9466 และความชันของกราฟเส้นตรงมีค่าเท่ากับ $4.5604 \mu\text{A L/mg}$

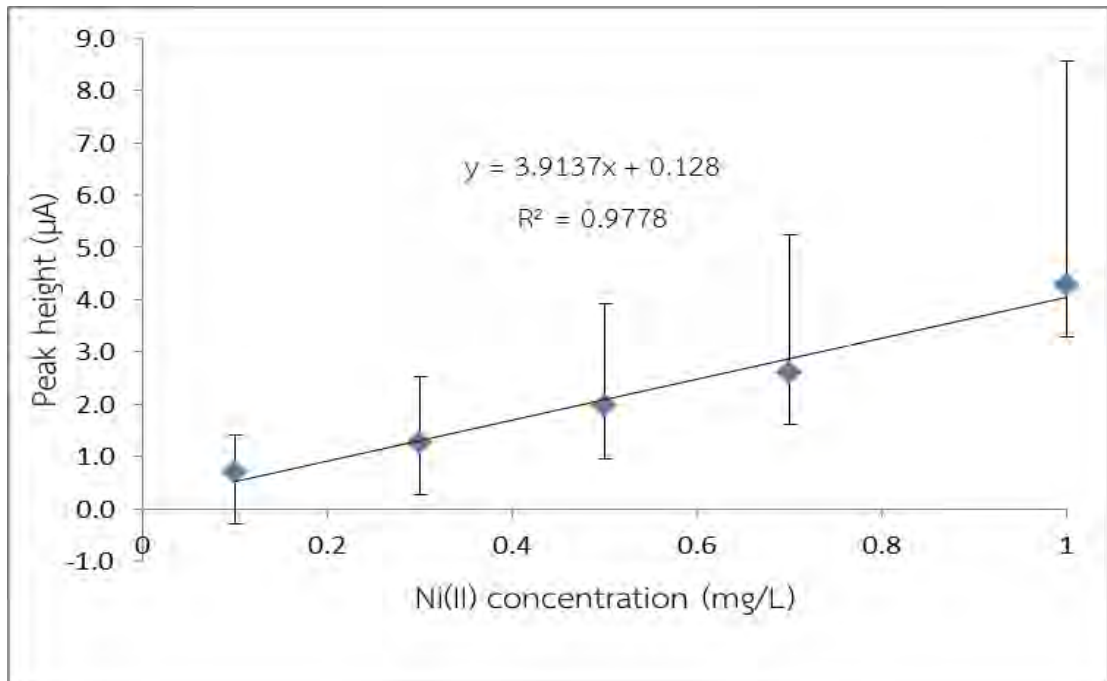


รูปที่ 4.18 แนวโน้มความเป็นเส้นตรงสำหรับการวิเคราะห์ปริมาณนิกเกิล(II) ในช่วงความเข้มข้น 0.1-1.0 มิลลิกรัมต่อลิตร ด้วยซีเควินเซียมอินเจกชัน-สแควร์เวฟแอนโอดิกสทริปปิงโวลแทมเมตรีโดยใช้ขั้วไฟฟ้าคาร์บอนพิมพ์สกรีน ที่ภาวะเหมาะสม

จากรูปที่ 4.18 พบว่า แนวโน้มความเป็นเส้นตรงของการวิเคราะห์หาปริมาณนิกเกิล(II) อยู่ในช่วงความเข้มข้นที่ 0.1 ถึง 1.0 มิลลิกรัมต่อลิตร ดังนั้นจึงทำการสร้างกราฟมาตรฐานในช่วงความเข้มข้น 0.1, 0.3, 0.5, 0.7 และ 1.0 มิลลิกรัมต่อลิตร ด้วยซีเควินเซียมอินเจกชัน-สแควร์เวฟแอนโอดิกสทริปปิงโวลแทมเมตรีโดยใช้ขั้วไฟฟ้าคาร์บอนพิมพ์สกรีน ที่ภาวะเหมาะสมคือ ใช้สารละลายโซเดียมคลอไรด์ เข้มข้น 0.1 โมลาร์ เป็นสารละลายอิเล็กโทรไลต์ และใช้ศักย์ไฟฟ้าตกสะสม (deposition potential) -1.4 โวลต์ ได้ความสูงของพีคนิกเกิล(II) ดังตารางที่ 4.4

ตารางที่ 4.4 ความสูงของพีคนิกเกิล(II) จากโวลแทมโมแกรมที่ได้จากการตรวจวัดสารละลายมาตรฐานนิกเกิล(II) ที่ความเข้มข้น 0.1–1.0 มิลลิกรัมต่อลิตร ด้วยซีเควินเซียมอินเจกชัน-สแควร์เวฟแอนโอดิกสทริปปิงโวลแทมเมตรีโดยใช้ขั้วไฟฟ้าใช้งานคาร์บอนพิมพ์สกรีน ที่ภาวะเหมาะสม

ความเข้มข้นของสารละลายมาตรฐาน นิกเกิล(II) (มิลลิกรัมต่อลิตร)	ความสูงของพีคนิกเกิล(II) (μA)					%RSD
	ครั้งที่ 1	ครั้งที่ 2	ครั้งที่ 3	ค่าเฉลี่ย	ค่าเบี่ยงเบน มาตรฐาน	
0.10	0.990	0.652	0.462	0.701	0.268	38.16
0.30	1.273	1.294	1.240	1.269	0.027	2.13
0.50	1.456	2.845	1.568	1.956	0.771	39.43
0.70	2.036	2.669	3.137	2.614	0.552	21.13
1.0	4.488	4.338	4.000	4.275	0.250	5.84



รูปที่ 4.19 กราฟเทียบมาตรฐานสำหรับการวิเคราะห์ปริมาณนิกเกิล(II) ในช่วงความเข้มข้น 0.1-1.0 มิลลิกรัมต่อลิตรด้วย ซีเควินเซียลอินเจ็กชัน-สแควร์เวฟแอนโอดิกสทริปปิงโวลแทมเมตรีโดยใช้ขั้วไฟฟ้าคาร์บอนพิมพ์สกรีน ที่ภาวะเหมาะสม

จากรูปที่ 4.19 เมื่อพล็อตกราฟระหว่างความสูงของพีคนิกเกิล(II) และความเข้มข้นของสารละลายพบว่า มีความสัมพันธ์เป็นเส้นตรงในช่วงความเข้มข้น 0.1-1.0 มิลลิกรัมต่อลิตร กราฟเทียบมาตรฐานที่ได้มีสมการเป็น $y = 3.9137x + 0.128$ โดยมีค่า R^2 เท่ากับ 0.9778 และความชันของกราฟเส้นตรงมีค่าเท่ากับ $3.9137 \mu\text{A L/mg}$

บทที่ 5

สรุปผลการทดลอง

งานวิจัยนี้ได้พัฒนาวิธีตรวจวัดปริมาณนิกเกิล(II) ด้วยเทคนิคโวลแทมเมตรี ได้แก่ โสคลิกโวลแทมเมตรีและสแควร์เวฟแอนอดิกสทริปปิงโวลแทมเมตรี ร่วมกับเทคนิคซีเควินเซียลอินเจกชัน ซึ่งเป็นระบบการไหลอัตโนมัติ และใช้ขั้วไฟฟ้าคาร์บอนพิมพ์สกรีนเป็นขั้วไฟฟ้าใช้งาน โดยในขั้นแรกได้ศึกษาการวิเคราะห์ปริมาณของนิกเกิล(II) โดยใช้โซเดียมไฮดรอกไซด์ทำปฏิกิริยากับนิกเกิล(II) เกิดเป็นนิกเกิลไฮดรอกไซด์ (Ni(OH)_2) จากนั้นให้ศักย์ไฟฟ้าเพื่อทำให้นิกเกิลไฮดรอกไซด์เกิดปฏิกิริยาออกซิเดชันกลายเป็นนิกเกิลออกไซด์ไฮดรอกไซด์ (NiOOH) ซึ่งสามารถตรวจวัดสัญญาณกระแสไฟฟ้าได้ จากการทดลองพบว่า วิธีนี้ไม่เหมาะสมสำหรับการวิเคราะห์หาปริมาณนิกเกิล(II) เนื่องจากสารเชิงซ้อนของนิกเกิลไฮดรอกไซด์ที่เกิดขึ้นมีลักษณะเป็นวุ้นติดอยู่บนขั้วไฟฟ้าใช้งาน และเมื่อศึกษาการล้างขั้วไฟฟ้าใช้งานด้วยวิธีต่าง ๆ คือ ปริมาตรของสารละลายกรดไฮโดรคลอริกที่ใช้ ค่าศักย์ไฟฟ้าที่ใช้ในขั้นตอนการล้าง ใช้กรดไฮโดรคลอริกสลับกับเบสโซเดียมไฮดรอกไซด์ และตัดแปรขั้วไฟฟ้าคาร์บอนพิมพ์สกรีนด้วยฟิล์มบิสมัทเพื่อให้ล้างออกง่ายขึ้น พบว่าขั้วไฟฟ้าใช้งานไม่สามารถล้างออกได้โดยการล้างเพียงครั้งเดียว ผลทำให้ความสามารถในการวัดซ้ำได้ต่ำ ดังนั้นจึงได้ศึกษาการวิเคราะห์ปริมาณของนิกเกิล(II) โดยใช้เทคนิคสแควร์เวฟแอนอดิกสทริปปิงโวลแทมเมตรี ร่วมกับเทคนิคซีเควินเซียลอินเจกชัน และใช้ขั้วไฟฟ้าคาร์บอนพิมพ์สกรีนเป็นขั้วไฟฟ้าใช้งาน โดยลดขั้นตอนการเกิดนิกเกิลไฮดรอกไซด์ พบว่ามีความสามารถในการทำซ้ำได้ดีกว่าเมื่อเทียบกับการศึกษาในครั้งแรก และผู้วิจัยได้ทดลองหาภาวะที่เหมาะสมดังตารางที่ 5.1

ตารางที่ 5.1 ภาวะที่เหมาะสมในการวิเคราะห์นิกเกิล(II) ด้วยซีเควินเซียลอินเจกชัน-สแควร์เวฟแอนอดิกสทริปปิงโวลแทมเมตรี โดยใช้ขั้วไฟฟ้าคาร์บอนพิมพ์สกรีน

ภาวะที่ศึกษา	ภาวะที่เหมาะสม
ชนิดของสารละลายอิเล็กโทรไลต์ที่เหมาะสม	สารละลายโซเดียมคลอไรด์ (NaCl)
ความเข้มข้นของสารละลายอิเล็กโทรไลต์ที่เหมาะสม	0.1 โมลาร์
ศักย์ไฟฟ้าการตกสะสม (deposition potential)	-1.4 โวลต์

ภายใต้ภาวะที่เหมาะสมจากการทดลองนี้พบว่า วิธีวิเคราะห์นิกเกิล(II) ด้วยซีเควินเซียลอินเจกชัน-สแควร์เวฟแอนอดิกสทริปปิงโวลแทมเมตรีที่พัฒนาขึ้น มีความสัมพันธ์ระหว่างสัญญาณกับความเข้มข้นของนิกเกิล(II) เป็น

เส้นตรงในช่วง 0.1–1.0 มิลลิกรัมต่อลิตร โดยความสัมพันธ์ของความสูงของสัญญาณกับความเข้มข้น มีความชันเป็น $3.9137 \mu\text{A L/mg}$ โดยมี R^2 เท่ากับ 0.9778



ภาควิชาเคมี
คณะวิทยาศาสตร์
จุฬาลงกรณ์มหาวิทยาลัย

เอกสารอ้างอิง

- [1] Na Li, Li.; Bing Li, Nian.; Qun Luo, Hong. A new chemiluminescence method for the determination of nickel ion. *Spectrochimica Acta Part A* 2006, 64, 391–396.
- [2] Jiao Yi, Wen.; Li, Yang.; Ran, Gu.; Qun Luo, Hong.; Bing Li, Nian. Determination of cadmium(II) by square wave anodic stripping voltammetry using bismuth–antimony film electrode. *Sensors and Actuators B* 2012, 166–167, 544– 548.
- [3] Crew, A.; Cowell, D.C.; Hart, J.P. Development of an anodic stripping voltammetric assay, using a disposable mercury-free screen-printed carbon electrode, for the determination of zinc in human sweat. *Talanta* 2008, 75, 1221–1226.
- [4] Injang, Uthaitip.; Noyrod, Peeyanun; Siangproh, Weena.; Dungchai, Wijitar.; Motomizu, Shoji.; Chailapakul, Orawon. Determination of trace heavy metals in herbs by sequential injection analysis-anodic stripping voltammetry using screen-printed carbon nanotubes electrodes. *Analytica Chimica Acta* 2010, 668, 54–60.
- [5] Bobrowski, Andrzej.; Królicka, Agnieszka.; Maczuga, Mariola.; Zarębski, Jerzy. A novel screen-printed electrode modified with lead film for adsorptive stripping voltammetric determination of cobalt and nickel, *Sensors and Actuators B* 2014, 191, 291– 297.
- [6] Neodo, S.; Nie, M.; Wharton, J.A.; Stokes, K.R. Nickel-ion detection on a boron-doped diamond electrode in acidic media., *Electrochimica Acta* 2013, 88, 718– 724.

ประวัติผู้วิจัย

นางสาวปริญญา สุวัฒน์วิทยากร เกิดเมื่อวันที่ 8 เมษายน พ.ศ. 2536 ที่จังหวัดกรุงเทพมหานคร สำเร็จการศึกษาชั้นมัธยมศึกษาตอนปลาย สายสามัญ แผนการเรียนวิทยาศาสตร์-คณิตศาสตร์ จากโรงเรียนหอวัง กรุงเทพมหานคร เมื่อปีการศึกษา 2553 เข้าศึกษาในระดับในหลักสูตรวิทยาศาสตรบัณฑิต ภาควิชาเคมี คณะวิทยาศาสตร์ จุฬาลงกรณ์มหาวิทยาลัย เมื่อปีการศึกษา 2554 ที่อยู่ที่สามารถติดต่อได้หลังจบการศึกษาปริญญาตรี 119/128 ซอยสายไหม 8 ถนนสายไหม แขวงสายไหม เขตสายไหม กรุงเทพมหานคร 10220

นางสาวทิฆัมพร พรหมศิริ เกิดเมื่อวันที่ 27 กรกฎาคม พ.ศ. 2535 ที่จังหวัดมุกดาหาร สำเร็จการศึกษาชั้นมัธยมศึกษาตอนปลาย สายสามัญ แผนการเรียนวิทยาศาสตร์-คณิตศาสตร์ จากโรงเรียนจุฬารัตนราชวิทยาลัย มุกดาหาร เมื่อปีการศึกษา 2553 เข้าศึกษาในระดับในหลักสูตรวิทยาศาสตรบัณฑิต ภาควิชาเคมี คณะวิทยาศาสตร์ จุฬาลงกรณ์มหาวิทยาลัย เมื่อปีการศึกษา 2554 ที่อยู่ที่สามารถติดต่อได้หลังจบการศึกษาปริญญาตรี 58/3 ตำบลโพธิ์ไทร อำเภอดอนตาล จังหวัดมุกดาหาร 49120



ภาควิชาเคมี
คณะวิทยาศาสตร์
จุฬาลงกรณ์มหาวิทยาลัย